

Review of the  
(Physics from the)  
Stopped RISING Campaign:  
(2001 → 2006 → 2011)

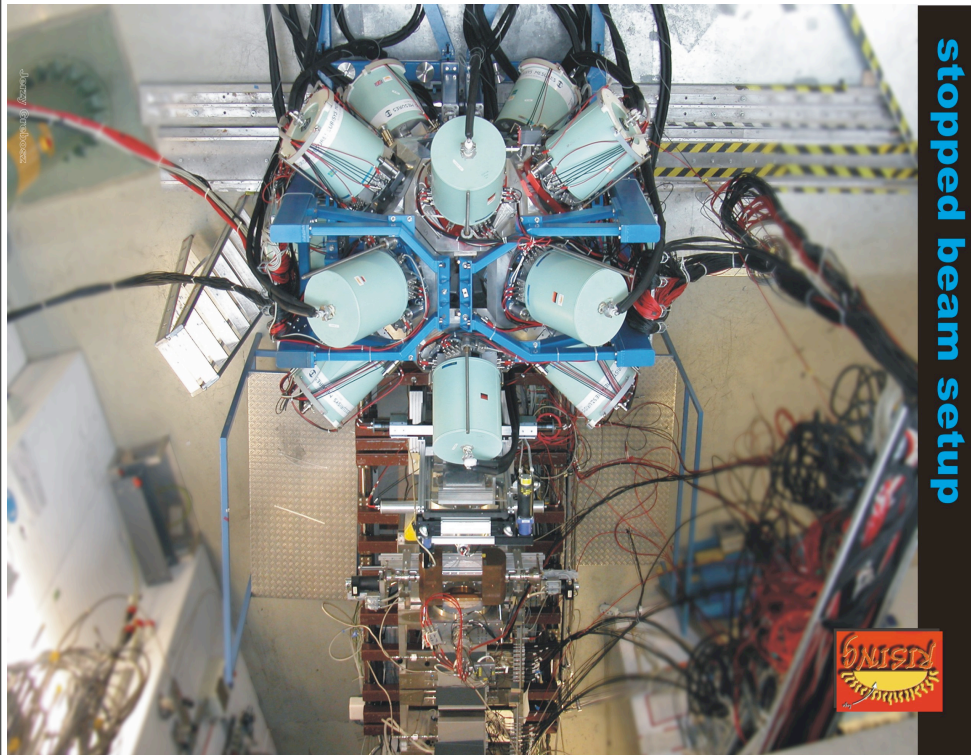
Paddy Regan  
University of Surrey  
Guildford  
GU2 7XH

# RISING

**R**are **I**sotopic **S**pectroscopic  
**I**Nvestigations @ **G**SI =  
15 x Cluster germaniums for  
(the most) exotic gamma-ray  
spectroscopy

## The RISING Project

Letter of Intent



G. de Angelis, J. Gerl, H. Grawe, P. Regan, P.Reiter and  
H.-J. Wollersheim

On behalf of the RISING Steering Committee representing the  
RISING collaboration

June 2001



**Stopped RISING Physics workshop; University of Surrey, Mar. 2004.**

## Stopped RISING Spokespersons:

### Passive Stopper

$^{58}\text{Ni}$ ,  $A=54$  mirrors: D. Rudolph

$^{107}\text{Ag}$ ,  $N=Z$ : P.H. Regan

$^{208}\text{Pb}$ ,  $N=126$ : Zs. Podolyak

$^{136}\text{Xe}$ ,  $N=82$   $^{130}\text{Cd}$ : A. Jungclaus

$^{238}\text{U}$ ,  $A\sim 110$  fission A. Bruce,

Neutron-rich Pb: Javier Valiente (Legnaro)

### Active Stopper

$^{208}\text{Pb}$ ,  $\sim^{190}\text{W}$ ,  $N=126$ , : P. Regan, J. Benlliure

$^{54}\text{Fe}$ ,  $T_z=-1$ : B. Rubio, Y. Fujita, W. Gelletly

$^{62}\text{Ga}$ : A. Gadea, A. Algora

$^{238}\text{U}$ : Z. Podolyak

### Set-up:

Stephane Pietri (Surrey/GSI),

Henning Schaffner (GSI),

I. Kojouharov (GSI), H.J. Wollersheim (GSI)

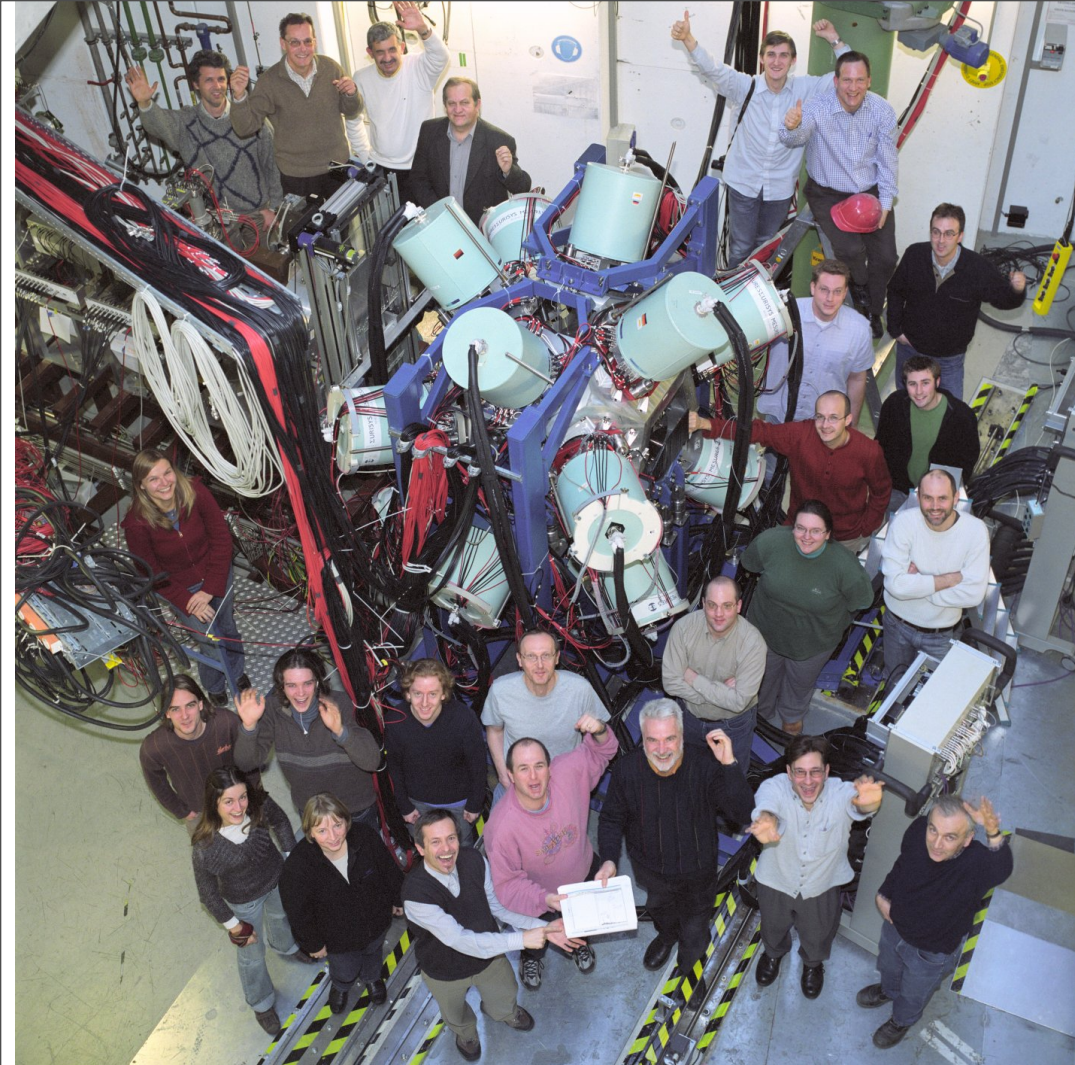
## Stopped RISING Data - Analysers:

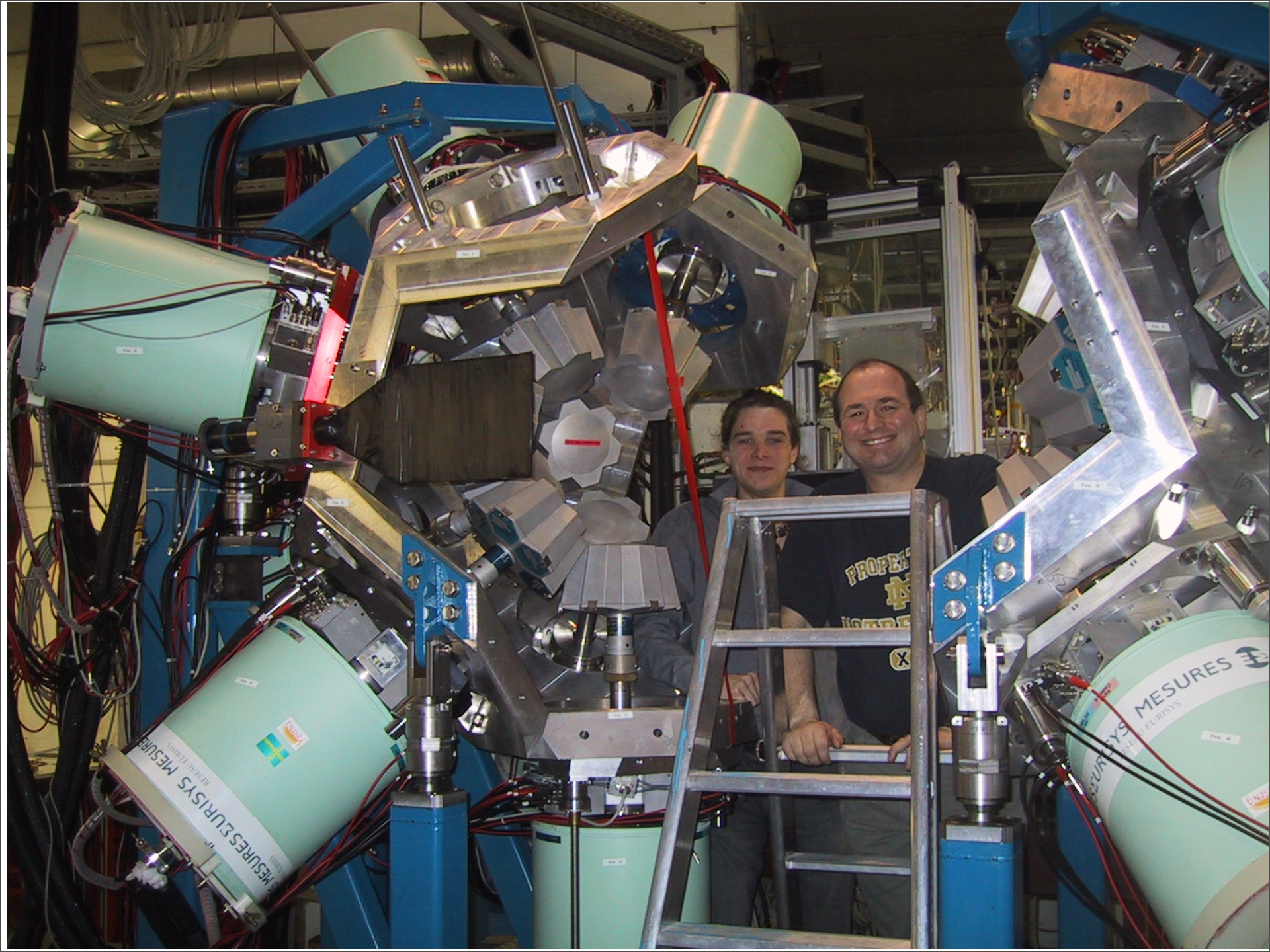
$^{107}\text{Ag}$ ,  $N=Z$ : Adam Garnsworthy

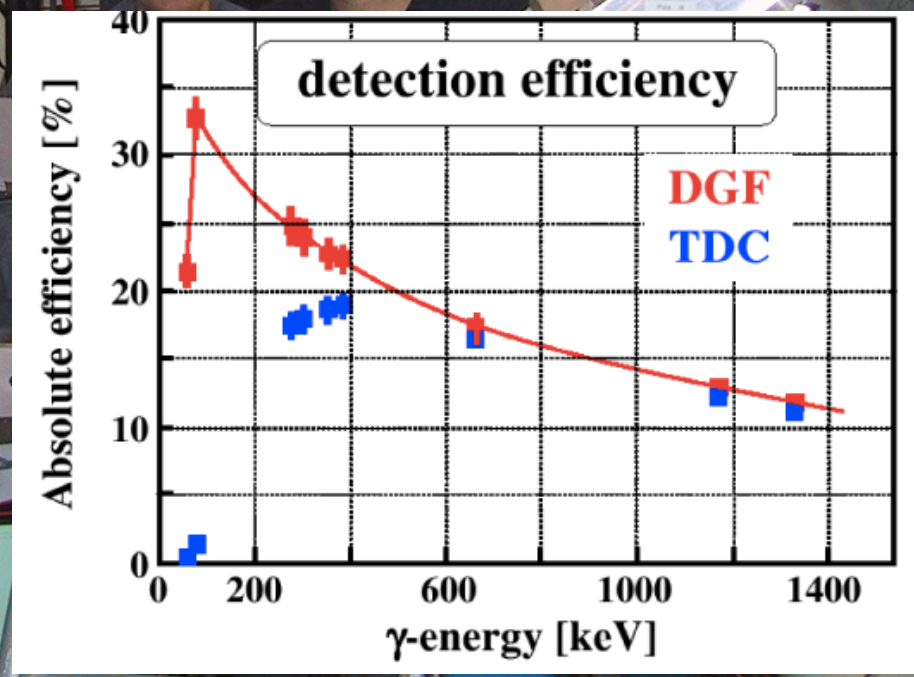
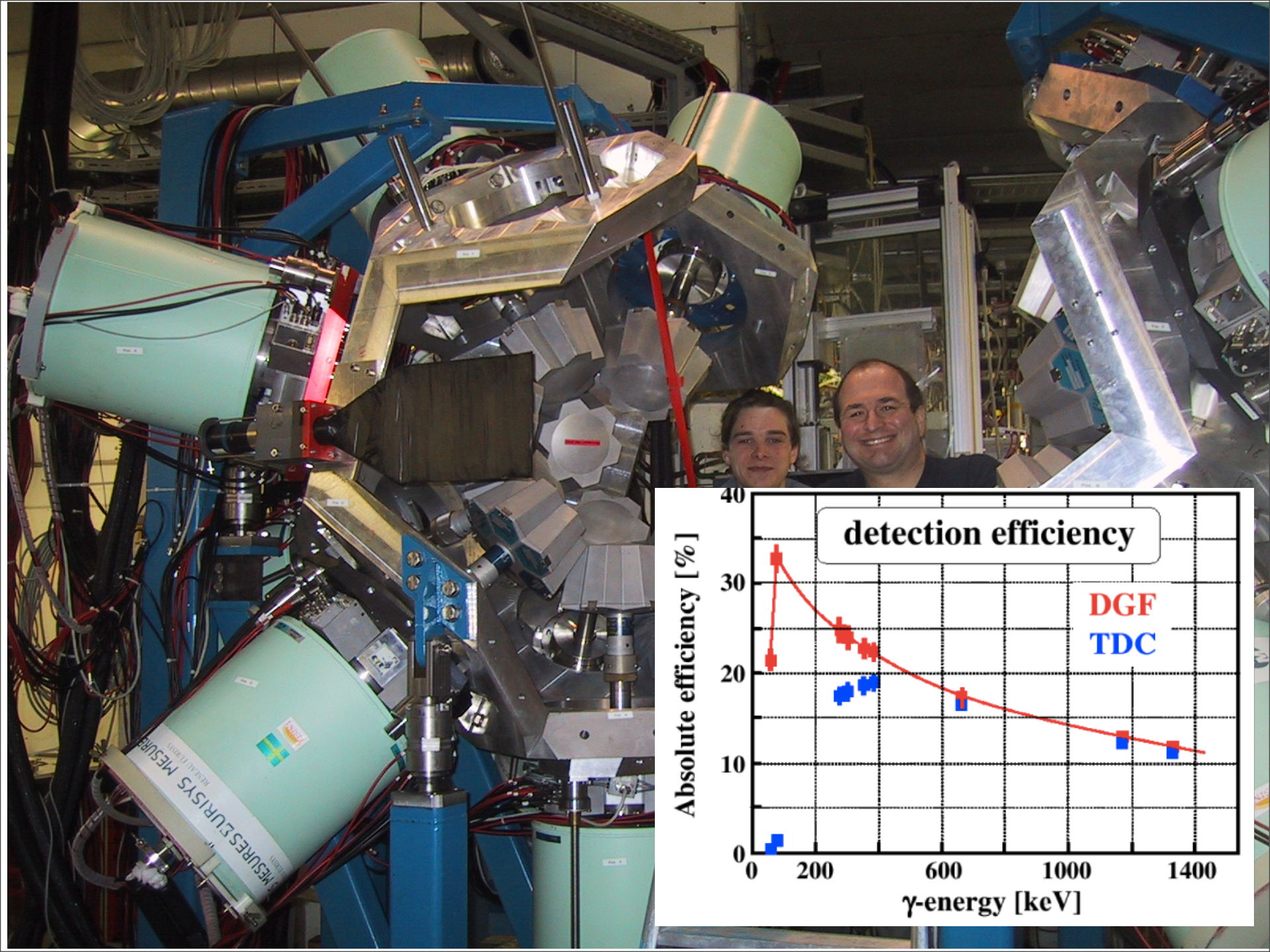
$^{136}\text{Xe}$ ,  $N=82$   $^{130}\text{Cd}$ : Lucia Caceres GSI) ; Farheen Naqvi (GSI/Koln)

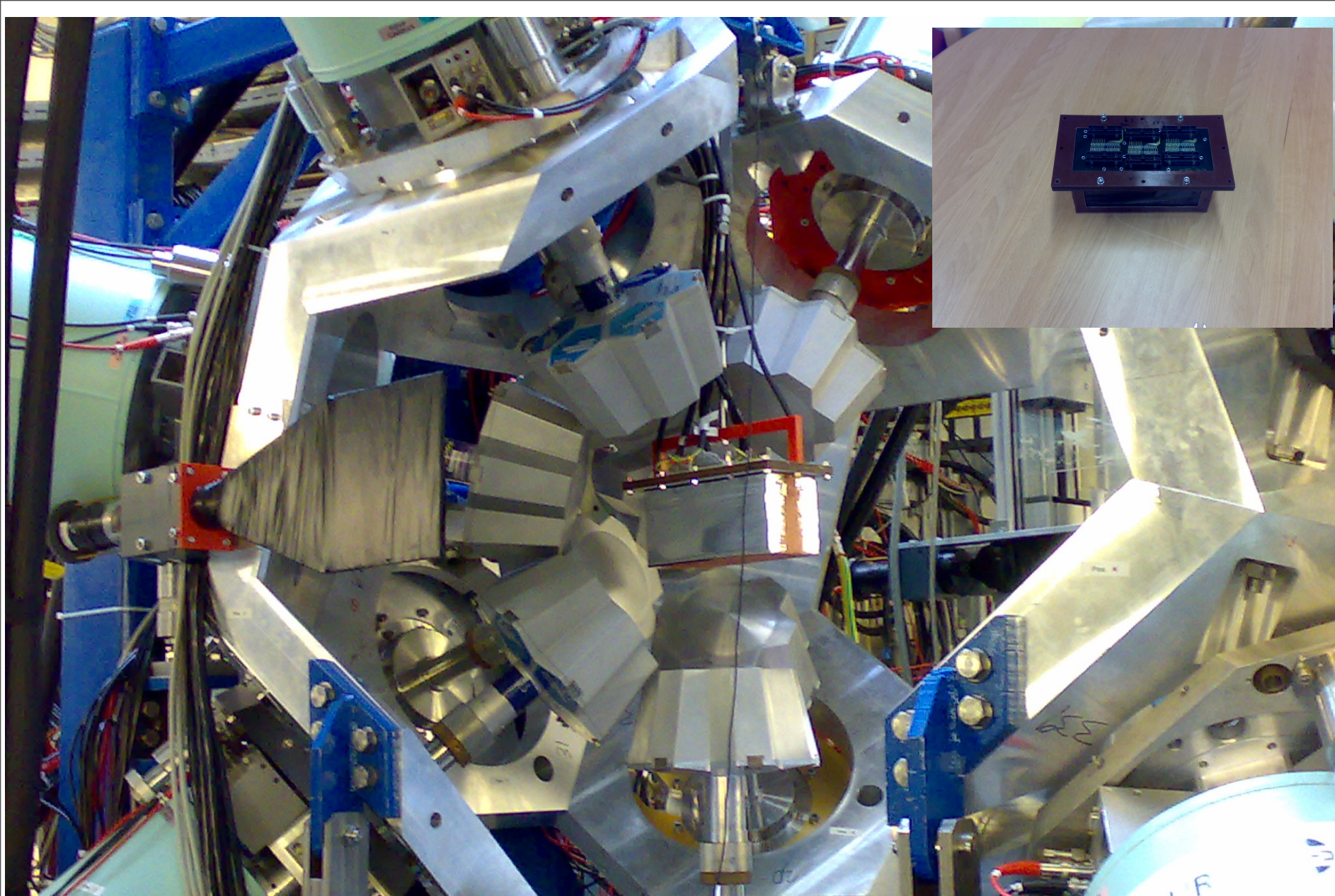
$^{208}\text{Pb}$ ,  $N=126$ ,  $^{190}\text{W}$ : Steve Steer, Greg Farrelly

$N\sim 128$  Michael Bowry, N.Al-Dahan









Passive Stopper measurements:  $\gamma$ -rays from isomer with  $T_{1/2}$  for 10 ns  $\rightarrow$  1 ms.

Active Stopper measurements:  $\beta$ -particles, i.e. electrons,  $T_{1/2}$  ms  $\rightarrow$  mins



ionization chambers  
(MUSIC41,42)

scintillators  
(SC41, SC42)

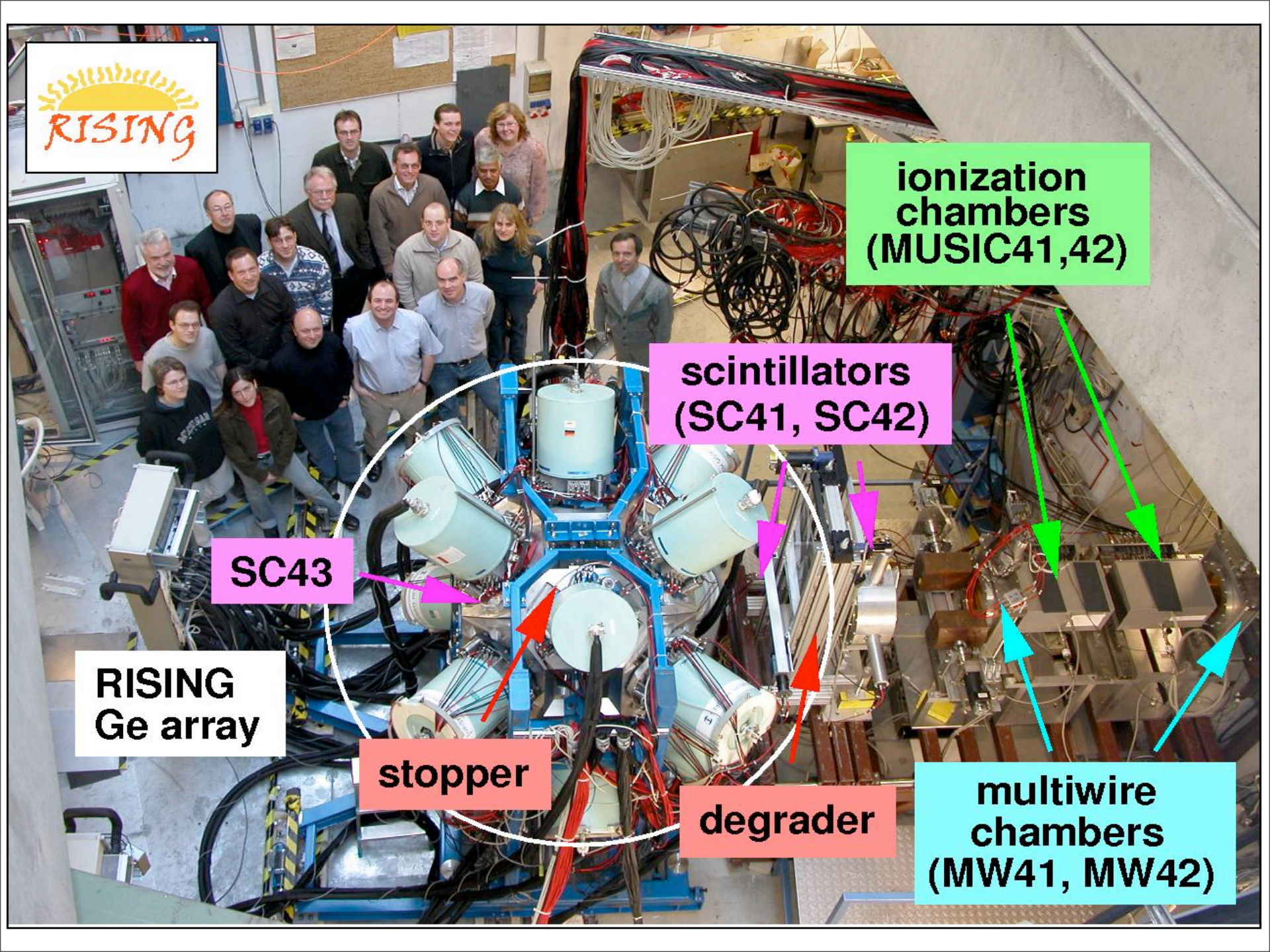
SC43

RISING  
Ge array

stopper

degrader

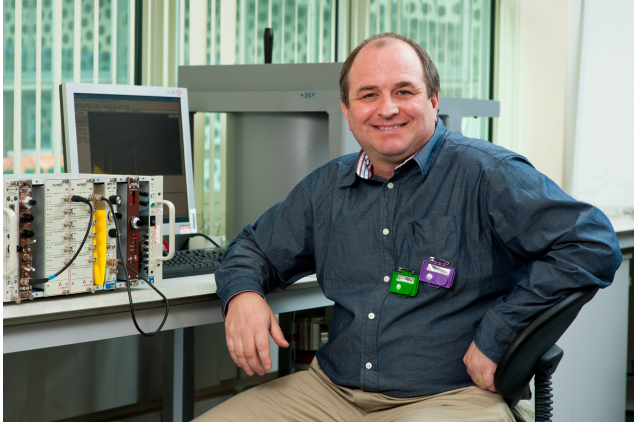
multiwire  
chambers  
(MW41, MW42)





What do isomeric decays tell you  
about nuclear structure ?

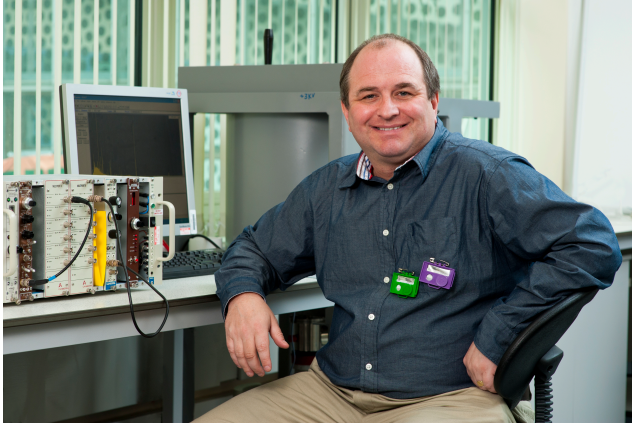
# Decay spectroscopy. How quickly something decays....



2011



# Decay spectroscopy. How quickly something decays....



2011



1988



1985


How?

# How?

$$T_{fi}(\lambda L) = \frac{8\pi(L+1)}{\hbar L ((2L+1)!!)^2} \left( \frac{E_\gamma}{\hbar c} \right)^{2L+1} B(\lambda L : J_i \rightarrow J_f)$$

# How?

$$T_{fi}(\lambda L) = \frac{8\pi(L+1)}{\hbar L ((2L+1)!!)^2} \left(\frac{E_\gamma}{\hbar c}\right)^{2L+1} B(\lambda L : J_i \rightarrow J_f)$$



Transition probability  
(i.e., 1/mean lifetime as  
measured for state which  
decays by EM radiation)

# How?

$$T_{fi}(\lambda L) = \frac{8\pi(L+1)}{\hbar L ((2L+1)!!)^2} \left(\frac{E_\gamma}{\hbar c}\right)^{2L+1} B(\lambda L : J_i \rightarrow J_f)$$

Transition probability  
(i.e., 1/mean lifetime as  
measured for state which  
decays by EM radiation)

(trivial) gamma-ray  
energy dependence of  
transition rate, goes as.  
 $E_\gamma^{2L+1}$  e.g.,  $E_\gamma^5$  for  $E2s$   
for example.

# How?

The all important nuclear structure Information.  
The 'reduced matrix element' tells us what the overlap between the initial and final nuclear quantum states is.

$$T_{fi}(\lambda L) = \frac{8\pi(L+1)}{\hbar L ((2L+1)!!)^2} \left(\frac{E_\gamma}{\hbar c}\right)^{2L+1} B(\lambda L : J_i \rightarrow J_f)$$

Transition probability  
(i.e., 1/mean lifetime as measured for state which decays by EM radiation)

(trivial) gamma-ray energy dependence of transition rate, goes as.  $E_\gamma^{2L+1}$  e.g.,  $E_\gamma^5$  for  $E2s$  for example.



# (Some) Stopped RISING Physics Highlights

- N~Z (proton-rich) nuclei & mirror symmetry
  - Shell Structure and mirror symmetries at  $N \sim Z \sim 28$ :
    - $^{54}\text{Ni}_{26}$  core excitation and proton radioactivity
  - T=1 and T=0 pn-pairing studies at the proton drip-line:
    - $^{82}\text{Nb}$  &  $^{86}\text{Tc}$  isomers feeding T=1 ground state structures.
    - GT decay studies between T=1 triplets ( $Z=N-2 \rightarrow Z=N$ )
      - $^{46}\text{Cr} \rightarrow ^{46}\text{V}$ ;  $^{50}\text{Cr} \rightarrow ^{50}\text{Mn}$ ;  $^{54}\text{Ni} \rightarrow ^{54}\text{Co}$ ;  $^{62}\text{Ge} \rightarrow ^{62}\text{Ga}$
  - Shell model structure around  $N=Z=50$   $^{100}\text{Sn}$ 
    - Seniority isomers & core excitations:  $^{94}\text{Pd}_{48}$ ,  $^{96}\text{Ag}_{49}$  and  $^{98}\text{Cd}_{50}$ ,
    - Beta-decay of  $^{100}\text{Sn}$
    - Seniority isomer decay in  $^{102}\text{Sn}$

# Stopped RISING Physics Highlights

- Heavy, neutron-rich nuclei

- Z=50, N=82 ( $^{132}\text{Sn}$ ): Shell model studies:

- $^{130}\text{Cd}_{82}$  seniority isomer structure
- $^{131}\text{In}_{82}$  core-excitation isomers (to establish the N=82 gap size)
- Isomeric and other shell model structures in  $^{125-128}\text{Cd}$

- Structural evolution and decay half-lives

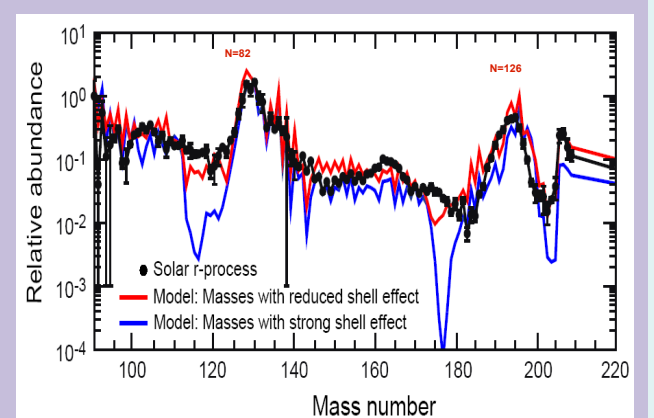
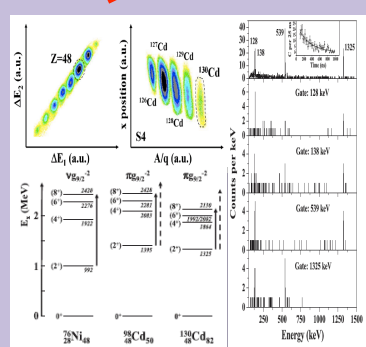
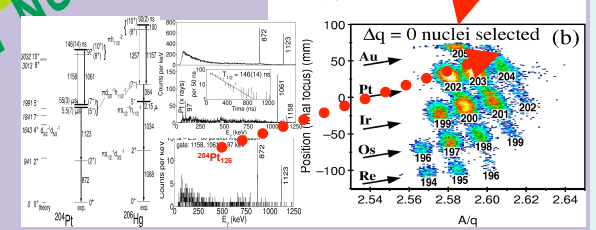
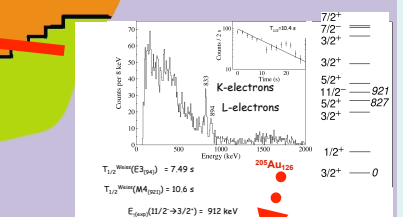
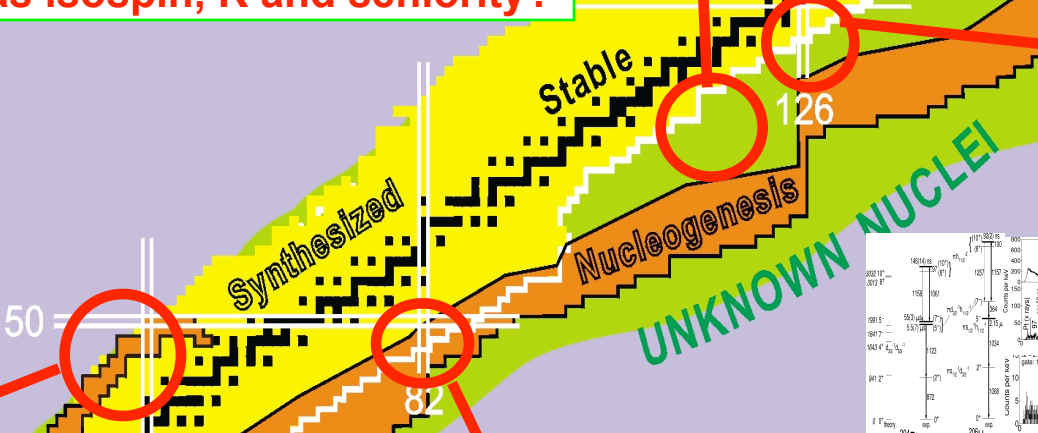
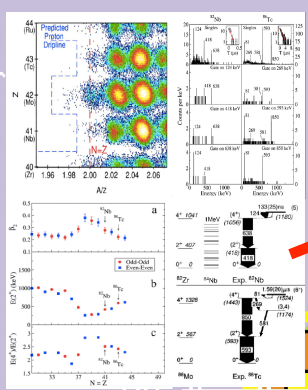
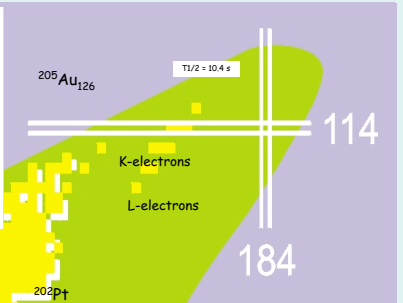
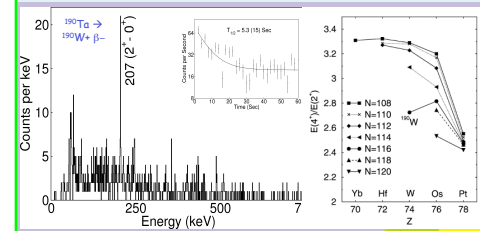
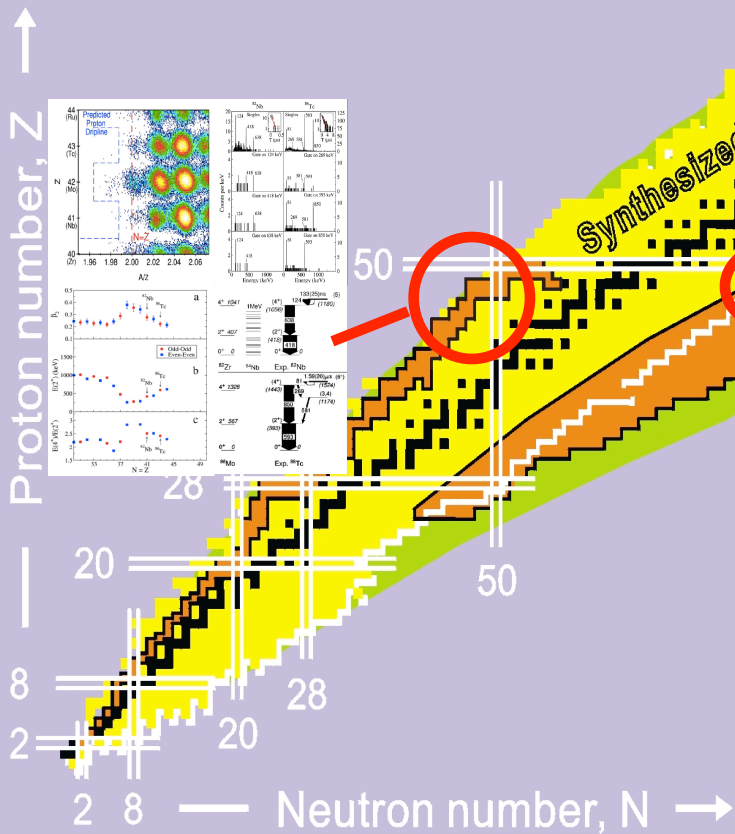
- Beta-decay and half-lives of fission fragments around  $^{106}\text{Zr}$
- Beta-decay and half-lives from triaxial  $^{190}\text{W}$  up to N~126

- Z=82, N=126 ( $^{208}\text{Pb}$ ): Shell model studies

- N=126, proton-hole isomers  $^{203}\text{In}$ ,  $^{204}\text{Pt}$ ,  $^{205}\text{Au}$
- N>128, Z<82 quadrant: first states in  $^{208}\text{Hg}_{128}$ ,  $^{209}\text{Tl}_{128}$
- $^{212,214,216}\text{Pb}$  seniority isomers

**'BIG PHYSICS' QUESTIONS ADDRESSED BY STOPPED RISING (isomer and beta-decays)**

- How robust are the magic numbers?
- What are the limits of nuclear existence?
- Does neutron excess modify structure?
- How 'good' are nuclear physics quantum numbers, such as isospin, K and seniority?



<u>Experiment</u>	<u>Spokespersons</u>	<u>Dates</u>	<u>Publication</u>
1. S244: $^{107}\text{Ag}$ beam; N=Z isomers	Regan	25 Feb –1 Mar 06	A.B. Garnsworthy et al., PL <b>B660</b> (2008) 326 A.B. Garnsworthy et al., PR <b>C80</b> (2009) 064303
2. S299; $^{208}\text{Pb}$ beam N~126 isomers	Podolyak	2 Mar – 8 Mar 06	S.J. Steer et al., PR <b>C78</b> (2008) 061302(R); Zs. Podolyak et al., PR <b>C79</b> (2009) 031305(R); Zs. Podolyak et al., PR <b>C79</b> (2009) 031305 (R) E.C. Simpson PR <b>C80</b> (2009) 064608 Zs. Podolyak et al., EPJ <b>A42</b> (2009) 489 S.J.Steer et al., IJMP <b>E18</b> (2009) 1002
3. S244: $^{58}\text{Ni}$ beam; A=54 mirrors	Rudolph	9 Mar –12 Mar 06	D. Rudolph et al., PR <b>C78</b> (2008) 021301(R) ; Rudolph et al., EPJ <b>A36</b> (2008) 131.
4. S305: $^{136}\text{Xe}$ beam. N~82 isomers	Jungclaus	26 Jun – 9 July 06	A. Jungclaus et al. PRL <b>99</b> (2007) 132501
5. S244: $^{238}\text{U}$ beam. Isomers at N~82	Pfutzner / Gorska	10 Jul – 7 Jul 06	L. Caceres et al., PR <b>C79</b> (2009) 011301 (R); M. Gorska et al., PL <b>B672</b> (2009) 313.
6. S300; $^{238}\text{U}$ beam: A~110 isomers	Bruce	11 Dec – 7 Dec 06	
7. S313: $^{208}\text{Pb}$ beam active.; N→126	Regan / Benlliure	8 Mar -18 Mar 07	Zs. Podolyak et al., PL <b>B672</b> (2009) 116; N. Alkhomashi et al., PR <b>C80</b> (2009) 064308
8. S313: $^{208}\text{Pb}$ beam active. N →126	Benlliure / Regan	8 Jul –17 July 07	P.H. Regan et al., IJMP <b>E17</b> (2008) 8; A.I. Morales et al., Acta Phys. <b>B40</b> (2009) 867
9. S326: $^{78}\text{Kr}$ beam, GT in A=62	Gadea / Algora	18 Jul – 25 Jul 07	
10. S316: $^{58}\text{Ni}$ beam; GT A=46:50:54	Fujita / Gelletly / Rubio	27 July –1 Aug 07	
11.S330: $^{124}\text{Xe}$ beam: $^{100}\text{Sn}$ + SIMBA	Faestermann / Gorska	5 Mar – 26 Mar 08	
12. S347: $^{238}\text{U}$ beam; Z<82; N>126	Podolyak	27 Apr – 3 May 08	N.Al-Dahan et al., PR <b>C80</b> (2009) 061302 (R)
13. S352: $^{124}\text{Xe}$ beam; $^{96,8}\text{Pd}$	Blazhev / Wadsworth / Liu / Boutachkov	5 Jun – 13 Jun 08	R Wadsworth et al., Acta Phys <b>B40</b> (2009) 611 A. Blazhev et al., IJPhy. Conf. <b>205</b> (2010) 0
14. S361: $^{238}\text{U}$ beam, $^{104,6}\text{Zr}$	Bruce	17 Sep -20 Sep 09	

16 successful experiments)

# How it actually turned out....lots of nice (initial) conference

International Journal of Modern Physics E  
Vol. 17, Supplement (2008) 8–20  
© World Scientific Publishing Company



## FIRST RESULTS WITH THE RISING ACTIVE STOPPER\*



ELSEVIER

Available online at [www.sciencedirect.com](http://www.sciencedirect.com)



Nuclear Physics A 787 (2007) 491c–498c



## Isomer Spectroscopy Using Relativistic Projectile Fragmentation at the $N=Z$ Line for $A \sim 80 \rightarrow 90$ .\*

P.H. Regan<sup>a</sup>, A.B. Garnsworthy<sup>ab</sup>, S. Pietri<sup>a</sup>, L. Caceres<sup>c,d</sup>, M. Górska<sup>c</sup>, D. Rudolph<sup>e</sup>, Zs. Podolyák<sup>a</sup>, S.J. Steer<sup>a</sup>, R. Hoischen<sup>e</sup>, J. Gerl<sup>c</sup>, H.J. Wollersheim<sup>c</sup>, J. Grebosz<sup>cf</sup>, H. Schaffner<sup>c</sup>, W. Prokopowicz<sup>c</sup>, I. Kojouharov<sup>c</sup>, F. Becker<sup>c</sup>, P. Bednarczyk<sup>c</sup>, P. Doornenbal<sup>c</sup>, H. Geissel<sup>c</sup>, H. Grawe<sup>c</sup>, A. Kelic<sup>c</sup>, N. Kurz<sup>c</sup>, F. Montes<sup>c</sup>, T. Saito<sup>c</sup>, S. Tashenov<sup>c</sup>, E. Werner-Malento<sup>cg</sup>, A. Heinz<sup>b</sup>, L. Atanasova<sup>h</sup>, D. Balabanski<sup>h</sup>, G. Benzoni<sup>i</sup>, B. Blank<sup>j</sup>, A. Blazhev<sup>k</sup>, C. Brandau<sup>ac</sup>, A.M. Bruce<sup>l</sup>, W.N. Catford<sup>a</sup>, F. Camera<sup>i</sup>, I.J. Cullen<sup>a</sup>, M.E. Estevez<sup>m</sup>, C. Fahlander<sup>e</sup>, W. Gelletly<sup>a</sup>, G. Ilie<sup>kn</sup>, A. Jungclaus<sup>d</sup>, J. Jolie<sup>k</sup>, T. Kurtukian-Nieto<sup>m</sup>, Z. Liu<sup>a</sup>, M. Kmiecik<sup>f</sup>, A. Maj<sup>f</sup>, S. Myalski<sup>f</sup>, S. Schwertel<sup>o</sup>, T. Shizuma<sup>ap</sup>, A.J. Simons<sup>aq</sup>, P.M. Walker<sup>a</sup>, O. Wieland<sup>i</sup>



ELSEVIER

Available online at [www.sciencedirect.com](http://www.sciencedirect.com)



Nuclear Instruments and Methods in Physics Research B 261 (2007) 1079–1083



[www.elsevier.com/locate/nimb](http://www.elsevier.com/locate/nimb)

## Recent results in fragmentation isomer spectroscopy with rising

S. Pietri<sup>a,\*</sup>, P.H. Regan<sup>a</sup>, Zs. Podolyák<sup>a</sup>, D. Rudolph<sup>b</sup>, S. Steer<sup>a</sup>, A.B. Garnsworthy<sup>a,c</sup>, E. Werner-Malento<sup>d,e</sup>, R. Hoischen<sup>b</sup>, M. Górska<sup>d</sup>, J. Gerl<sup>d</sup>, H.J. Wollersheim<sup>d</sup>, I. Kojouharov<sup>d</sup>, H. Schaffner<sup>d</sup>, F. Becker<sup>d</sup>, P. Bednarczyk<sup>d,f</sup>, L. Caceres<sup>d,g</sup>, P. Doornenbal<sup>d</sup>, H. Geissel<sup>d</sup>, J. Grebosz<sup>d,f</sup>, A. Kelic<sup>d</sup>, N. Kurz<sup>d</sup>, F. Montes<sup>d</sup>, W. Prokopowicz<sup>d,h</sup>, T. Saito<sup>d</sup>, S. Tashenov<sup>d</sup>, A. Heinz<sup>c</sup>, M. Pfützner<sup>e</sup>, T. Kurtukian-Nieto<sup>i</sup>, G. Benzoni<sup>j</sup>, M. Hellström<sup>b</sup>, A. Jungclaus<sup>g</sup>, J. Simpson<sup>k</sup>, L.-L. Andersson<sup>b</sup>, L. Atanasova<sup>l</sup>, D. Balabanski<sup>l,m</sup>, M.A. Bentley<sup>n</sup>, B. Blank<sup>o</sup>, A. Blazhev<sup>p</sup>, C. Brandau<sup>a,d</sup>, J.R. Brown<sup>n</sup>, A.M. Bruce<sup>q</sup>, F. Camera<sup>j</sup>, W.N. Catford<sup>a</sup>, I.J. Cullen<sup>a</sup>, Zs. Dombrádi<sup>r</sup>, E. Estevez<sup>i</sup>, C. Fahlander<sup>b</sup>, W. Gelletly<sup>a</sup>, G. Ilie<sup>p</sup>, E.K. Johansson<sup>b</sup>, J. Jolie<sup>p</sup>, G.A. Jones<sup>a</sup>, M. Kmiecik<sup>f</sup>, F.G. Kondev<sup>s</sup>, S. Lalkovski<sup>l</sup>, Z. Liu<sup>a</sup>, A. Maj<sup>f</sup>, S. Myalski<sup>f</sup>, T. Shizuma<sup>at</sup>, A.J. Simons<sup>a</sup>, S. Schwertel<sup>u</sup>, P.M. Walker<sup>a</sup>, O. Wieland<sup>j</sup>

Nuclear Instruments and Methods in Physics Research A 598 (2009) 754–758



ELSEVIER

Contents lists available at ScienceDirect

Nuclear Instruments and Methods in  
Physics Research A

journal homepage: [www.elsevier.com/locate/nima](http://www.elsevier.com/locate/nima)



## Testing of a DSSSD detector for the stopped RISING project

R. Kumar<sup>a,b,\*</sup>, F.G. Molina<sup>c</sup>, S. Pietri<sup>d</sup>, E. Casarejos<sup>f</sup>, A. Algorta<sup>c,g</sup>, J. Benlliure<sup>f</sup>, P. Doornenbal<sup>e,b</sup>, J. Gerl<sup>b</sup>, M. Górska<sup>b</sup>, I. Kojouharov<sup>b</sup>, Zs. Podolyák<sup>d</sup>, W. Prokopowicz<sup>b</sup>, P.H. Regan<sup>d</sup>, B. Rubio<sup>c</sup>, H. Schaffner<sup>b</sup>, S. Tashenov<sup>b</sup>, H.-J. Wollersheim<sup>b</sup>

Some more  
'high profile'  
publications....

RAPID COMMUNICATIONS

PHYSICAL REVIEW C 78, 021301(R) (2008)

### Isospin symmetry and proton decay: Identification of the $10^+$ isomer in $^{54}\text{Ni}$

D. Rudolph,<sup>1</sup> R. Hoischen,<sup>1,2</sup> M. Hellström,<sup>1</sup> S. Pietri,<sup>3</sup> Zs. Podolyák,<sup>3</sup> P. H. Regan,<sup>3</sup> A. B. Garnsworthy,<sup>3,4</sup> S. J. Steer,<sup>3</sup> F. Becker,<sup>2,4</sup> P. Bednarczyk,<sup>2,5</sup> L. Cáceres,<sup>2,6</sup> P. Doornenbal,<sup>2,7,†</sup> J. Gerl,<sup>2</sup> M. Górska,<sup>2</sup> J. Grębosz,<sup>2,5</sup> I. Kojouharov,<sup>2</sup> N. Kurz,<sup>2</sup> W. Prokopowicz,<sup>2,5</sup> H. Schaffner,<sup>2</sup> H. J. Wollersheim,<sup>2</sup> L.-L. Andersson,<sup>1</sup> L. Atanasova,<sup>8</sup> D. L. Balabanski,<sup>8,9</sup> M. A. Bentley,<sup>10</sup> A. Blazhev,<sup>7</sup> C. Brandau,<sup>2,3</sup> J. R. Brown,<sup>10</sup> C. Fahlander,<sup>1</sup> E. K. Johansson,<sup>1</sup> A. Jungclaus,<sup>1</sup> and S. M. Lenzi<sup>11</sup>

RAPID COMMUNICATIONS

PHYSICAL REVIEW C 79, 011301(R) (2009)

### Spherical proton-neutron structure of isomeric states in $^{128}\text{Cd}$

L. Cáceres,<sup>1,2,\*</sup> M. Górska,<sup>1</sup> A. Jungclaus,<sup>2,3</sup> M. Pfützner,<sup>4</sup> H. Grawe,<sup>1</sup> F. Nowacki,<sup>5</sup> K. Sieja,<sup>1</sup> S. Pietri,<sup>6,†</sup> D. Rudolph,<sup>7</sup> Zs. Podolyák,<sup>6</sup> P. H. Regan,<sup>6</sup> E. Werner-Malento,<sup>4,‡</sup> P. Detistov,<sup>8,§</sup> S. Lalkovski,<sup>8,9</sup> V. Modamio,<sup>2</sup> J. Walker,<sup>2</sup> K. Andgren,<sup>10</sup> P. Bednarczyk,<sup>1,11</sup> J. Benlliure,<sup>12</sup> G. Benzoni,<sup>13</sup> A. M. Bruce,<sup>9</sup> E. Casarejos,<sup>12</sup> B. Cederwall,<sup>10</sup> F. C. L. Crespi,<sup>13</sup> P. Doornenbal,<sup>1,14,||</sup> H. Geissel,<sup>1</sup> J. Gerl,<sup>1</sup> J. Grębosz,<sup>1,11</sup> B. Hadinia,<sup>10</sup> M. Hellström,<sup>7</sup> R. Hoischen,<sup>1,7</sup> G. Ilie,<sup>14,15</sup> A. Khaplanov,<sup>10</sup> M. Kmiecik,<sup>11</sup> I. Kojouharov,<sup>1</sup> R. Kumar,<sup>16</sup> N. Kurz,<sup>1</sup> A. Maj,<sup>11</sup> S. Mandal,<sup>17</sup> F. Montes,<sup>1,§</sup> G. Martínez-Pinedo,<sup>1</sup> S. Myalski,<sup>11</sup> W. Prokopowicz,<sup>1</sup> H. Schaffner,<sup>1</sup> G. S. Simpson,<sup>18</sup> S. J. Steer,<sup>6</sup> S. Tashenov,<sup>1</sup> O. Wieland,<sup>13</sup> and H. J. Wollersheim<sup>1</sup>

PRL 99, 132501 (2007)

PHYSICAL REVIEW LETTERS

week ending  
28 SEPTEMBER 2007

### Observation of Isomeric Decays in the $r$ -Process Waiting-Point Nucleus $^{130}\text{Cd}_{82}$

A. Jungclaus,<sup>1</sup> L. Cáceres,<sup>1,2</sup> M. Górska,<sup>2</sup> M. Pfützner,<sup>3</sup> S. Pietri,<sup>4</sup> E. Werner-Malento,<sup>3</sup> H. Grawe,<sup>2</sup> K. Langanke,<sup>2</sup> G. Martínez-Pinedo,<sup>2</sup> F. Nowacki,<sup>5</sup> A. Poves,<sup>1</sup> J. J. Cuenca-García,<sup>2</sup> D. Rudolph,<sup>6</sup> Z. Podolyák,<sup>4</sup> P. H. Regan,<sup>4</sup> P. Detistov,<sup>7</sup> S. Lalkovski,<sup>8,7</sup> V. Modamio,<sup>1</sup> J. Walker,<sup>1</sup> P. Bednarczyk,<sup>2,9</sup> P. Doornenbal,<sup>2</sup> H. Geissel,<sup>2</sup> J. Gerl,<sup>2</sup> J. Grębosz,<sup>2,9</sup> I. Kojouharov,<sup>2</sup> N. Kurz,<sup>2</sup> W. Prokopowicz,<sup>2</sup> H. Schaffner,<sup>2</sup> H. J. Wollersheim,<sup>2</sup> K. Andgren,<sup>10</sup> J. Benlliure,<sup>11</sup> G. Benzoni,<sup>12</sup> A. M. Bruce,<sup>8</sup> E. Casarejos,<sup>11</sup> B. Cederwall,<sup>10</sup> F. C. L. Crespi,<sup>12</sup> B. Hadinia,<sup>10</sup> M. Hellström,<sup>6</sup> R. Hoischen,<sup>6,2</sup> G. Ilie,<sup>13,14</sup> J. Jolie,<sup>13</sup> A. Khaplanov,<sup>10</sup> M. Kmiecik,<sup>9</sup> R. Kumar,<sup>15</sup> A. Maj,<sup>9</sup> S. Mandal,<sup>16</sup> F. Montes,<sup>2</sup> S. Myalski,<sup>9</sup> G. S. Simpson,<sup>17</sup> S. J. Steer,<sup>4</sup> S. Tashenov,<sup>2</sup> and O. Wieland<sup>12</sup>

RAPID COMMUNICATIONS

PHYSICAL REVIEW C 79, 031305(R) (2009)

### Weakly deformed oblate structures in $^{198}_{76}\text{Os}_{122}$

Zs. Podolyák,<sup>1,\*</sup> S. J. Steer,<sup>1</sup> S. Pietri,<sup>1</sup> F. R. Xu,<sup>2</sup> H. L. Liu,<sup>2</sup> P. H. Regan,<sup>1</sup> D. Rudolph,<sup>3</sup> A. B. Garnsworthy,<sup>1,4</sup> R. Hoischen,<sup>3,5</sup> M. Górska,<sup>5</sup> J. Gerl,<sup>5</sup> H. J. Wollersheim,<sup>5</sup> T. Kurtukian-Nieto,<sup>6</sup> G. Benzoni,<sup>7</sup> T. Shizuma,<sup>1,8</sup> F. Becker,<sup>5</sup> P. Bednarczyk,<sup>5,9</sup> L. Cáceres,<sup>5,10</sup> P. Doornenbal,<sup>5</sup> H. Geissel,<sup>5</sup> J. Grębosz,<sup>5,9</sup> A. Kelic,<sup>5</sup> I. Kojouharov,<sup>5</sup> N. Kurz,<sup>5</sup> F. Montes,<sup>5</sup> W. Prokopowicz,<sup>5,9</sup> T. Saito,<sup>5</sup> H. Schaffner,<sup>5</sup> S. Tashenov,<sup>5</sup> A. Heinz,<sup>4</sup> M. Pfützner,<sup>11</sup> A. Jungclaus,<sup>10</sup> D. L. Balabanski,<sup>12</sup> C. Brandau,<sup>1</sup> A. M. Bruce,<sup>13</sup> W. N. Catford,<sup>1</sup> I. J. Cullen,<sup>1</sup> Zs. Dombrádi,<sup>14</sup> E. Estevez,<sup>6</sup> W. Gelletly,<sup>1</sup> G. Ilie,<sup>15</sup> J. Jolie,<sup>15</sup> G. A. Jones,<sup>1</sup> M. Kmiecik,<sup>9</sup> F. G. Kondev,<sup>16</sup> R. Krücken,<sup>17</sup> S. Lalkovski,<sup>13</sup> Z. Liu,<sup>1</sup> A. Maj,<sup>9</sup> S. Myalski,<sup>9</sup> S. Schwertel,<sup>17</sup> P. M. Walker,<sup>1</sup> E. Werner-Malento,<sup>5,18</sup> and O. Wieland<sup>7</sup>

# and some more...

Eur. Phys. J. A 36, 131–138 (2008)  
DOI 10.1140/epja/i2008-10587-4

THE EUROPEAN  
PHYSICAL JOURNAL A

Regular Article – Experimental Physics

## Evidence for an isomeric $3/2^-$ state in $^{53}\text{Co}$

D. Rudolph<sup>1,a</sup>, R. Hoischen<sup>1,2</sup>, M. Hellström<sup>1</sup>, S. Pietri<sup>3</sup>, Zs. Podolyák<sup>3</sup>, P.H. Regan<sup>3</sup>, A.B. Garnsworthy<sup>3,4</sup>, S.J. Steer<sup>3</sup>, F. Becker<sup>2,b</sup>, P. Bednarczyk<sup>2,5</sup>, L. Cáceres<sup>2,6</sup>, P. Doornenbal<sup>2,7,c</sup>, J. Gerl<sup>2</sup>, M. Górska<sup>2</sup>, J. Grębosz<sup>5,2</sup>, I. Kojouharov<sup>2</sup>, N. Kurz<sup>2</sup>, W. Prokopowicz<sup>2,5</sup>, H. Schaffner<sup>2</sup>, H.J. Wollersheim<sup>2</sup>, L.-L. Andersson<sup>1</sup>, L. Atanasova<sup>8</sup>, D.L. Balabanski<sup>8,9</sup>, M.A. Bentley<sup>10</sup>, A. Blazhev<sup>7</sup>, C. Brandau<sup>2,3</sup>, J.R. Brown<sup>10</sup>, C. Fahlander<sup>1</sup>, E.K. Johansson<sup>1</sup>, and A. Jungclaus<sup>6</sup>

Physics Letters B 672 (2009) 313–316

Contents lists available at ScienceDirect



Physics Letters B

www.elsevier.com/locate/physletb



## Evolution of the $N = 82$ shell gap below $^{132}\text{Sn}$ inferred from core excited states in $^{131}\text{In}$

M. Górska<sup>a,\*</sup>, L. Cáceres<sup>a,b</sup>, H. Grawe<sup>a</sup>, M. Pfützner<sup>c</sup>, A. Jungclaus<sup>b,d</sup>, S. Pietri<sup>e,1</sup>, E. Werner-Malento<sup>c,2</sup>, Z. Podolyák<sup>e</sup>, P.H. Regan<sup>e</sup>, D. Rudolph<sup>f</sup>, P. Detistov<sup>g</sup>, S. Lalkovski<sup>g,h</sup>, V. Modamio<sup>b</sup>, J. Walker<sup>b</sup>, T. Beck<sup>a</sup>, P. Bednarczyk<sup>a,i</sup>, P. Doornenbal<sup>a,j,3</sup>, H. Geissel<sup>a</sup>, J. Gerl<sup>a</sup>, J. Grębosz<sup>a,i</sup>, R. Hoischen<sup>f,a</sup>, I. Kojouharov<sup>a</sup>, N. Kurz<sup>a</sup>, W. Prokopowicz<sup>a,i</sup>, H. Schaffner<sup>a</sup>, H. Weick<sup>a</sup>, H.-J. Wollersheim<sup>a</sup>, K. Andgren<sup>k</sup>, J. Benlliure<sup>l</sup>, G. Benzoni<sup>m</sup>, A.M. Bruce<sup>h</sup>, E. Casarejos<sup>l</sup>, B. Cederwall<sup>k</sup>, F.C. L. Crespi<sup>m</sup>, B. Hadinia<sup>f</sup>, M. Hellström<sup>f</sup>, G. Ilie<sup>j,n</sup>, A. Khaplanov<sup>k</sup>, M. Kmiecik<sup>i</sup>, R. Kumar<sup>o</sup>, A. Maj<sup>i</sup>, S. Mandal<sup>p</sup>, F. Montes<sup>a</sup>, S. Myalski<sup>i</sup>, G.S. Simpson<sup>q</sup>, S.J. Steer<sup>e</sup>, S. Tashenov<sup>a</sup>, O. Wieland<sup>m</sup>, Zs. Dombrádi<sup>r</sup>, P. Reiter<sup>j</sup>, D. Sohler<sup>r</sup>

Physics Letters B 672 (2009) 116–119

Contents lists available at ScienceDirect



Physics Letters B

www.elsevier.com/locate/physletb



## Proton–hole excitation in the closed shell nucleus $^{205}\text{Au}$

Zs. Podolyák<sup>a,\*</sup>, G.F. Farrelly<sup>a</sup>, P.H. Regan<sup>a</sup>, A.B. Garnsworthy<sup>a</sup>, S.J. Steer<sup>a</sup>, M. Górska<sup>b</sup>, J. Benlliure<sup>c</sup>, E. Casarejos<sup>c</sup>, S. Pietri<sup>a</sup>, J. Gerl<sup>b</sup>, H.J. Wollersheim<sup>b</sup>, R. Kumar<sup>d</sup>, F. Molina<sup>e</sup>, A. Algora<sup>e,f</sup>, N. Alkhamashi<sup>a</sup>, G. Benzoni<sup>g</sup>, A. Blazhev<sup>h</sup>, P. Boutachkov<sup>b</sup>, A.M. Bruce<sup>i</sup>, L. Cáceres<sup>b,j</sup>, I.J. Cullen<sup>a</sup>, A.M. Denis Baccelar<sup>i</sup>, P. Doornenbal<sup>b</sup>, M.E. Estevez<sup>c</sup>, Y. Fujita<sup>k</sup>, W. Gelletly<sup>a</sup>, H. Geissel<sup>b</sup>, H. Grawe<sup>b</sup>, J. Grębosz<sup>b,l</sup>, R. Hoischen<sup>m,b</sup>, I. Kojouharov<sup>b</sup>, S. Lalkovski<sup>l</sup>, Z. Liu<sup>a</sup>, K.H. Maier<sup>n,1</sup>, C. Mihai<sup>o</sup>, D. Mücher<sup>h</sup>, B. Rubio<sup>e</sup>, H. Schaffner<sup>b</sup>, A. Tamii<sup>k</sup>, S. Tashenov<sup>b</sup>, J.J. Valiente-Dobón<sup>p</sup>, P.M. Walker<sup>a</sup>, P.J. Woods<sup>q</sup>

Available online at www.sciencedirect.com



ScienceDirect

Physics Letters B 660 (2008) 326–330

PHYSICS LETTERS B

www.elsevier.com/locate/physletb

## Neutron–proton pairing competition in $N = Z$ nuclei: Metastable state decays in the proton dripline nuclei $^{82}_{41}\text{Nb}$ and $^{86}_{43}\text{Tc}$

A.B. Garnsworthy<sup>a,b,\*</sup>, P.H. Regan<sup>a</sup>, L. Cáceres<sup>c,d</sup>, S. Pietri<sup>a</sup>, Y. Sun<sup>e,f</sup>, D. Rudolph<sup>g</sup>, M. Górska<sup>c</sup>, Zs. Podolyák<sup>a</sup>, S.J. Steer<sup>a</sup>, R. Hoischen<sup>c,g</sup>, A. Heinz<sup>b</sup>, F. Becker<sup>c</sup>, P. Bednarczyk<sup>c,h</sup>, P. Doornenbal<sup>c</sup>, H. Geissel<sup>c</sup>, J. Gerl<sup>c</sup>, H. Grawe<sup>c</sup>, J. Grębosz<sup>c,h</sup>, A. Kelic<sup>c</sup>, I. Kojouharov<sup>c</sup>, N. Kurz<sup>c</sup>, F. Montes<sup>c</sup>, W. Prokopowicz<sup>c</sup>, T. Saito<sup>c</sup>, H. Schaffner<sup>c</sup>, S. Tachenov<sup>c</sup>, E. Werner-Malento<sup>c,i</sup>, H.J. Wollersheim<sup>c</sup>, G. Benzoni<sup>j</sup>, B.B. Blank<sup>k</sup>, C. Brandau<sup>a,c</sup>, A.M. Bruce<sup>l</sup>, F. Camera<sup>j</sup>, W.N. Catford<sup>a</sup>, I.J. Cullen<sup>a</sup>, Zs. Dombrádi<sup>m</sup>, E. Estevez<sup>n</sup>, W. Gelletly<sup>a</sup>, G. Ilie<sup>o,p</sup>, J. Jolie<sup>o</sup>, G.A. Jones<sup>a</sup>, A. Jungclaus<sup>d</sup>, M. Kmiecik<sup>h</sup>, F.G. Kondev<sup>q</sup>, T. Kurtukian-Nieto<sup>k,n</sup>, S. Lalkovski<sup>l,r</sup>, Z. Liu<sup>a</sup>, A. Maj<sup>h</sup>, S. Myalski<sup>h</sup>, M. Pfützner<sup>i</sup>, S. Schwertel<sup>s</sup>, T. Shizuma<sup>a,t</sup>, A.J. Simons<sup>u,v</sup>, P.M. Walker<sup>a</sup>, O. Wieland<sup>j</sup>, F.R. Xu<sup>v</sup>

and some  
more... 4 in  
Dec '09 PRC

PHYSICAL REVIEW C 80, 064308 (2009)

### $\beta^-$ -delayed spectroscopy of neutron-rich tantalum nuclei: Shape evolution in neutron-rich tungsten isotopes

N. Alkhomashi,<sup>1,\*</sup> P. H. Regan,<sup>1</sup> Zs. Podolyák,<sup>1</sup> S. Pietri,<sup>1</sup> A. B. Garnsworthy,<sup>1</sup> S. J. Steer,<sup>1</sup> J. Benlliure,<sup>2</sup> E. Caserejos,<sup>2</sup> R. F. Casten,<sup>3</sup> J. Gerl,<sup>4</sup> H. J. Wollersheim,<sup>4</sup> J. Grebosz,<sup>5</sup> G. Farrelly,<sup>1</sup> M. Górska,<sup>4</sup> I. Kojouharov,<sup>4</sup> H. Schaffner,<sup>4</sup> A. Algora,<sup>6,7</sup> G. Benzoni,<sup>8</sup> A. Blazhev,<sup>9</sup> P. Boutachkov,<sup>4</sup> A. M. Bruce,<sup>10</sup> A. M. Denis Bacelar,<sup>10</sup> I. J. Cullen,<sup>1</sup> L. Cáceres,<sup>4</sup> P. Doornenbal,<sup>4</sup> M. E. Estevez,<sup>2</sup> Y. Fujita,<sup>11</sup> W. Gelletly,<sup>1</sup> R. Hoischen,<sup>4,12</sup> R. Kumar,<sup>13</sup> N. Kurz,<sup>4</sup> S. Lalkovski,<sup>10</sup> Z. Liu,<sup>14</sup> C. Mihai,<sup>15</sup> F. Molina,<sup>6</sup> A. I. Morales,<sup>2</sup> D. Mütcher,<sup>9</sup> W. Prokopowicz,<sup>4</sup> B. Rubio,<sup>6</sup> Y. Shi,<sup>16</sup> A. Tamii,<sup>17</sup> S. Tashenov,<sup>4</sup> J. J. Valiente-Dobón,<sup>18</sup> P. M. Walker,<sup>1</sup> P. J. Woods,<sup>14</sup> and F. R. Xu<sup>16</sup>

#### RAPID COMMUNICATIONS

PHYSICAL REVIEW C 80, 061302(R) (2009)

### Nuclear structure “southeast” of <sup>208</sup>Pb: Isomeric states in <sup>208</sup>Hg and <sup>209</sup>Tl

N. Al-Dahan,<sup>1,2</sup> Zs. Podolyák,<sup>1,\*</sup> P. H. Regan,<sup>1</sup> M. Górska,<sup>3</sup> H. Grawe,<sup>3</sup> K. H. Maier,<sup>4</sup> J. Gerl,<sup>3</sup> S. B. Pietri,<sup>3</sup> H. J. Wollersheim,<sup>3</sup> N. Alkhomashi,<sup>1</sup> A. Y. Deo,<sup>1</sup> A. M. Denis Bacelar,<sup>5</sup> G. Farrelly,<sup>1</sup> S. J. Steer,<sup>1</sup> A. M. Bruce,<sup>5</sup> P. Boutachkov,<sup>3</sup> C. Domingo-Pardo,<sup>3</sup> A. Algora,<sup>6,7</sup> J. Benlliure,<sup>8</sup> A. Bracco,<sup>9</sup> E. Calore,<sup>10</sup> E. Casarejos,<sup>8</sup> I. J. Cullen,<sup>1</sup> P. Detistov,<sup>11</sup> Zs. Dombrádi,<sup>7</sup> M. Doncel,<sup>12</sup> F. Farinon,<sup>3</sup> W. Gelletly,<sup>1</sup> H. Geissel,<sup>3</sup> N. Goel,<sup>3</sup> J. Grebosz,<sup>4</sup> R. Hoischen,<sup>3,13</sup> I. Kojouharov,<sup>3</sup> N. Kurz,<sup>3</sup> S. Lalkovski,<sup>5</sup> S. Leoni,<sup>14</sup> F. Molina,<sup>6</sup> D. Montanari,<sup>9</sup> A. I. Morales,<sup>8</sup> A. Musumarra,<sup>3,15</sup> D. R. Napoli,<sup>10</sup> R. Nicolini,<sup>9</sup> C. Nociforo,<sup>3</sup> A. Prochazka,<sup>3</sup> W. Prokopowicz,<sup>3</sup> B. Rubio,<sup>6</sup> D. Rudolph,<sup>3,13</sup> H. Schaffner,<sup>3</sup> P. Strmen,<sup>16</sup> I. Szarka,<sup>16</sup> T. Swan,<sup>1</sup> J. S. Thomas,<sup>1</sup> J. J. Valiente-Dobón,<sup>10</sup> S. Verma,<sup>8</sup> P. M. Walker,<sup>1</sup> and H. Weick<sup>3</sup>

PHYSICAL REVIEW C 80, 064303 (2009)

### Isomeric states in neutron-deficient $A \sim 80$ –90 nuclei populated in the fragmentation of <sup>107</sup>Ag

A. B. Garnsworthy,<sup>1,2,\*</sup> P. H. Regan,<sup>1</sup> S. Pietri,<sup>1</sup> Y. Sun,<sup>3</sup> F. R. Xu,<sup>4</sup> D. Rudolph,<sup>5</sup> M. Górska,<sup>6</sup> L. Cáceres,<sup>6,7</sup> Zs. Podolyák,<sup>1</sup> S. J. Steer,<sup>1</sup> R. Hoischen,<sup>5,6</sup> A. Heinz,<sup>2</sup> F. Becker,<sup>6</sup> P. Bednarczyk,<sup>6,8</sup> P. Doornenbal,<sup>6</sup> H. Geissel,<sup>6</sup> J. Gerl,<sup>6</sup> H. Grawe,<sup>6</sup> J. Grębosz,<sup>6,8</sup> A. Kelic,<sup>6</sup> I. Kojouharov,<sup>6</sup> N. Kurz,<sup>6</sup> F. Montes,<sup>6</sup> W. Prokopowicz,<sup>6</sup> T. Saito,<sup>6</sup> H. Schaffner,<sup>6</sup> S. Tachenov,<sup>6</sup> E. Werner-Malento,<sup>9,†</sup> H. J. Wollersheim,<sup>6</sup> G. Benzoni,<sup>10</sup> B. Blank,<sup>11</sup> C. Brandau,<sup>1</sup> A. M. Bruce,<sup>12</sup> F. Camera,<sup>10</sup> W. N. Catford,<sup>1</sup> I. J. Cullen,<sup>1</sup> Zs. Dombrádi,<sup>13</sup> E. Estevez,<sup>14</sup> W. Gelletly,<sup>1</sup> G. Ilie,<sup>15,16</sup> J. Jolie,<sup>15</sup> G. A. Jones,<sup>1</sup> A. Jungclauss,<sup>7,17</sup> M. Kmiecik,<sup>8</sup> F. G. Kondev,<sup>18</sup> T. Kurtukian-Nieto,<sup>14</sup> S. Lalkovski,<sup>12,19</sup> Z. Liu,<sup>1</sup> A. Maj,<sup>8</sup> S. Myalski,<sup>8</sup> M. Pfützner,<sup>9</sup> S. Schwertel,<sup>20</sup> T. Shizuma,<sup>1,21</sup> A. J. Simons,<sup>1,22</sup> P. M. Walker,<sup>1</sup> and O. Wieland<sup>10</sup>

PHYSICAL REVIEW C 80, 064608 (2009)

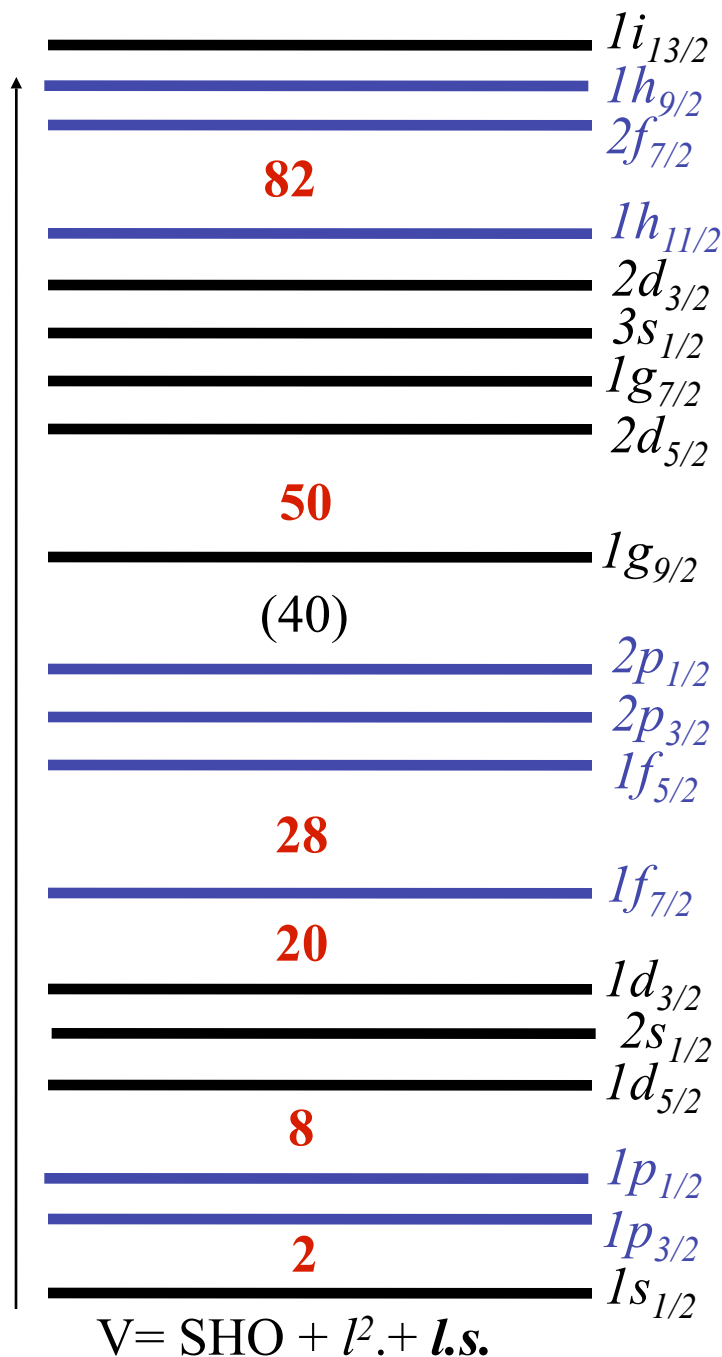
### Population of low-seniority isomeric states of <sup>206</sup>Hg by two-proton knockout reactions at relativistic energies

E. C. Simpson, J. A. Tostevin, Zs. Podolyák, P. H. Regan, and S. J. Steer

Department of Physics, Faculty of Engineering and Physical Sciences, University of Surrey, Guildford, Surrey GU2 7XH, United Kingdom

(Received 5 October 2009; published 8 December 2009)





Basic, independent particle model (with very simple residual interactions added, such as  $\delta$  - (contact) interaction) predicts large host of isomers in the vicinity of closed shells / magic numbers.

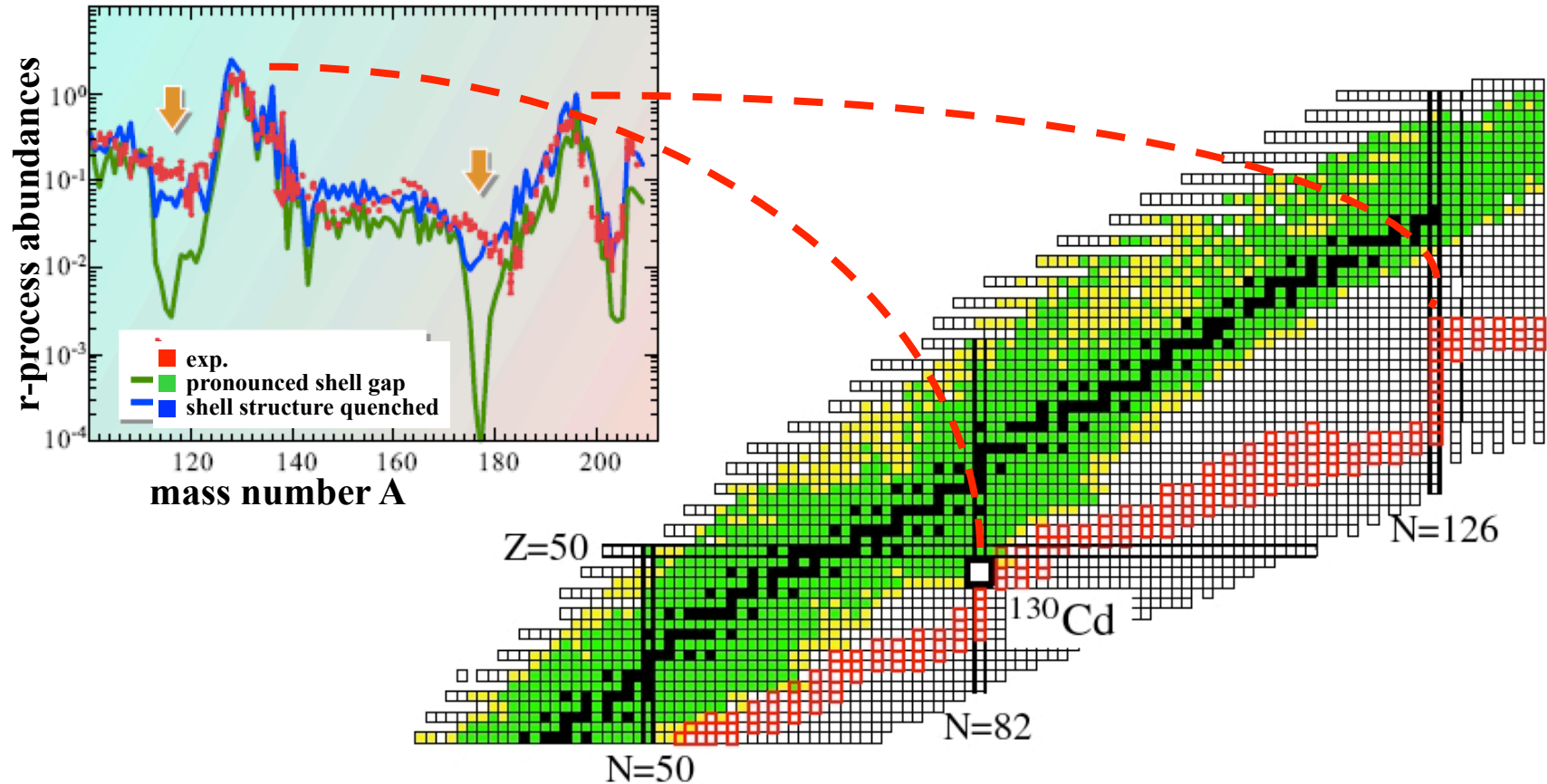
Two categories

- 1) Spin-trap isomers - from particularly favoured coupling of (often high-j intruder) particles gives rise to high-spin state at low excitation energy. This state 'has nowhere to decay to' unless decays by high multipolarity (thus slow) transition.

$$|J_i + J_f| > \Delta J > |J_i - J_f|$$

- 2) Seniority isomers -  $\delta$ -interaction can demonstrate with geometric picture how (single) jn multiplet looks like  $j^2$  multiplet. Small energy difference between  $J_{max}$  and  $(J_{max}-2)$  states cause 'seniority isomers'.

# Physics...is there N=126 shell quenching ?

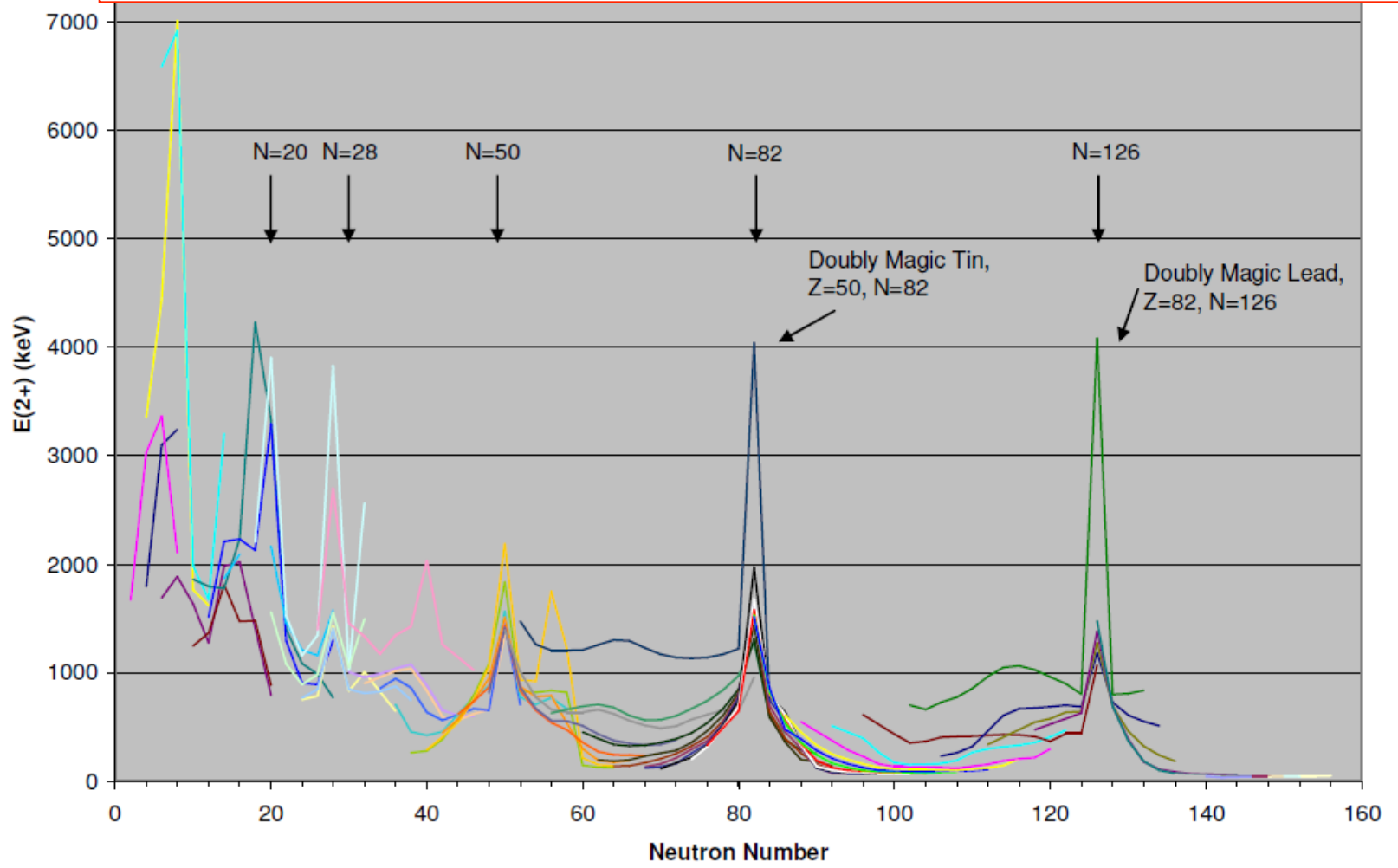


Assumption of a N=126 shell quenching leads to a considerable improvement in the global abundance fit in r-process calculations

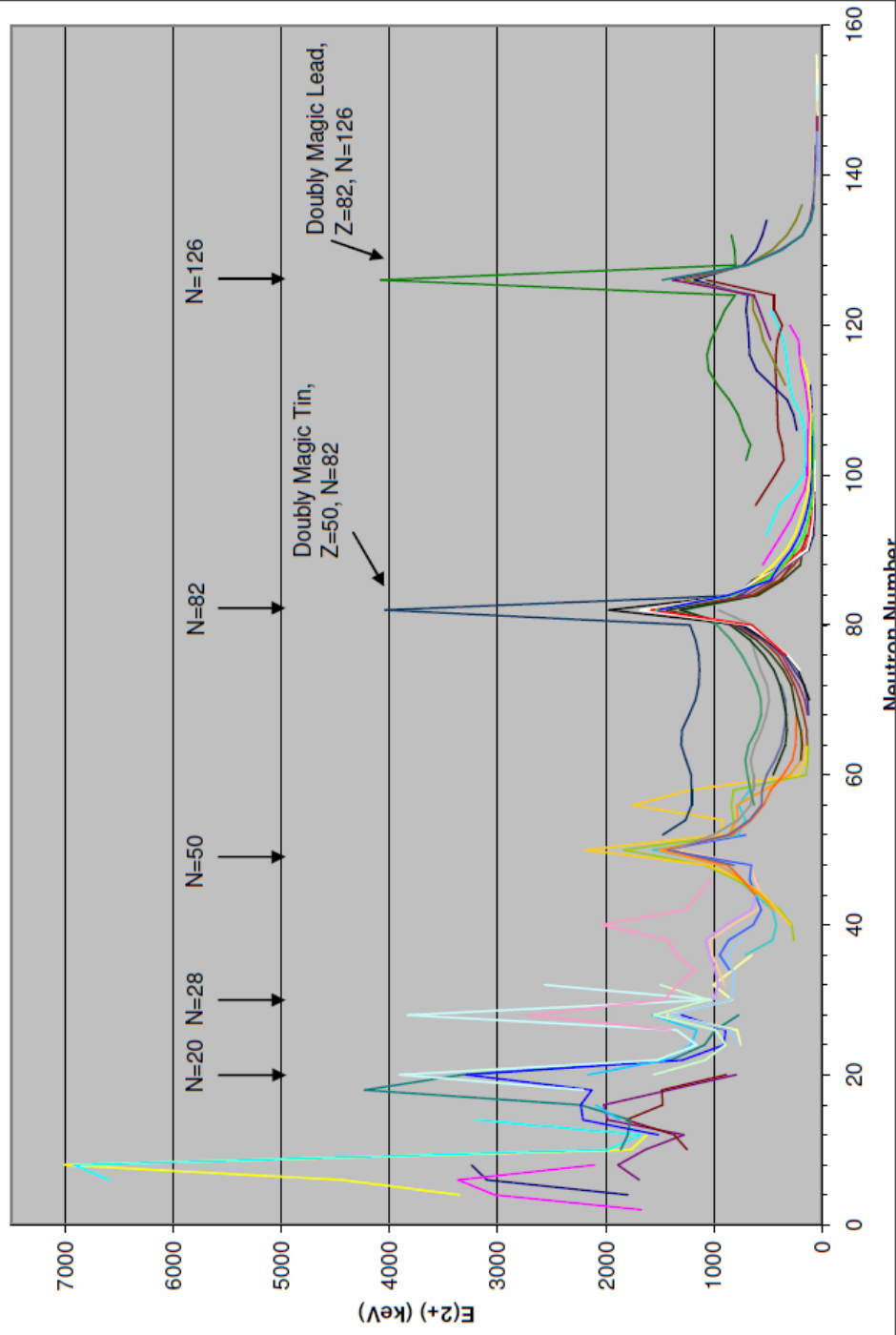
What do we expect ?

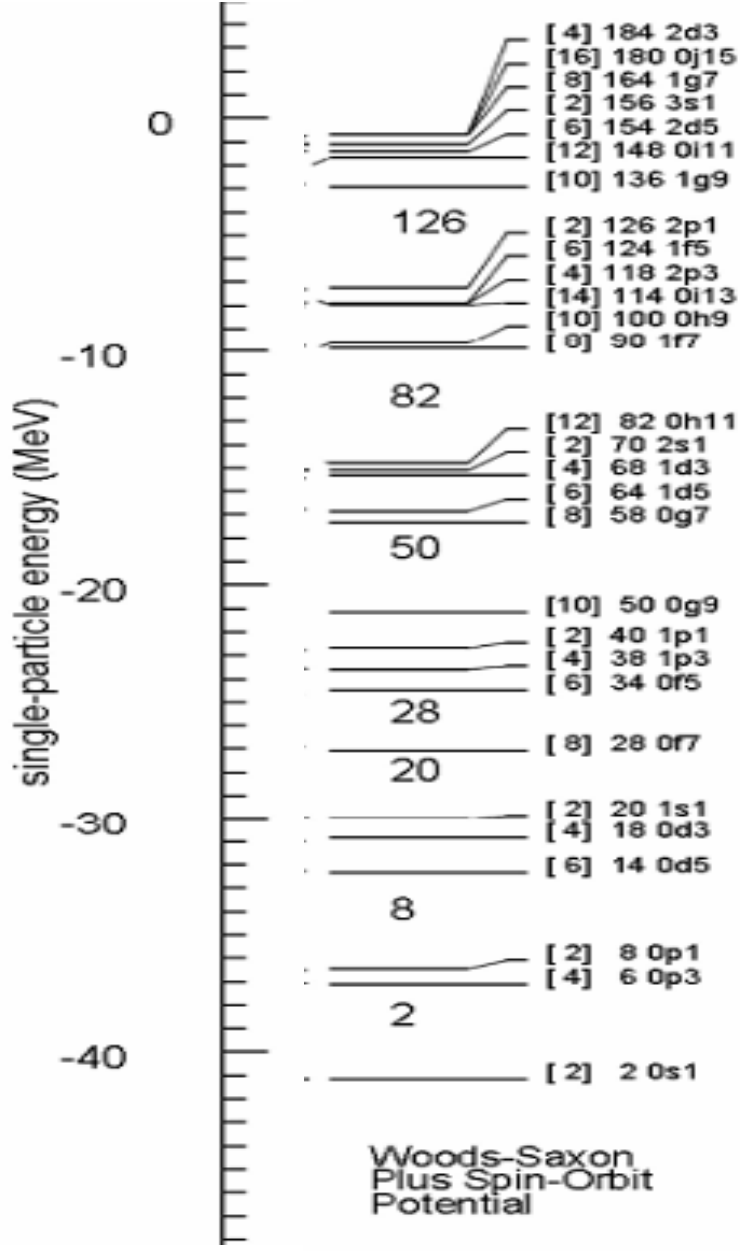
$E(2_+)$  vs N with isotopes connected

Evidence for nuclear shell structure....

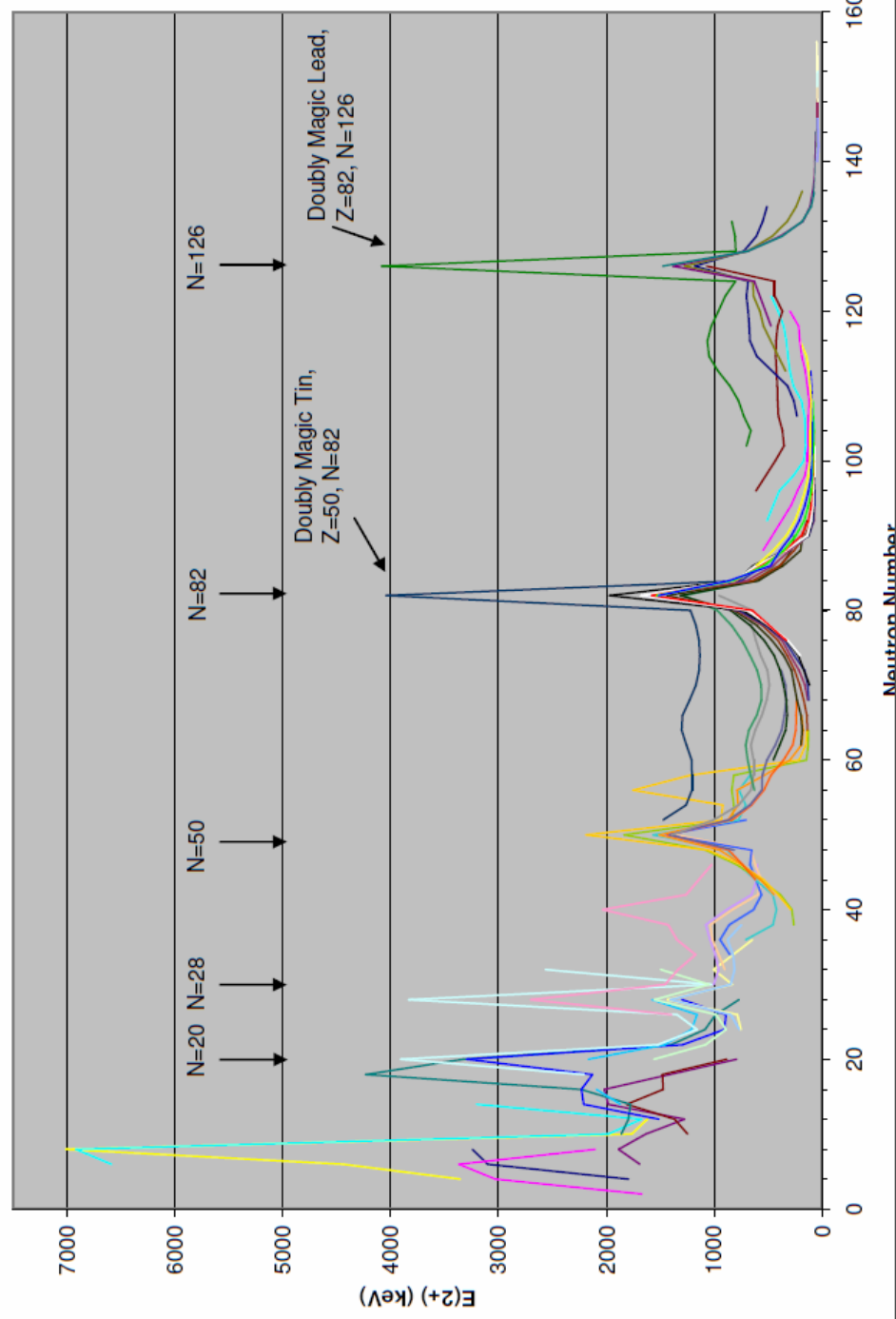


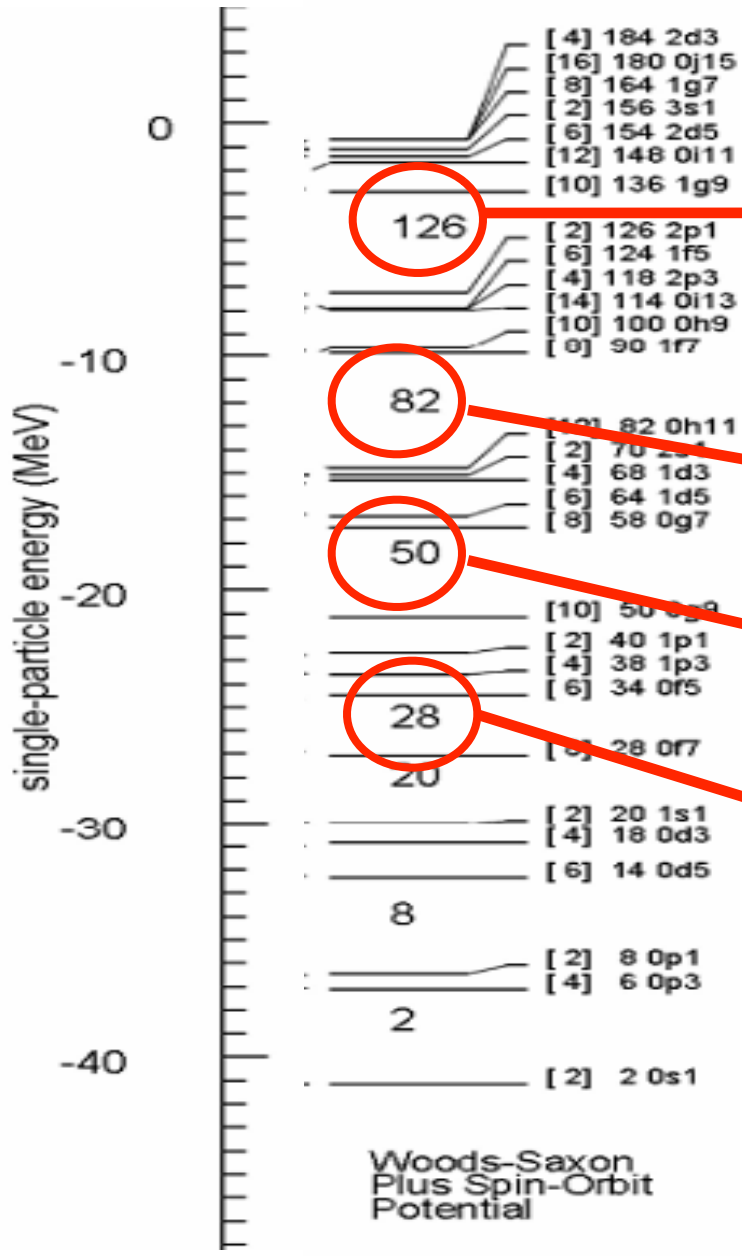
### E(2+) vs N with isotopes connected



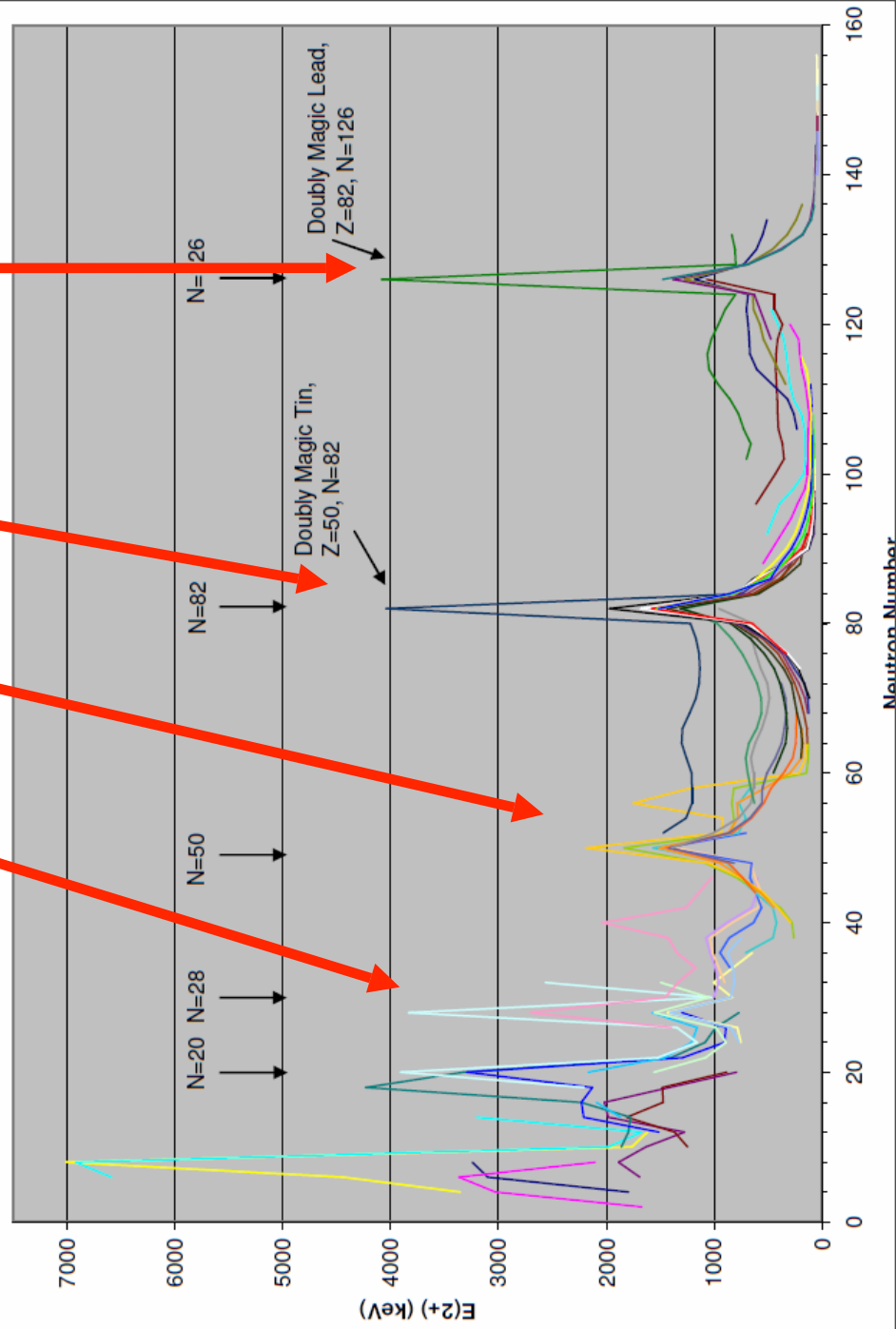


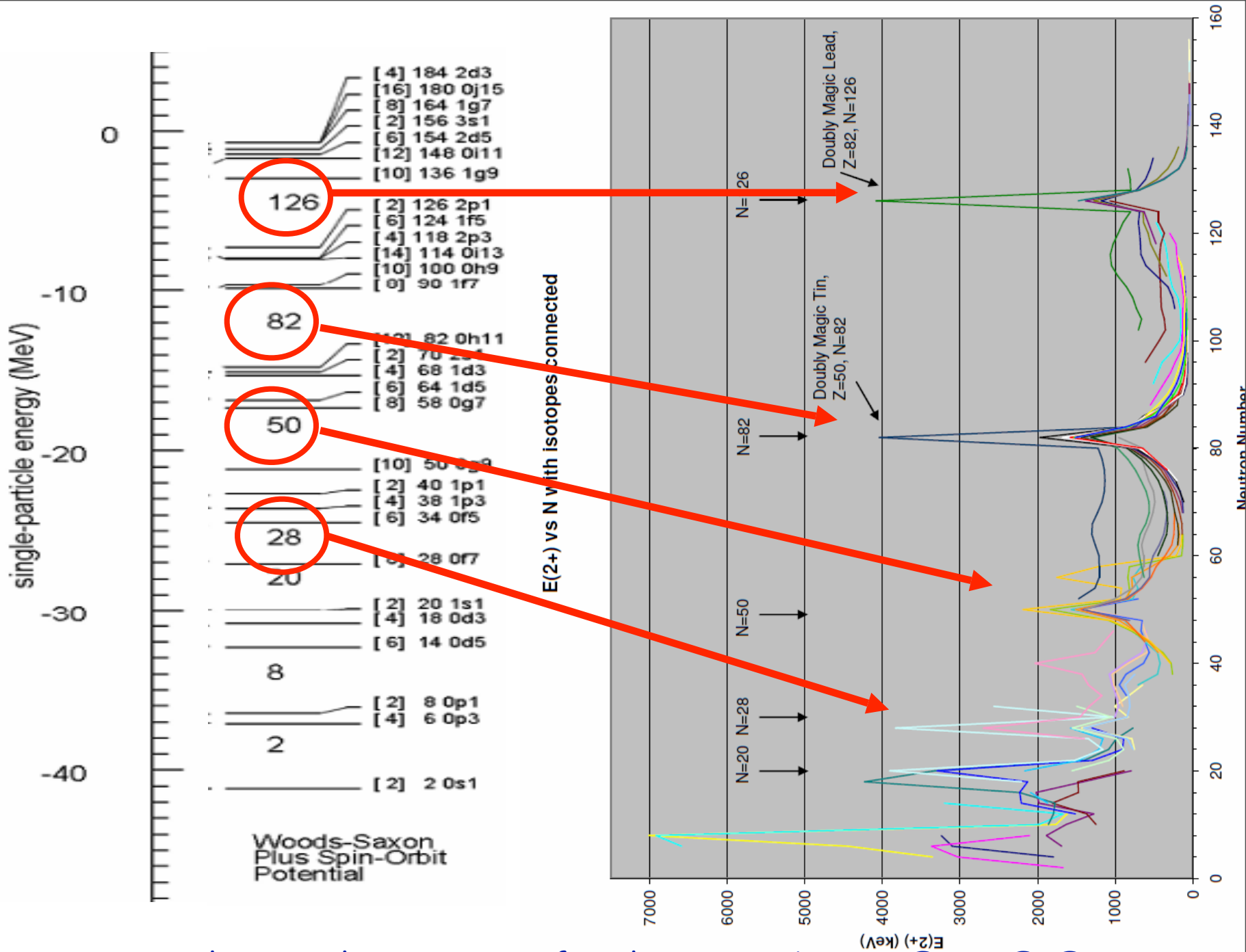
$E(2^+)$  vs N with isotopes connected





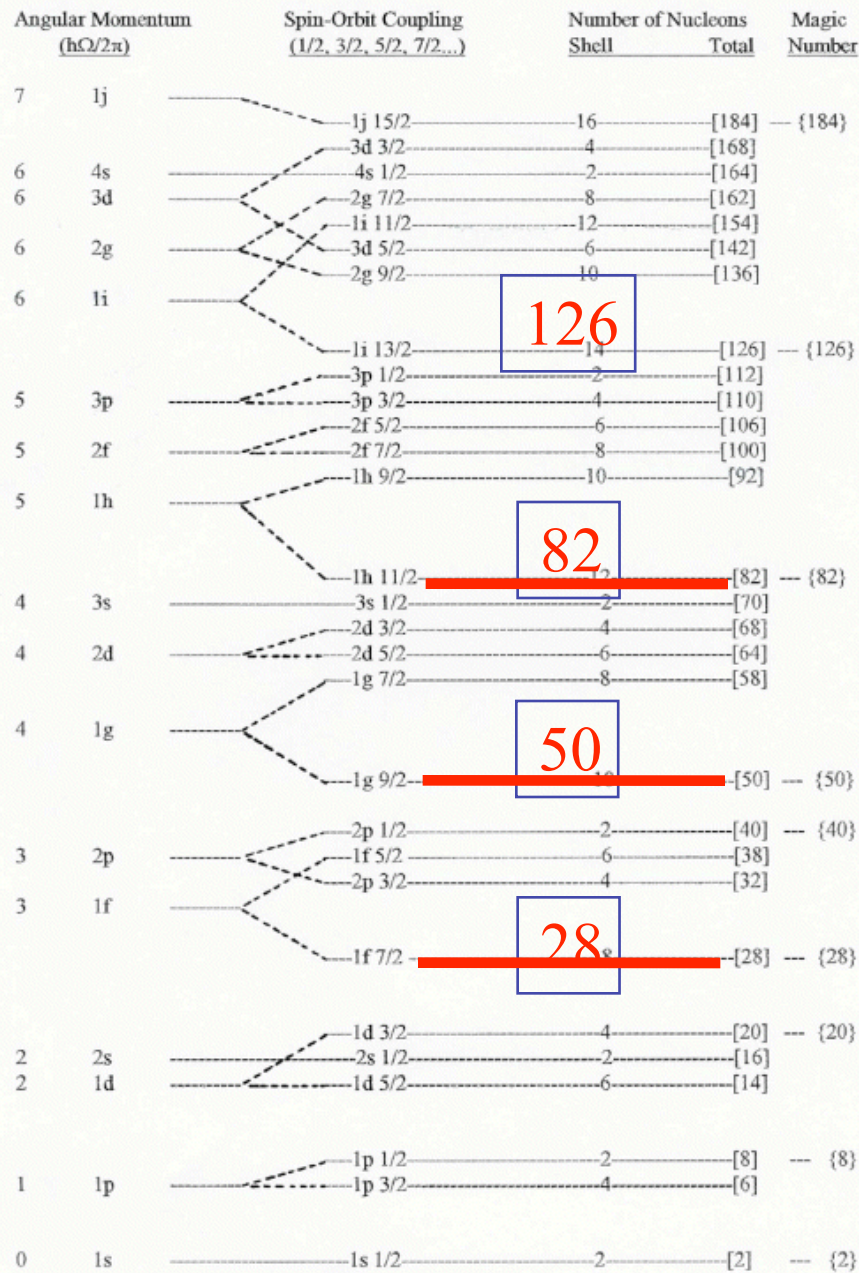
$E(2^+) vs N$  with isotopes connected





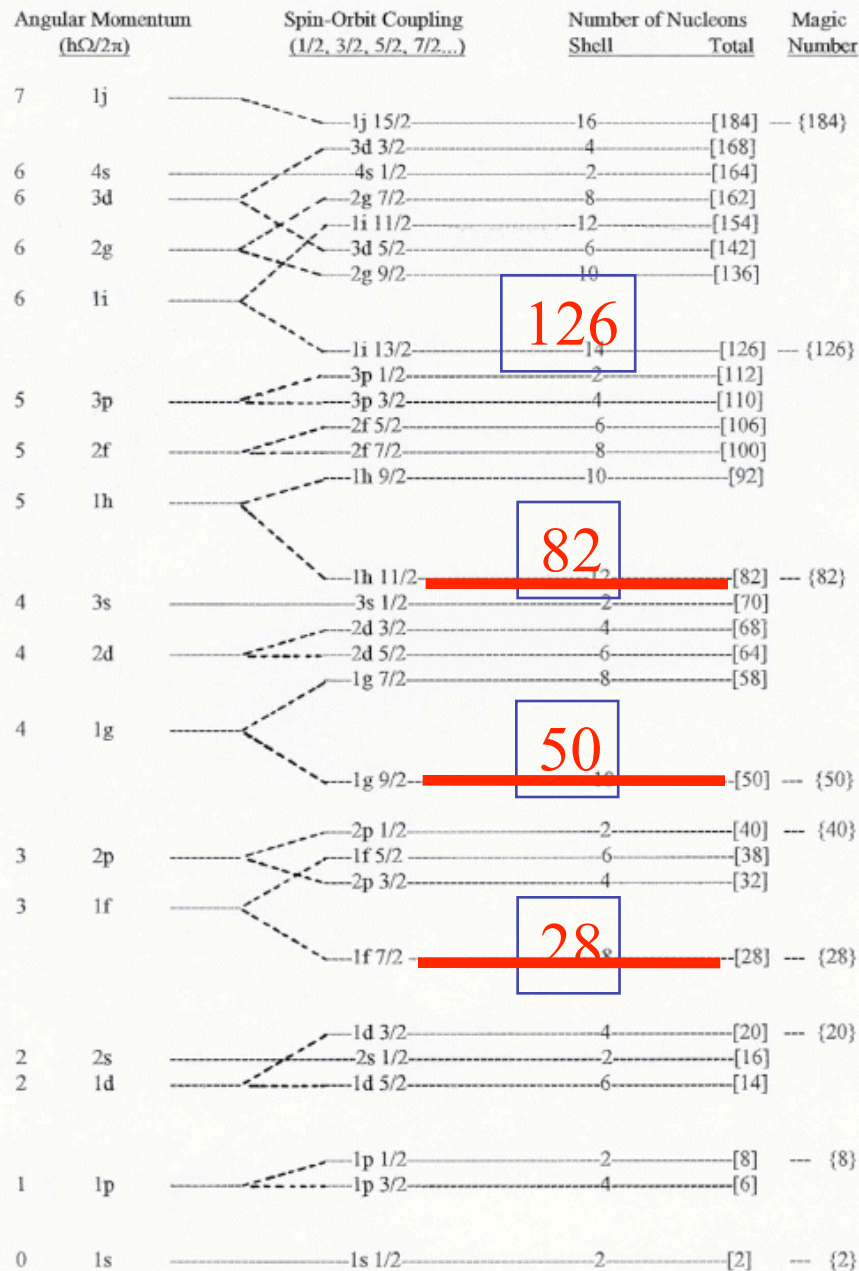
large gaps in single-particle structure of nuclei...MAGIC NUMBERS = ENERGY GAPS

**Table 1 -- Nuclear Shell Structure** (from *Elementary Theory of Nuclear Shell Structure*, Maria Goeppert Mayer & J. Hans D. Jensen, John Wiley & Sons, Inc., New York, 1955.)





**Table 1 -- Nuclear Shell Structure** (from *Elementary Theory of Nuclear Shell Structure*, Maria Goeppert Mayer & J. Hans D. Jensen, John Wiley & Sons, Inc., New York, 1955.)



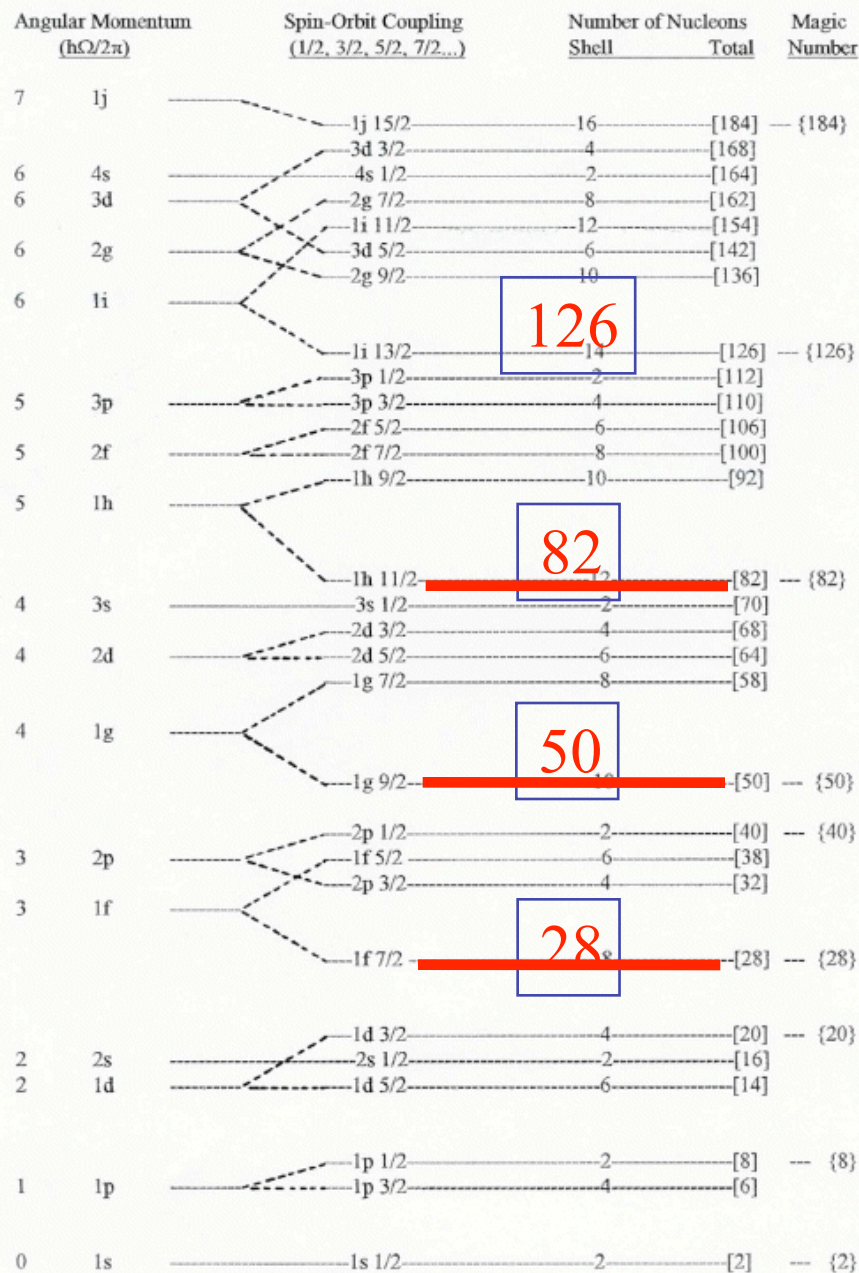
Study the evolution of shell structure as a function of N:Z ratio.

$^{208}\text{Pb}$  (Z=82, N=126)

$^{132}\text{Sn}$  (Z=50, N=82)

$^{56}\text{Ni}$  (Z=28, N=28)

**Table 1 -- Nuclear Shell Structure** (from *Elementary Theory of Nuclear Shell Structure*, Maria Goeppert Mayer & J. Hans D. Jensen, John Wiley & Sons, Inc., New York, 1955.)



Study the evolution of shell structure as a function of N:Z ratio.

$^{208}\text{Pb}$  (Z=82, N=126)

$^{132}\text{Sn}$  (Z=50, N=82)

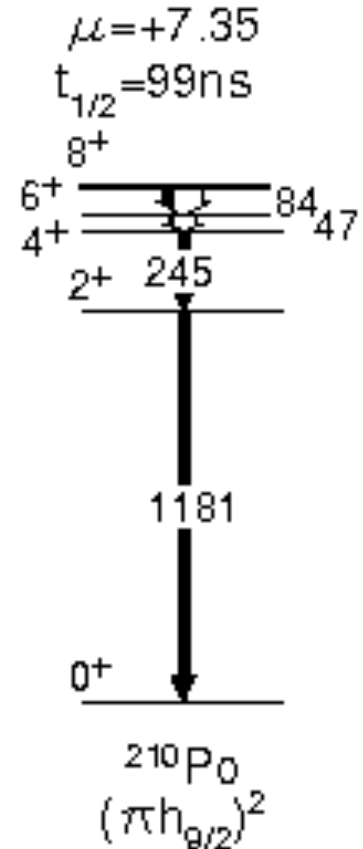
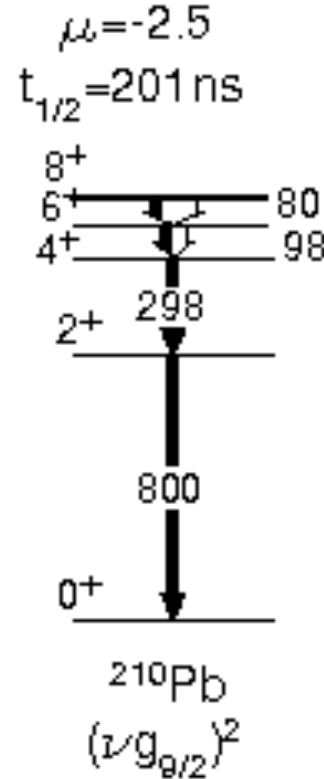
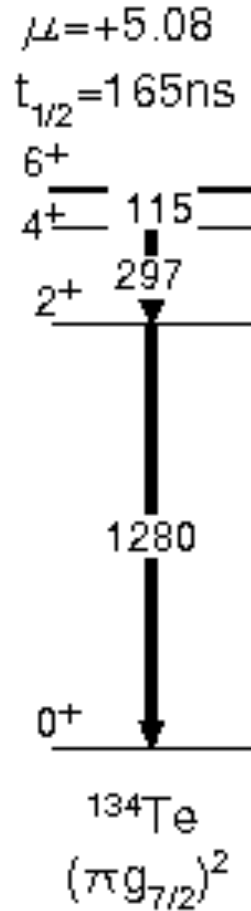
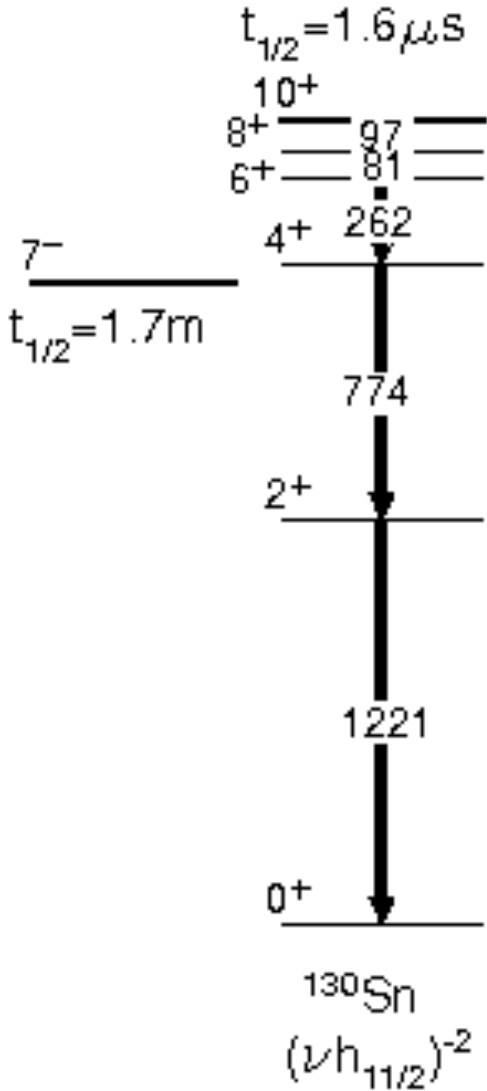
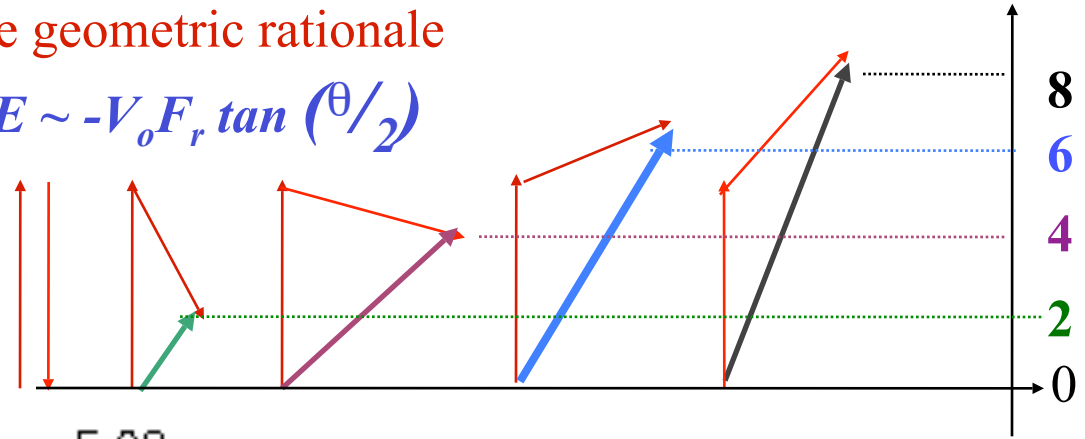
$^{56}\text{Ni}$  (Z=28, N=28)

(Proton) holes in high-j intruders ( $f_{7/2}$ ,  $g_{9/2}$  &  $h_{11/2}$ ) gives rise to seniority isomers' at magic shells.

$\delta$ -interaction gives nice simple geometric rationale

for Seniority Isomers from  $\Delta E \sim -V_o F_r \tan(\theta/2)$

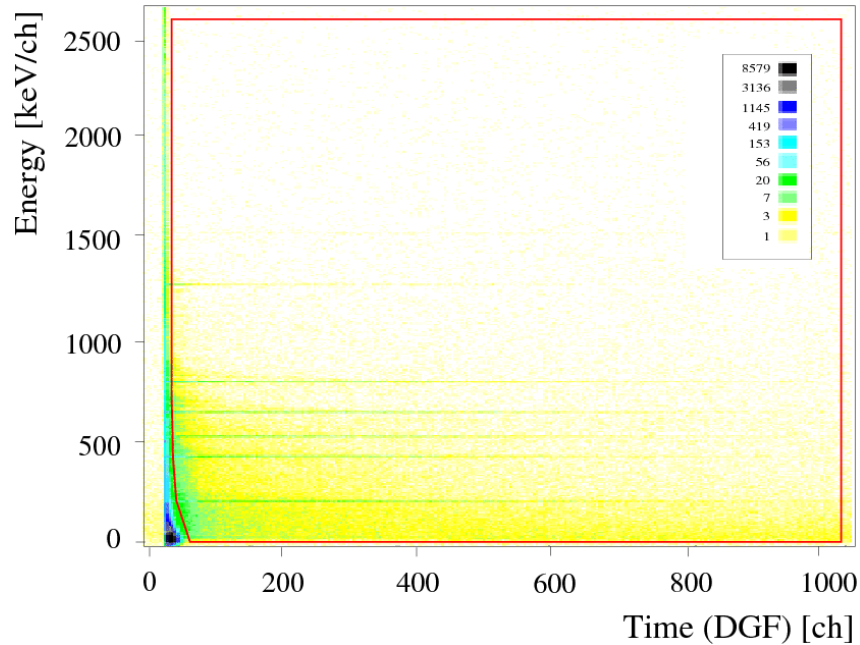
for  $T=1$ , even  $J$



$Z < 50 ; N \sim 82$

# $^{128}\text{Cd}$

L. Caceres et al., PRC 79 011301(R) 2009



T. Kautzsch et al., Eur. Phys. J. A 25, 117 ( 2005)

N. Hotelling et al., Phys. Rev. C 76, 044324 ( 2007 )

$3.29 \times 10^5$  identified ions

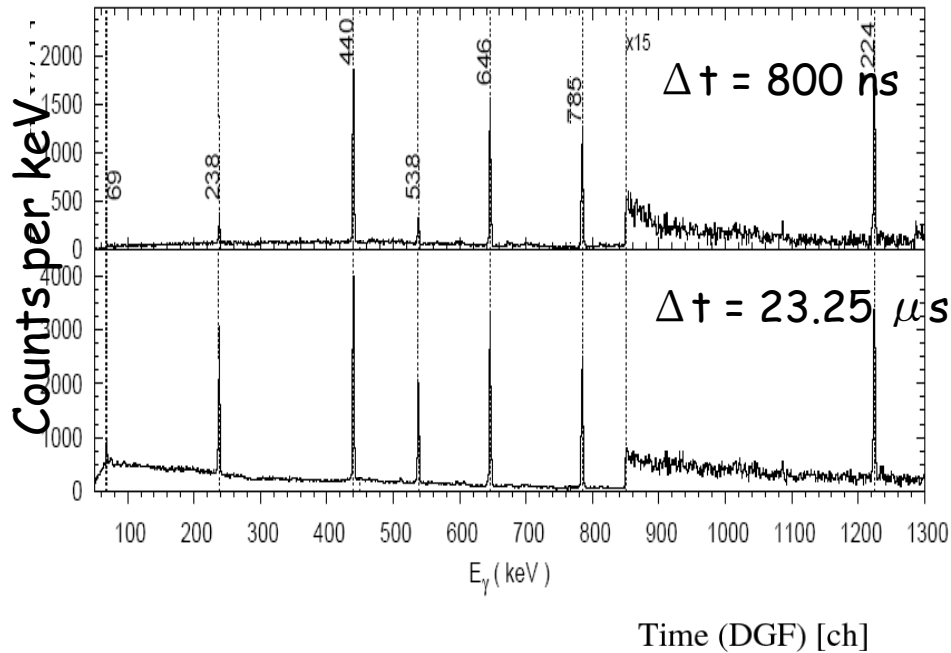
Fragmentation

+

Fission

# $^{128}\text{Cd}$

L. Caceres et al., PRC 79 011301(R) 2009



T. Kautzsch et al., Eur. Phys. J. A 25, 117 ( 2005)

N. Hoteling et al., Phys. Rev. C 76, 044324 ( 2007 )

$3.29 \times 10^5$  identified ions

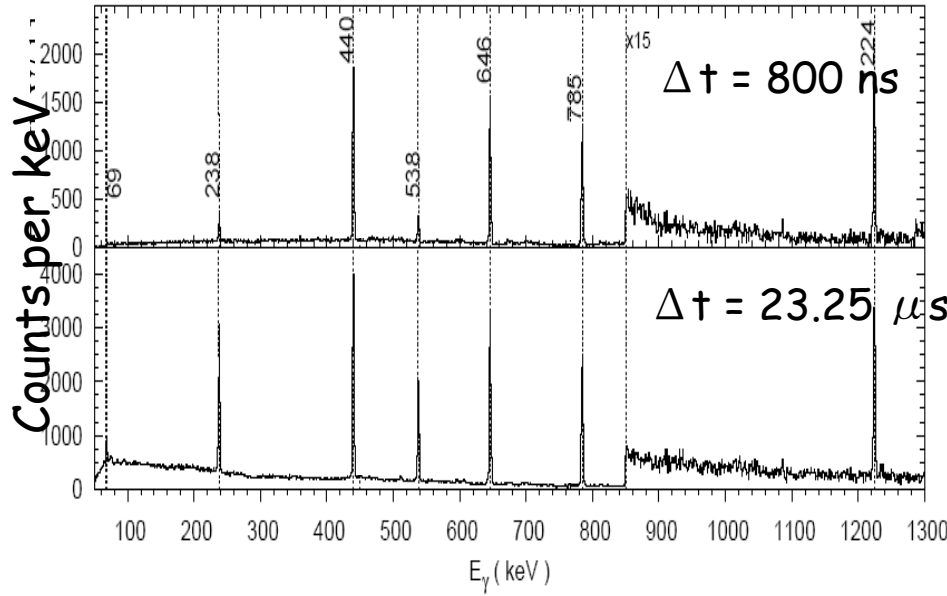
Fragmentation

+

Fission

# $^{128}\text{Cd}$

L. Caceres et al., PRC 79 011301(R) 2009



Time (DGF) [ch]

T. Kautzsch et al., Eur. Phys. J. A 25, 117 ( 2005)

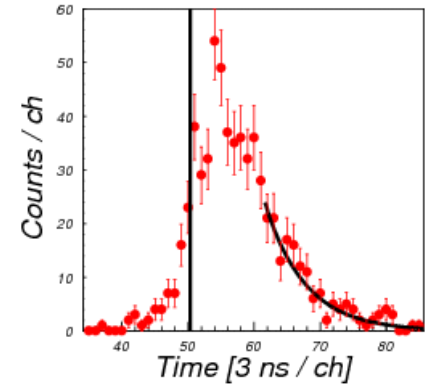
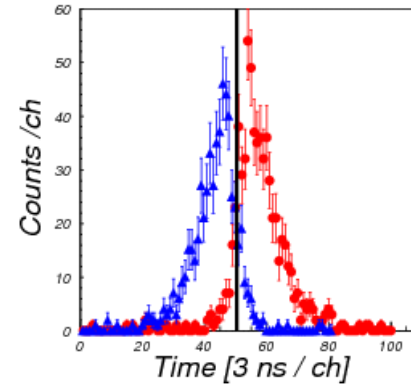
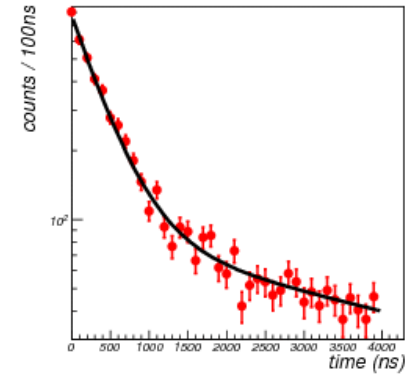
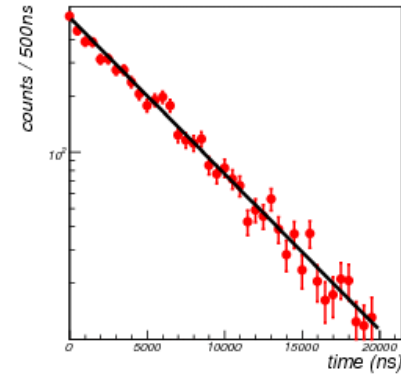
N. Hoteling et al., Phys. Rev. C 76, 044324 ( 2007 )

$3.29 \times 10^5$  identified ions

Fragmentation

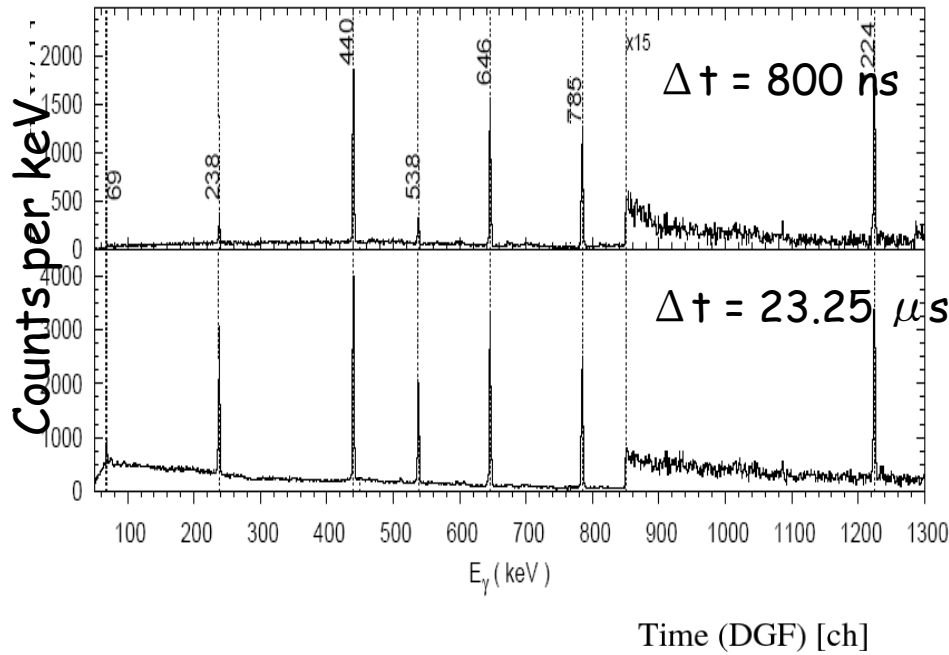
+

Fission



# $^{128}\text{Cd}$

L. Caceres et al., PRC 79 011301(R) 2009



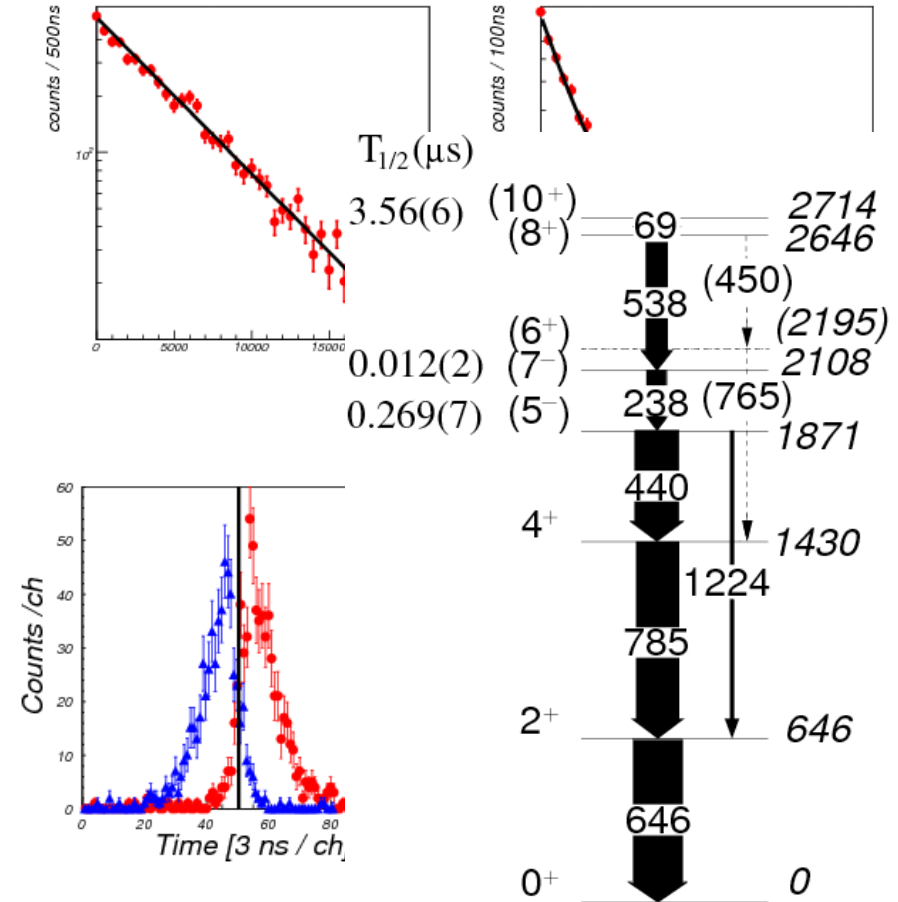
T. Kautzsch et al., Eur. Phys. J. A 25, 117 ( 2005)  
 N. Hoteling et al., Phys. Rev. C 76, 044324 ( 2007 )

$3.29 \times 10^5$  identified ions

Fragmentation

+

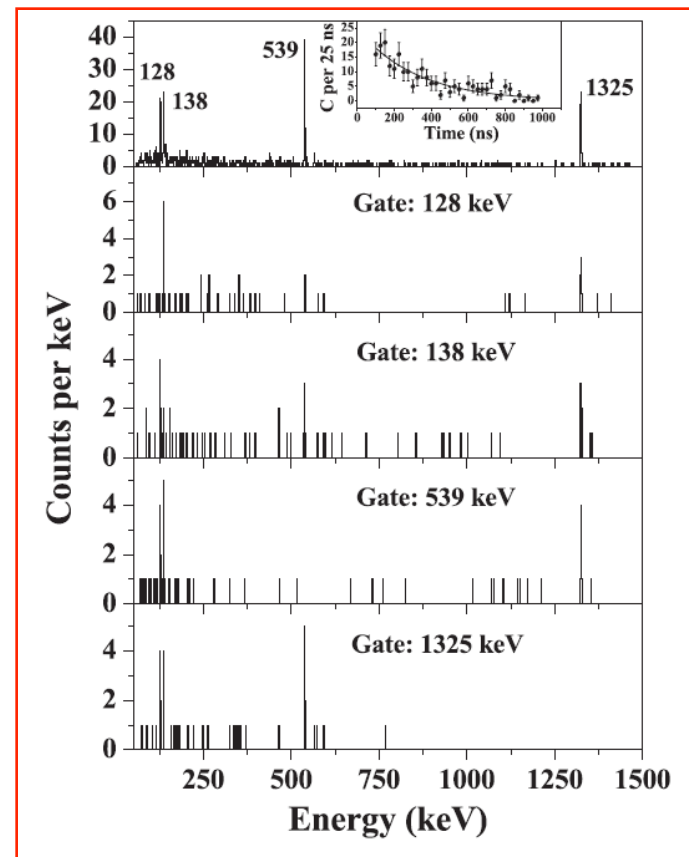
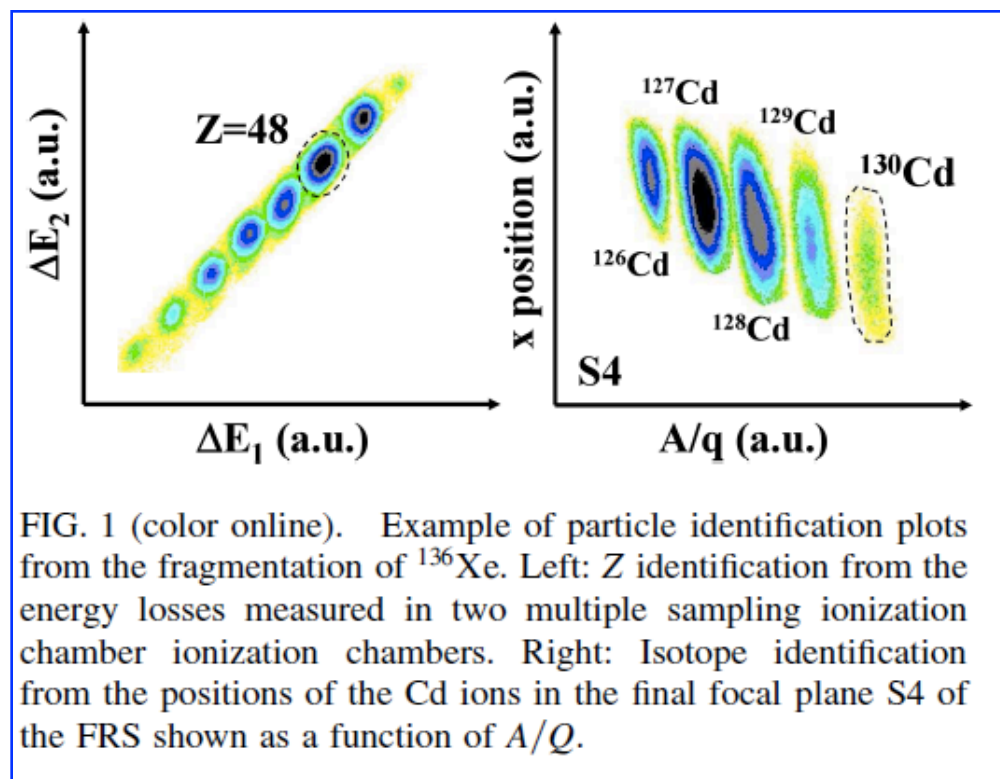
Fission





## Observation of Isomeric Decays in the $r$ -Process Waiting-Point Nucleus $^{130}\text{Cd}_{82}$

A. Jungclaus,<sup>1</sup> L. Cáceres,<sup>1,2</sup> M. Górska,<sup>2</sup> M. Pfützner,<sup>3</sup> S. Pietri,<sup>4</sup> E. Werner-Malento,<sup>3</sup> H. Grawe,<sup>2</sup> K. Langanke,<sup>2</sup> G. Martínez-Pinedo,<sup>2</sup> F. Nowacki,<sup>5</sup> A. Poves,<sup>1</sup> J. J. Cuenca-García,<sup>2</sup> D. Rudolph,<sup>6</sup> Z. Podolyak,<sup>4</sup> P. H. Regan,<sup>4</sup> P. Detistov,<sup>7</sup> S. Lalkovski,<sup>8,7</sup> V. Modamio,<sup>1</sup> J. Walker,<sup>1</sup> P. Bednarczyk,<sup>2,9</sup> P. Doornenbal,<sup>2</sup> H. Geissel,<sup>2</sup> J. Gerl,<sup>2</sup> J. Grebosz,<sup>2,9</sup> I. Kojouharov,<sup>2</sup> N. Kurz,<sup>2</sup> W. Prokopowicz,<sup>2</sup> H. Schaffner,<sup>2</sup> H. J. Wollersheim,<sup>2</sup> K. Andgren,<sup>10</sup> J. Benlliure,<sup>11</sup> G. Benzoni,<sup>12</sup> A. M. Bruce,<sup>8</sup> E. Casarejos,<sup>11</sup> B. Cederwall,<sup>10</sup> F. C. L. Crespi,<sup>12</sup> B. Hadinia,<sup>10</sup> M. Hellström,<sup>6</sup> R. Hoischen,<sup>6,2</sup> G. Ilie,<sup>13,14</sup> J. Jolie,<sup>13</sup> A. Khaplanov,<sup>10</sup> M. Kmiecik,<sup>9</sup> R. Kumar,<sup>15</sup> A. Maj,<sup>9</sup> S. Mandal,<sup>16</sup> F. Montes,<sup>2</sup> S. Myalski,<sup>9</sup> G. S. Simpson,<sup>17</sup> S. J. Steer,<sup>4</sup> S. Tashenov,<sup>2</sup> and O. Wieland<sup>12</sup>





Evolution of the  $N = 82$  shell gap below  $^{132}\text{Sn}$  inferred from core excited states in  $^{131}\text{In}$

M. Górska<sup>a,\*</sup>, L. Cáceres<sup>a,b</sup>, H. Grawe<sup>a</sup>, M. Pfützner<sup>c</sup>, A. Jungclaus<sup>b,d</sup>, S. Pietri<sup>e,1</sup>, E. Werner-Malento<sup>c,2</sup>, Z. Podolyák<sup>e</sup>, P.H. Regan<sup>e</sup>, D. Rudolph<sup>f</sup>, P. Detistov<sup>g</sup>, S. Lalkowski<sup>g,h</sup>, V. Modamio<sup>b</sup>, J. Walker<sup>b</sup>, T. Beck<sup>a</sup>, P. Bednarczyk<sup>a,i</sup>, P. Doornenbal<sup>a,j,3</sup>, H. Geissel<sup>a</sup>, J. Gerl<sup>a</sup>, J. Grębosz<sup>a,i</sup>, R. Hoischen<sup>f,a</sup>, I. Kojouharov<sup>a</sup>, N. Kurz<sup>a</sup>, W. Prokopowicz<sup>a,i</sup>, H. Schaffner<sup>a</sup>, H. Weick<sup>a</sup>, H.-J. Wollersheim<sup>a</sup>, K. Andgren<sup>k</sup>, J. Benlliure<sup>l</sup>, G. Benzoni<sup>m</sup>, A.M. Bruce<sup>h</sup>, E. Casarejos<sup>l</sup>, B. Cederwall<sup>k</sup>, F.C. L. Crespi<sup>m</sup>, B. Hadinia<sup>f</sup>, M. Hellström<sup>f</sup>, G. Ilie<sup>j,n</sup>, A. Khaplanov<sup>k</sup>, M. Kmiecik<sup>i</sup>, R. Kumar<sup>o</sup>, A. Maj<sup>i</sup>, S. Mandal<sup>p</sup>, F. Montes<sup>a</sup>, S. Myalski<sup>i</sup>, G.S. Simpson<sup>q</sup>, S.J. Steer<sup>e</sup>, S. Tashenov<sup>a</sup>, O. Wieland<sup>m</sup>, Zs. Dombrádi<sup>r</sup>, P. Reiter<sup>j</sup>, D. Sohler<sup>r</sup>

$^{131}\text{In}$ ;  $Z=49$ ,  $N=82$   
A single valence proton hole in  $^{132}\text{Sn}$ .

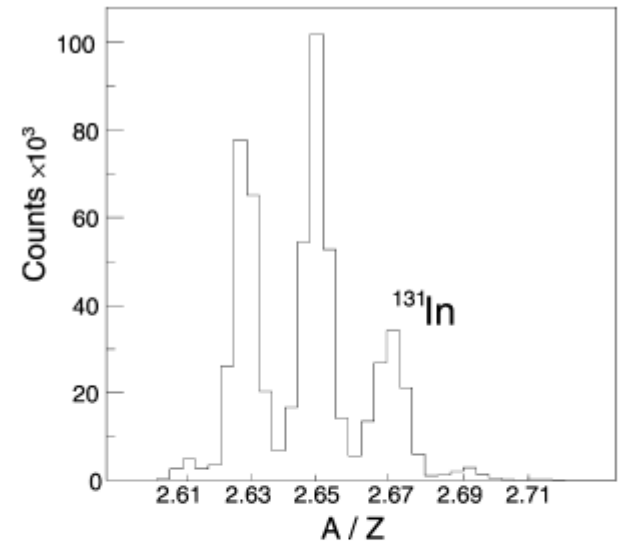
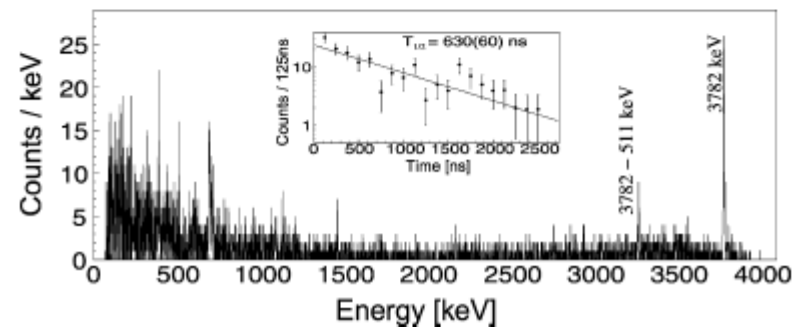


Fig. 1. The experimental spectrum of the  $A/Z$  value for In isotopes obtained in the fission experiment.

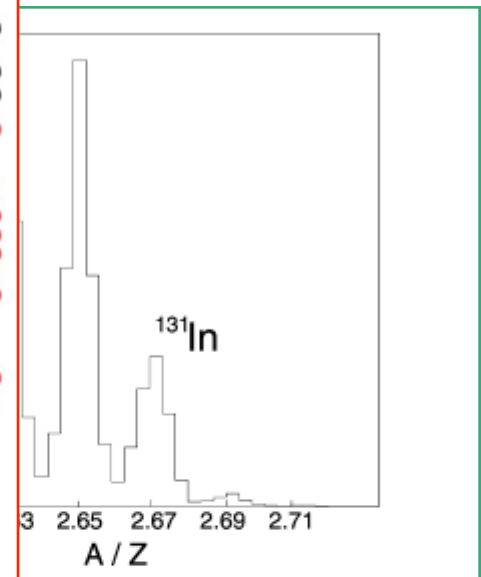
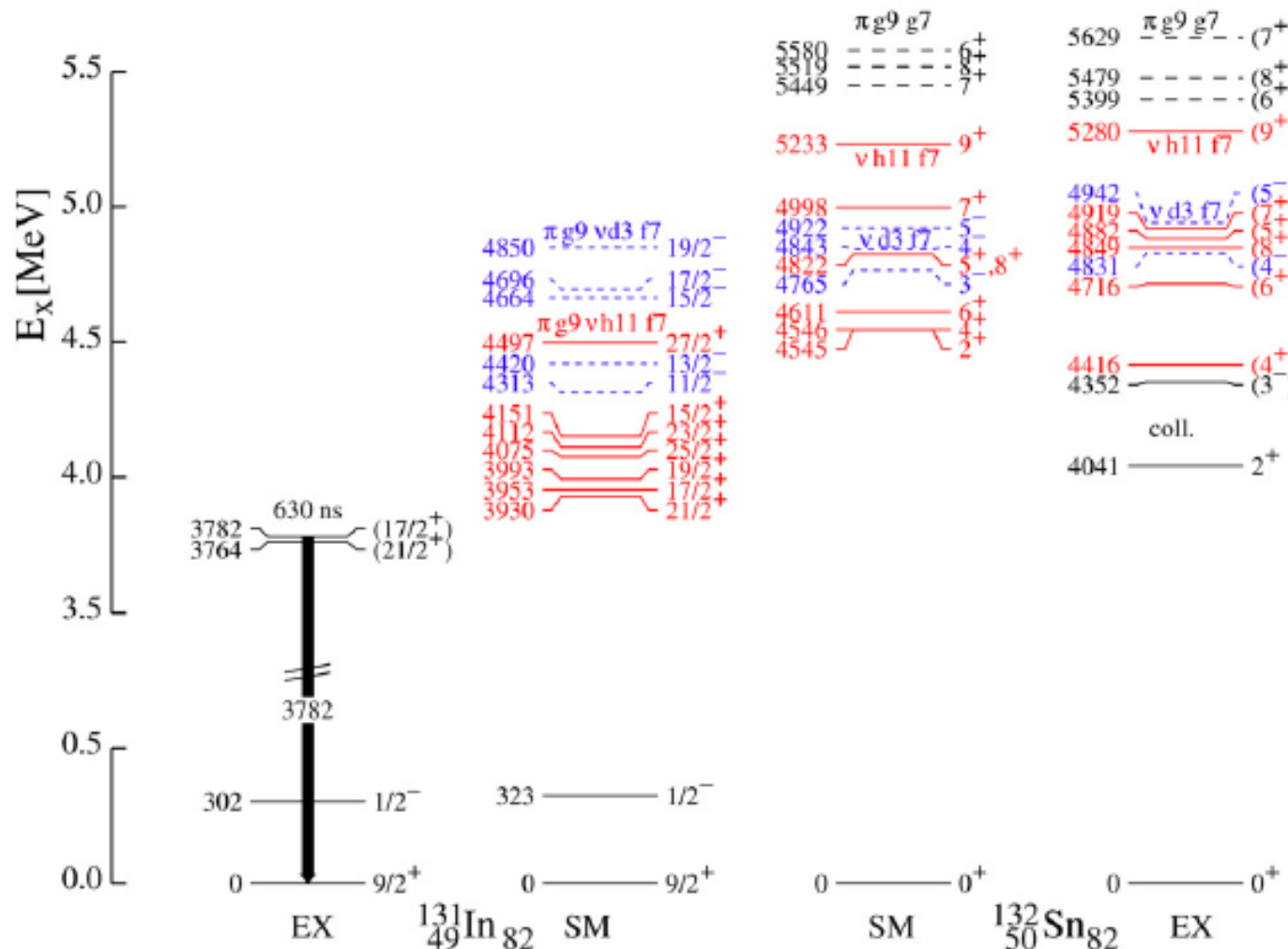


Evolution of the  $N = 82$  shell gap below  $^{132}\text{Sn}$  inferred from core excited states in  $^{131}\text{In}$

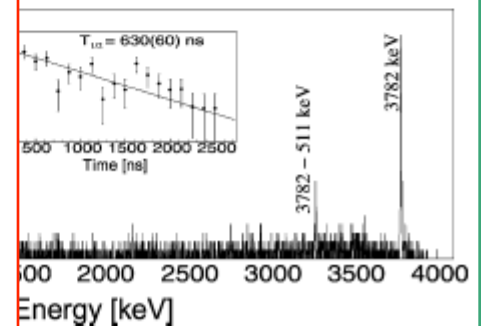
M. Górska<sup>a,\*</sup>, L. Cáceres<sup>a,b</sup>, H. Grawe<sup>a</sup>, M. Pfützner<sup>c</sup>, A. Jungclaus<sup>b,d</sup>, S. Pietri<sup>e,1</sup>, E. Werner-Malento<sup>c,2</sup>, Z. Podolyák<sup>e</sup>, P.H. Regan<sup>e</sup>, D. Rudolph<sup>f</sup>, P. Detistov<sup>g</sup>, S. Lalkovski<sup>g,h</sup>, V. Modamio<sup>b</sup>, J. Walker<sup>b</sup>, T. Beck<sup>a</sup>,

$^{131}\text{In}$ ;  $Z=49$ ,  $N=82$   
 A single valence proton hole in  $^{132}\text{Sn}$ .

M. Górska et al. / Physics Letters B 672 (2009) 313–316



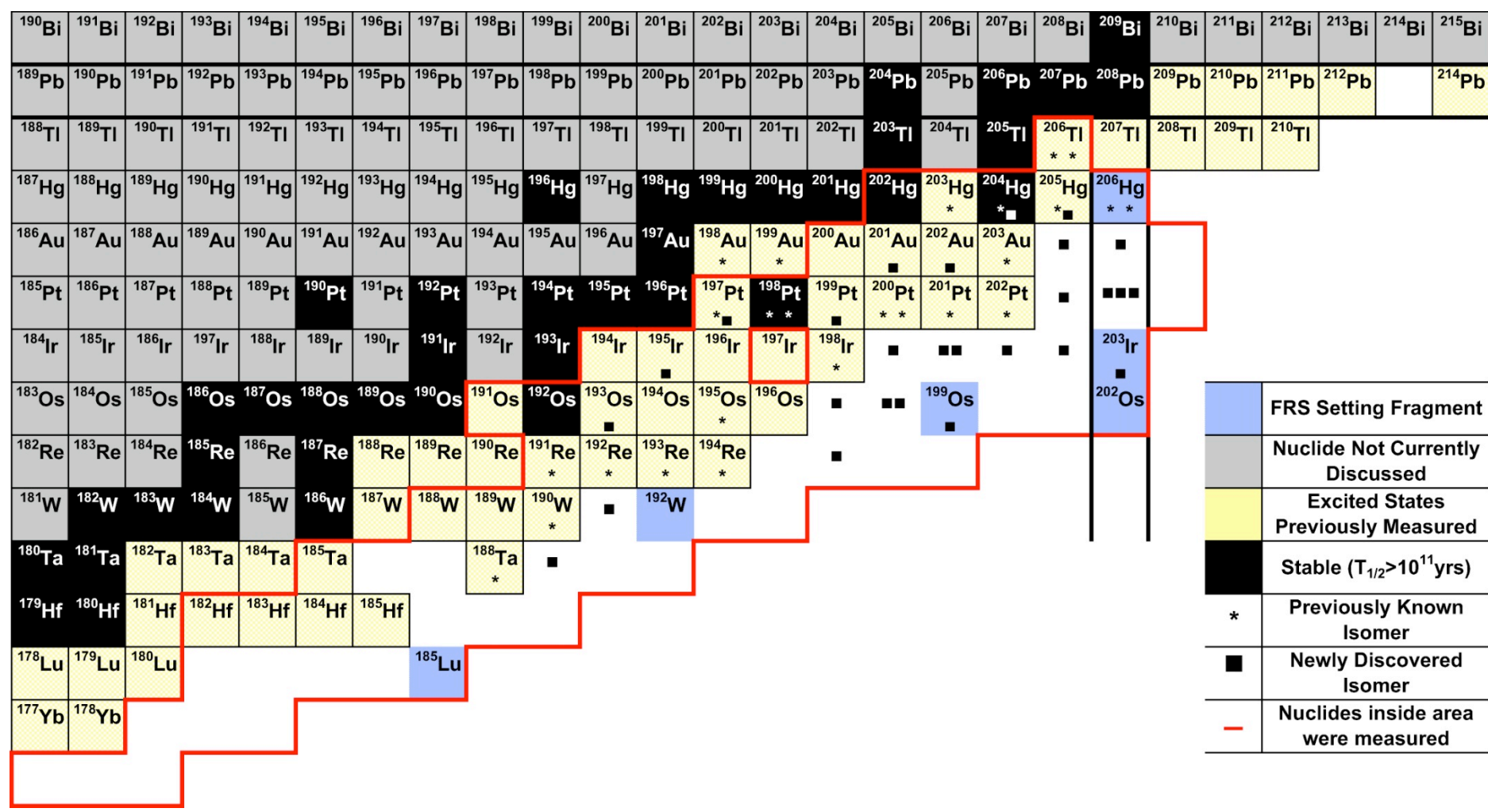
of the  $A/Z$  value for In isotopes obtained in the



Energy [keV]

$N \sim 126 ; Z \sim 82$

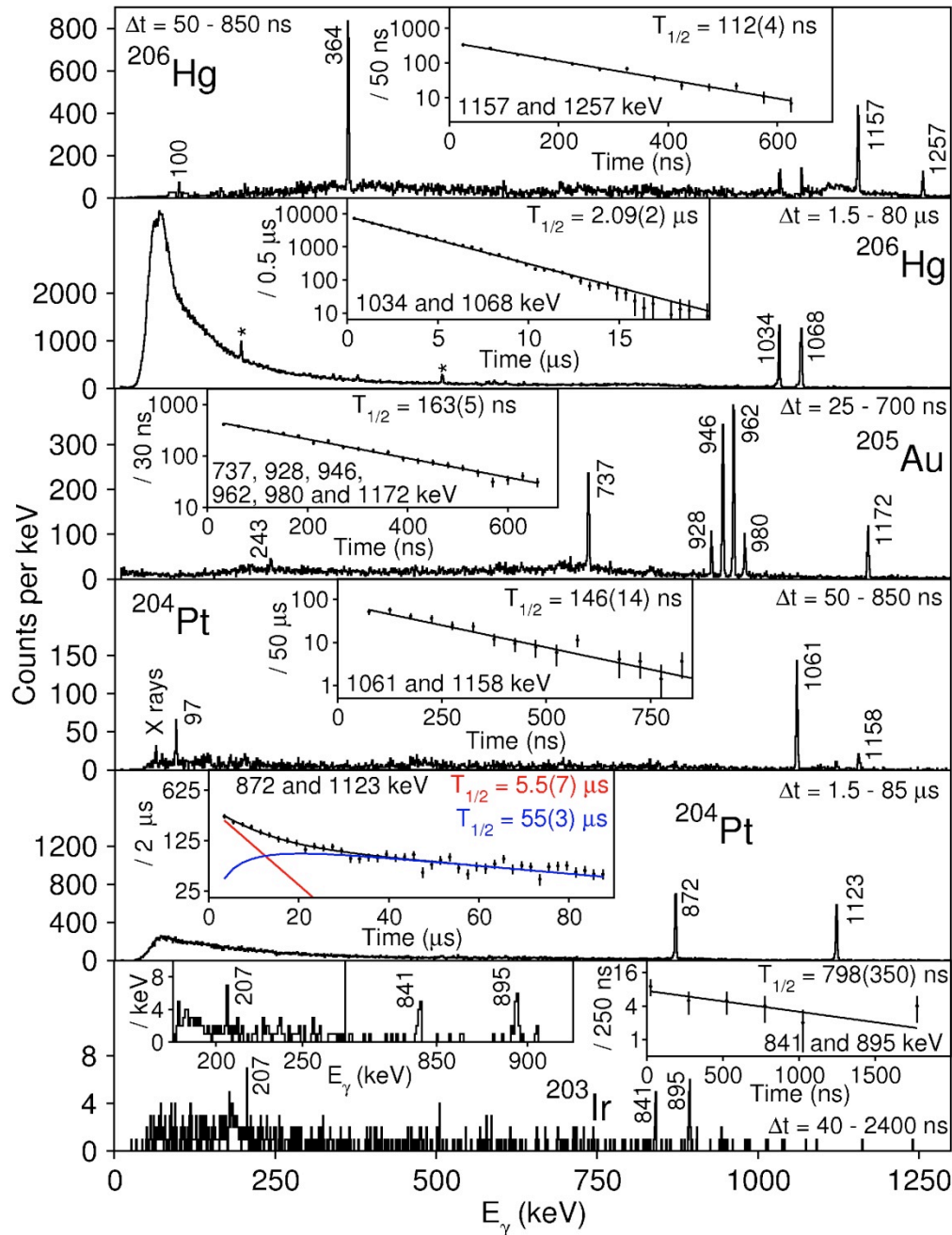
# Summary of the Passive Stopper $Z < 82$ , $N \leq 126$ Nuclei Experiment



	FRS Setting Fragment
	Nuclide Not Currently Discussed
	Excited States Previously Measured
	Stable ( $T_{1/2} > 10^{11}$ yrs)
*	Previously Known Isomer
■	Newly Discovered Isomer
—	Nuclides inside area were measured

A total of 5.3 days of beam time focusing the FRS on 6 different nuclides. Gamma-ray spectroscopy on 83 nuclides. 47 isomers (27 of which are newly discovered) measured in 37 nuclides,. This has provided the first nuclear structure information on 15 nuclides. 34 isomeric ratios measured.

# Isomer Gamma-ray Spectroscopy of $N = 126, Z < 82$ Nuclei



$Z=80, N=126$   
 $^{206}\text{Hg}$

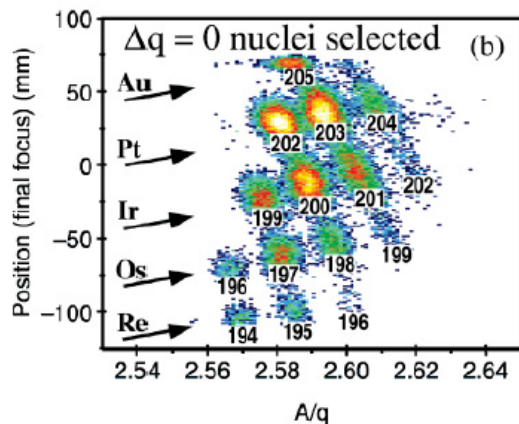
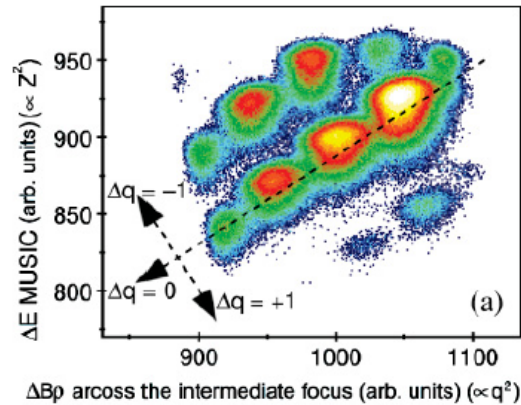
$Z=79,$   
 $N=126,$   
 $^{205}\text{Au}$

$Z=78, N=126$   
 $^{204}\text{Pt}$

$Z=77, N=126$   
 $^{203}\text{Ir}$

Single-particle behavior at  $N = 126$ : Isomeric decays in neutron-rich  $^{204}\text{Pt}$ 

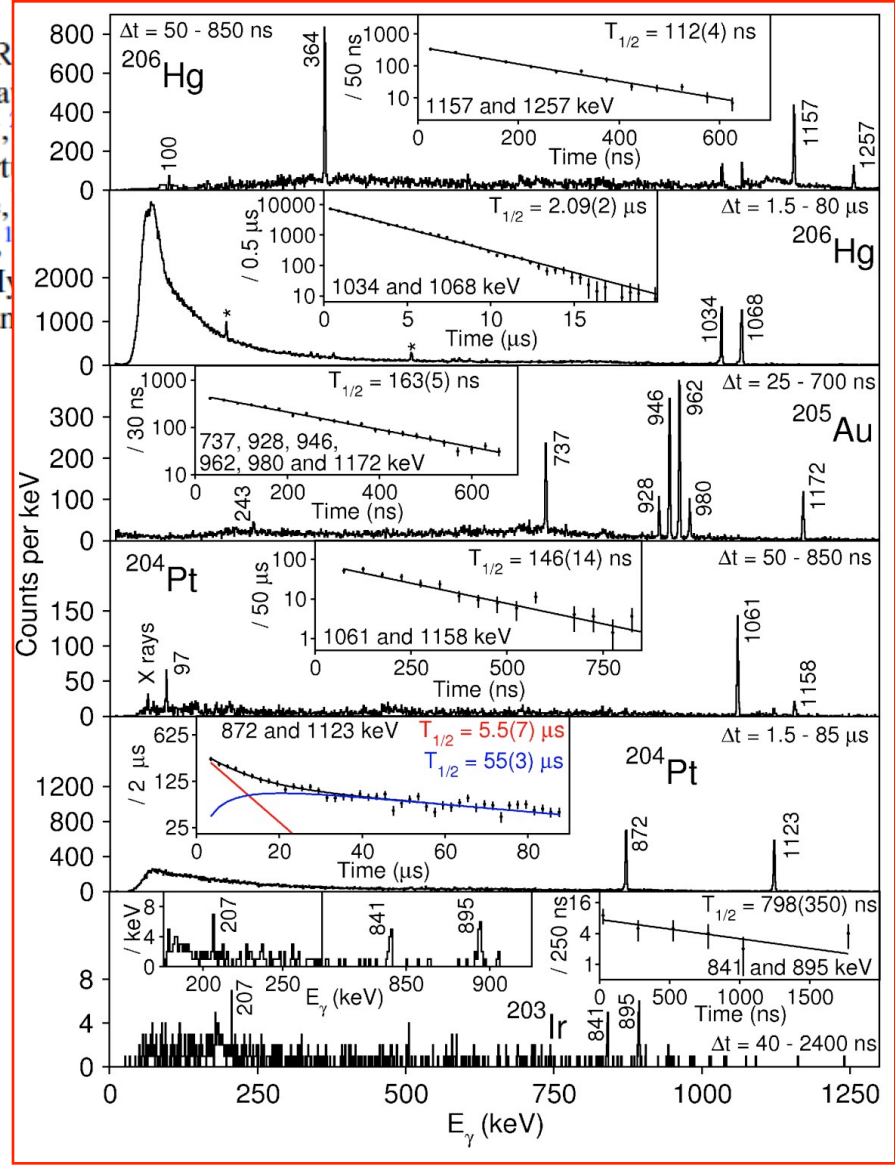
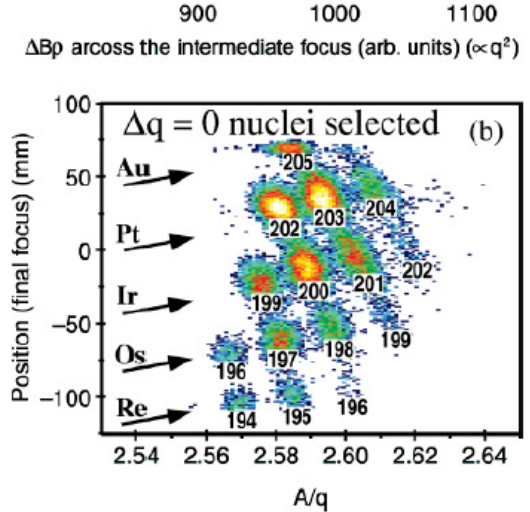
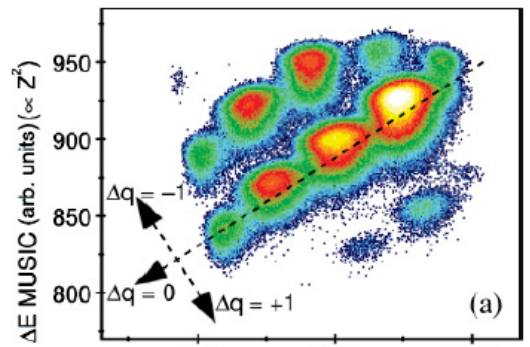
S. J. Steer,<sup>1,\*</sup> Zs. Podolyák,<sup>1</sup> S. Pietri,<sup>1</sup> M. Górska,<sup>2</sup> P. H. Regan,<sup>1</sup> D. Rudolph,<sup>3</sup> E. Werner-Malento,<sup>2</sup> A. B. Garnsworthy,<sup>1,4</sup> R. Hoischen,<sup>3</sup> J. Gerl,<sup>2</sup> H. J. Wollersheim,<sup>2</sup> K. H. Maier,<sup>5,6</sup> H. Grawe,<sup>2</sup> F. Becker,<sup>2</sup> P. Bednarczyk,<sup>2,6</sup> L. Cáceres,<sup>2,7</sup> P. Doornenbal,<sup>2,8</sup> H. Geissel,<sup>2</sup> J. Grębosz,<sup>2,6</sup> A. Kelic,<sup>2</sup> I. Kojouharov,<sup>2</sup> N. Kurz,<sup>2</sup> F. Montes,<sup>2</sup> W. Prokopowicz,<sup>2</sup> T. Saito,<sup>2</sup> H. Schaffner,<sup>2</sup> S. Tashenov,<sup>2</sup> A. Heinz,<sup>4</sup> M. Pfützner,<sup>9</sup> T. Kurtukian-Nieto,<sup>10</sup> G. Benzoni,<sup>11</sup> A. Jungclaus,<sup>7</sup> D. L. Balabanski,<sup>12,13</sup> C. Brandau,<sup>1</sup> B. A. Brown,<sup>1,14</sup> A. M. Bruce,<sup>15</sup> W. N. Catford,<sup>1</sup> I. J. Cullen,<sup>1</sup> Zs. Dombrádi,<sup>16</sup> M. E. Estevez,<sup>17</sup> W. Gelletly,<sup>1</sup> G. Ilie,<sup>8,18</sup> J. Jolie,<sup>8</sup> G. A. Jones,<sup>1</sup> M. Kmiecik,<sup>6</sup> F. G. Kondev,<sup>19</sup> R. Krücken,<sup>20</sup> S. Lalkowski,<sup>15,21</sup> Z. Liu,<sup>1</sup> A. Maj,<sup>6</sup> S. Myalski,<sup>6</sup> S. Schwertel,<sup>20</sup> T. Shizuma,<sup>1,22</sup> P. M. Walker,<sup>1</sup> and O. Wieland<sup>11</sup>





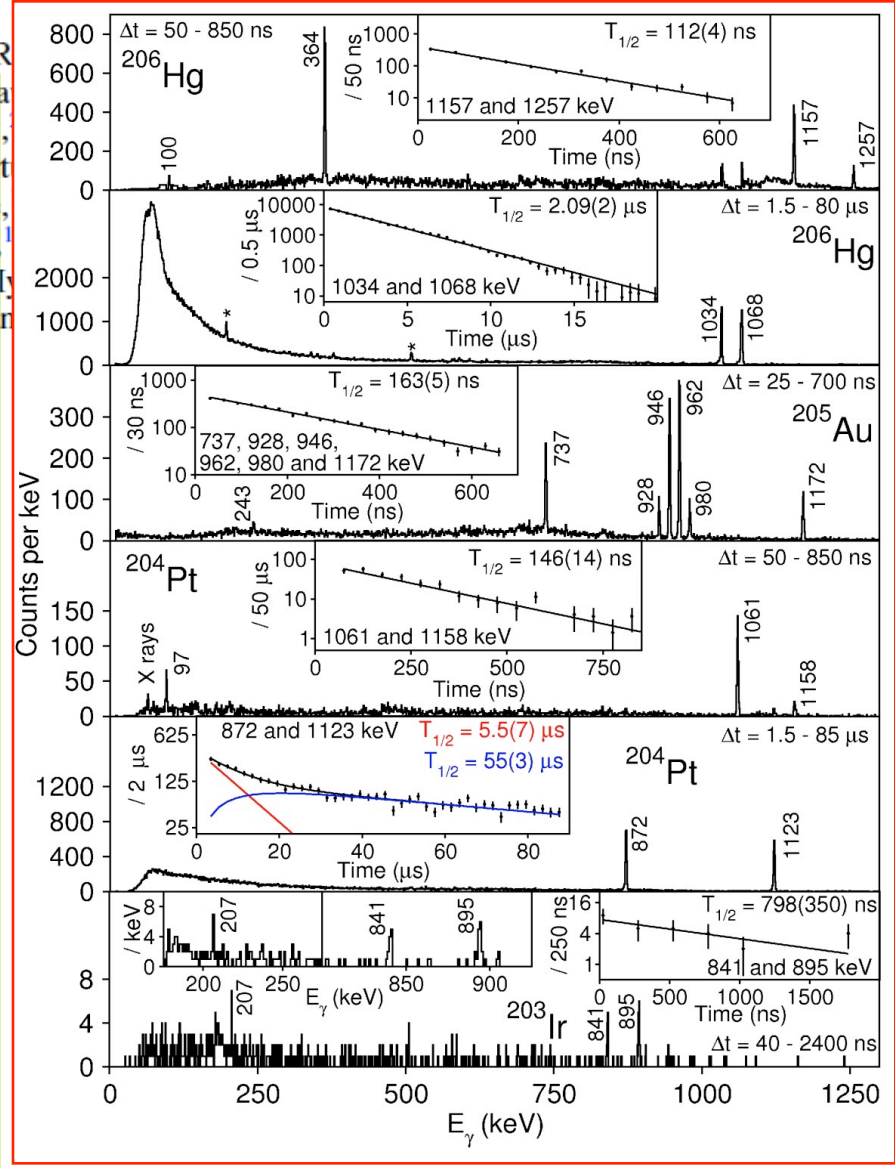
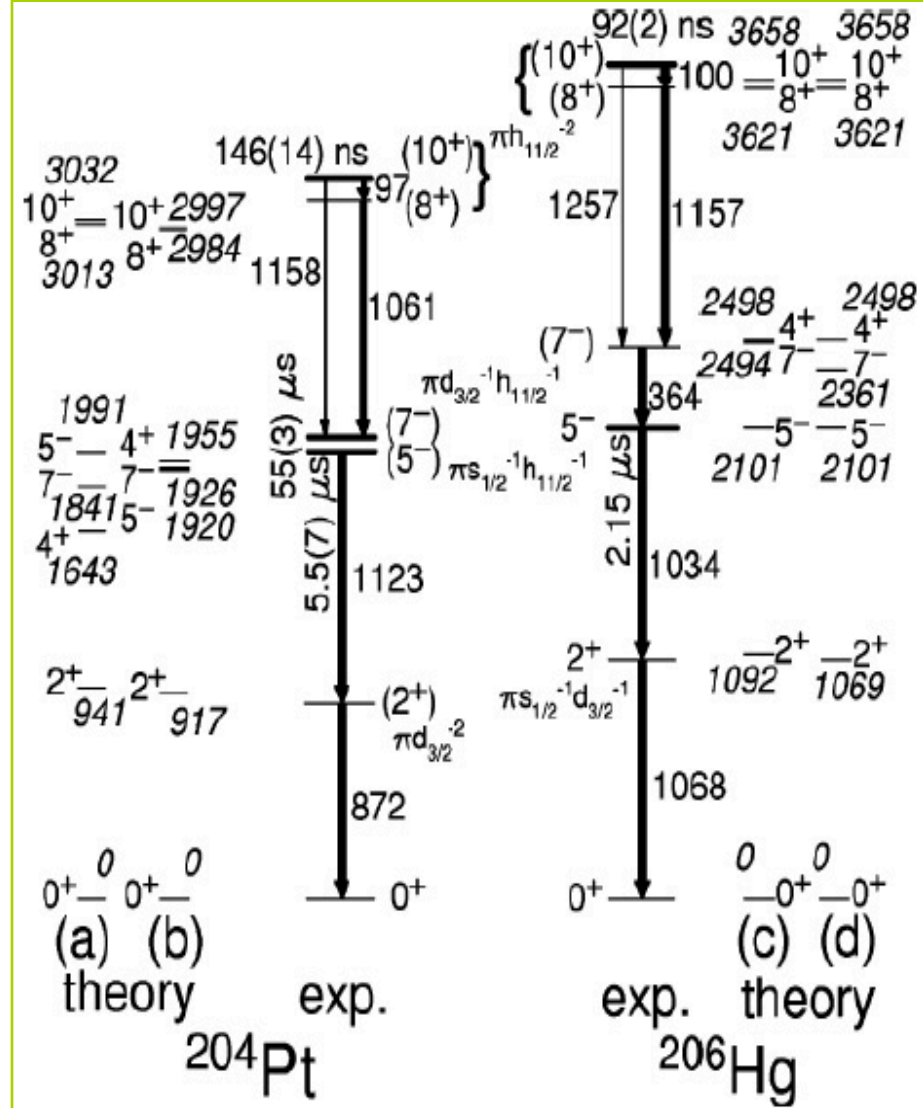
# Single-particle behavior at $N = 126$ : Isomeric decays in neutron-rich $^{204}\text{Pt}$

S. J. Steer,<sup>1,\*</sup> Zs. Podolyák,<sup>1</sup> S. Pietri,<sup>1</sup> M. Górska,<sup>2</sup> P. H. Regan,<sup>1</sup> D. R. R. Hoischen,<sup>3</sup> J. Gerl,<sup>2</sup> H. J. Wollersheim,<sup>2</sup> K. H. Maier,<sup>5,6</sup> H. Gra P. Doornenbal,<sup>2,8</sup> H. Geissel,<sup>2</sup> J. Grębosz,<sup>2,6</sup> A. Kelic,<sup>2</sup> I. Kojouharov, H. Schaffner,<sup>2</sup> S. Tashenov,<sup>2</sup> A. Heinz,<sup>4</sup> M. Pfützner,<sup>9</sup> T. Kurt D. L. Balabanski,<sup>12,13</sup> C. Brandau,<sup>1</sup> B. A. Brown,<sup>1,14</sup> A. M. Bruce, M. E. Estevez,<sup>17</sup> W. Gelletly,<sup>1</sup> G. Ilie,<sup>8,18</sup> J. Jolie,<sup>8</sup> G. A. Jones, S. Lalkovski,<sup>15,21</sup> Z. Liu,<sup>1</sup> A. Maj,<sup>6</sup> S. M. T. Shizuma,<sup>1,22</sup> P. M. Walker,<sup>1</sup> and



Single-particle behavior at  $N = 126$ : Isomeric decays in neutron-rich  $^{204}\text{Pt}$

S. J. Steer,<sup>1,\*</sup> Zs. Podolyák,<sup>1</sup> S. Pietri,<sup>1</sup> M. Górska,<sup>2</sup> P. H. Regan,<sup>1</sup> D. R.

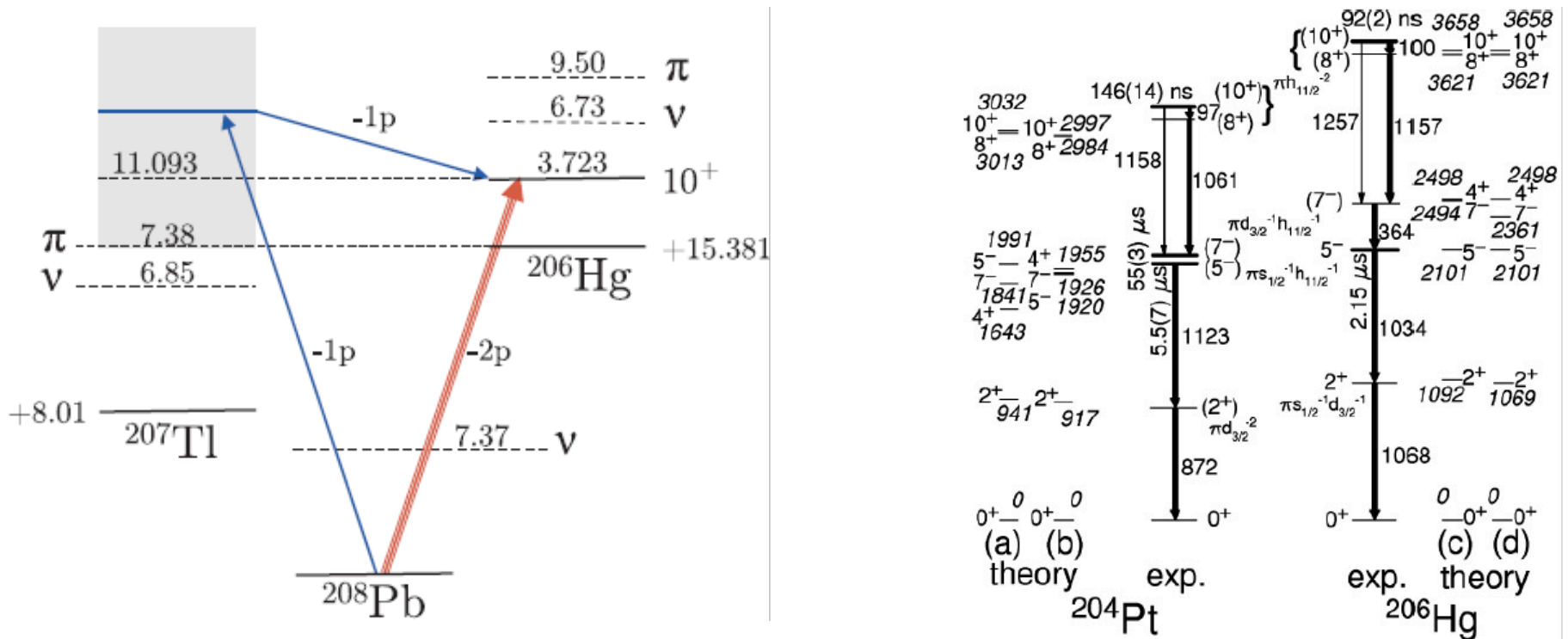


## Population of low-seniority isomeric states of $^{206}\text{Hg}$ by two-proton knockout reactions at relativistic energies

E. C. Simpson, J. A. Tostevin, Zs. Podolyák, P. H. Regan, and S. J. Steer

*Department of Physics, Faculty of Engineering and Physical Sciences, University of Surrey, Guildford, Surrey GU2 7XH, United Kingdom*

(Received 5 October 2009; published 8 December 2009)



Isomer ratios also used to improve/test knockout reaction theory...  
 isomeric states tend to be rather 'pure' shell model configurations.

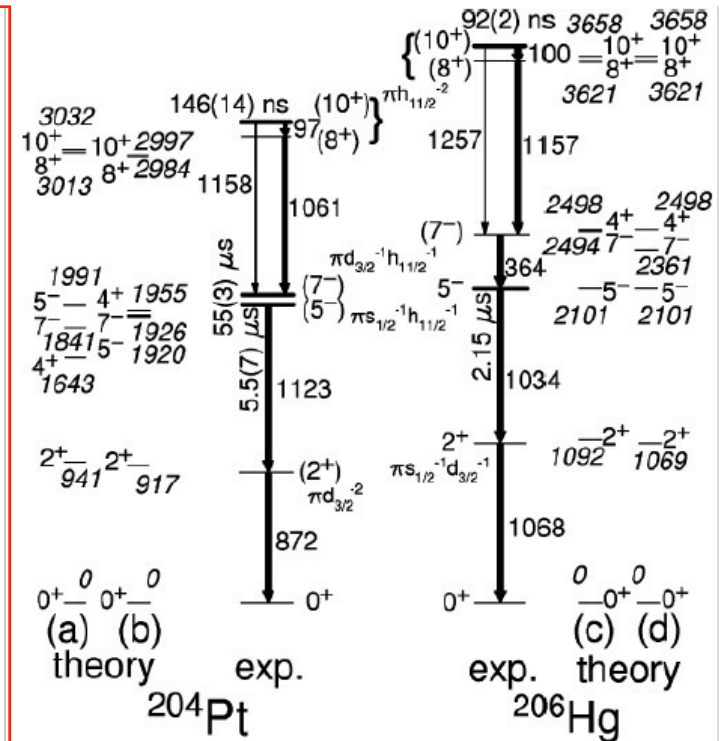
## Population of low-seniority isomeric states of $^{206}\text{Hg}$ by two-proton knockout reactions at relativistic energies

E. C. Simpson, J. A. Tostevin, Zs. Podolyák, P. H. Regan, and S. J. Steer

*Department of Physics, Faculty of Engineering and Physical Sciences, University of Surrey, Guildford, Surrey GU2 7XH, United Kingdom*

(Received 5 October 2009; published 8 December 2009)

	State $I^\pi$	Isomeric ratio (%)
Experiment	$5^-$	$21.9^{+1.2}_{-2.9}$
	$(10^+)^a$	$3.1^{+1.0}_{-1.2}$
	$(10^+)^b$	$2.2^{+0.7}_{-0.8}$
Theory	$5^-$ (direct only)	4.8
	$5^-$ (includes $7^-$ , $8^+$ , and $10^+$ )	18.8
	$10^+$	4.7
	$5^-$	32.5 [14]

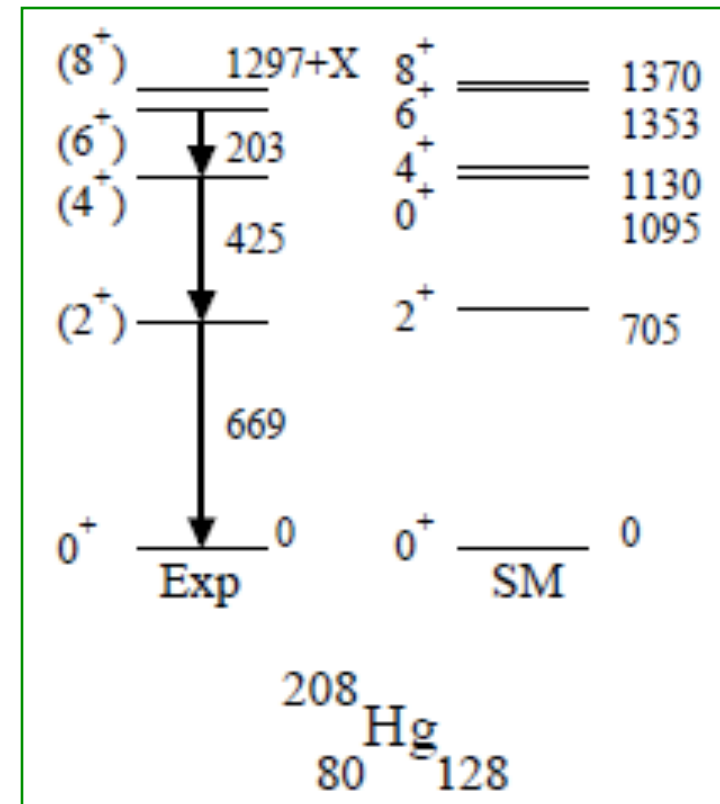
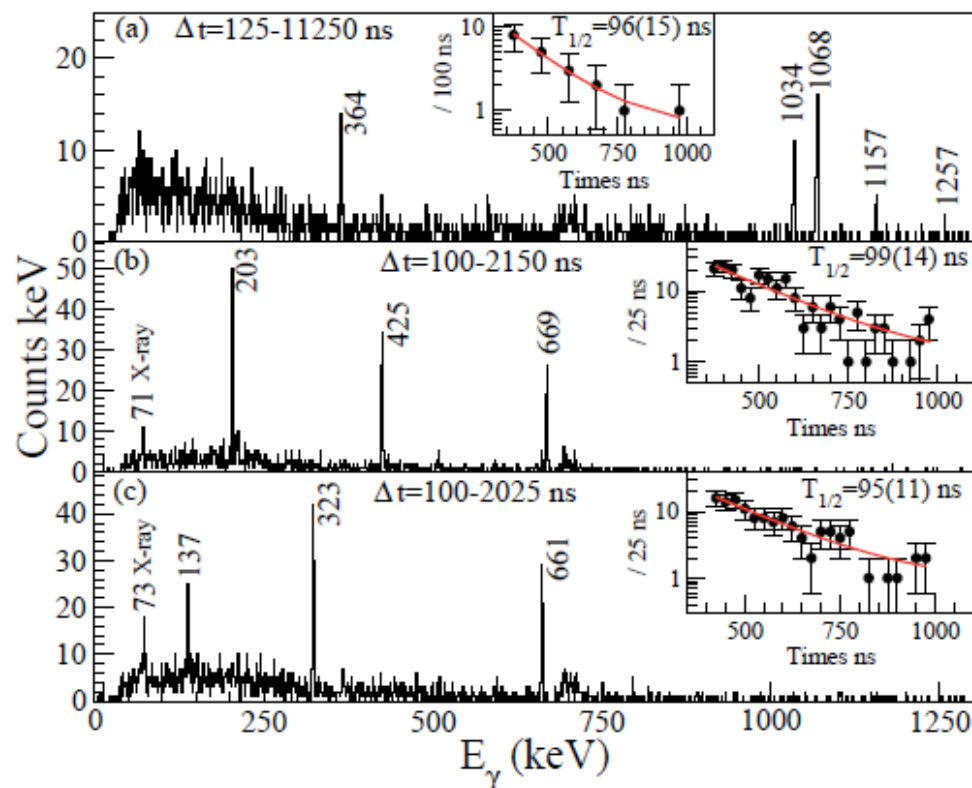


Isomer ratios also used to improve/test knockout reaction theory...  
isomeric states tend to be rather 'pure' shell model configurations.

PHYSICAL REVIEW C 80, 061302(R) (2009)

Nuclear structure “southeast” of  $^{208}\text{Pb}$ : Isomeric states in  $^{208}\text{Hg}$  and  $^{209}\text{Tl}$ 

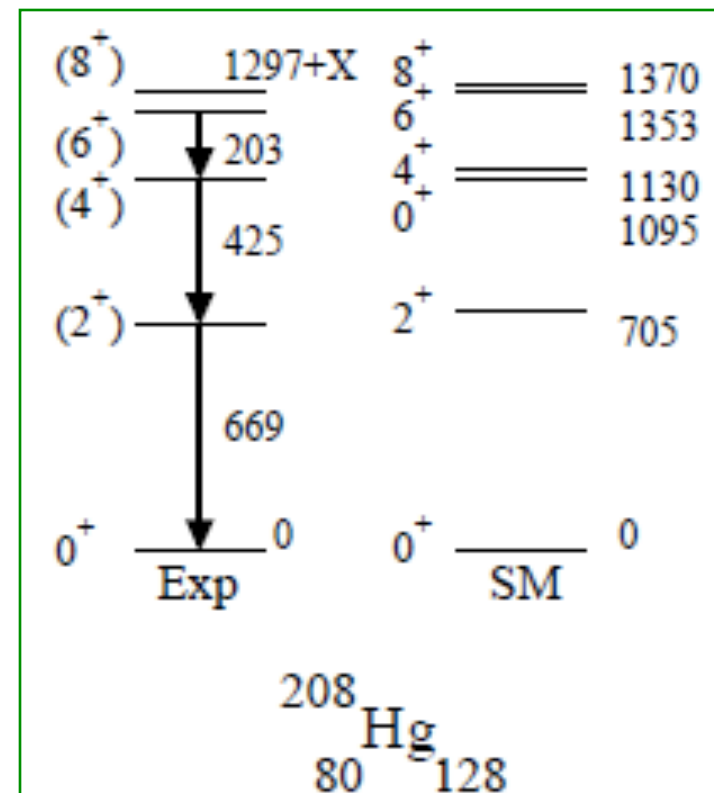
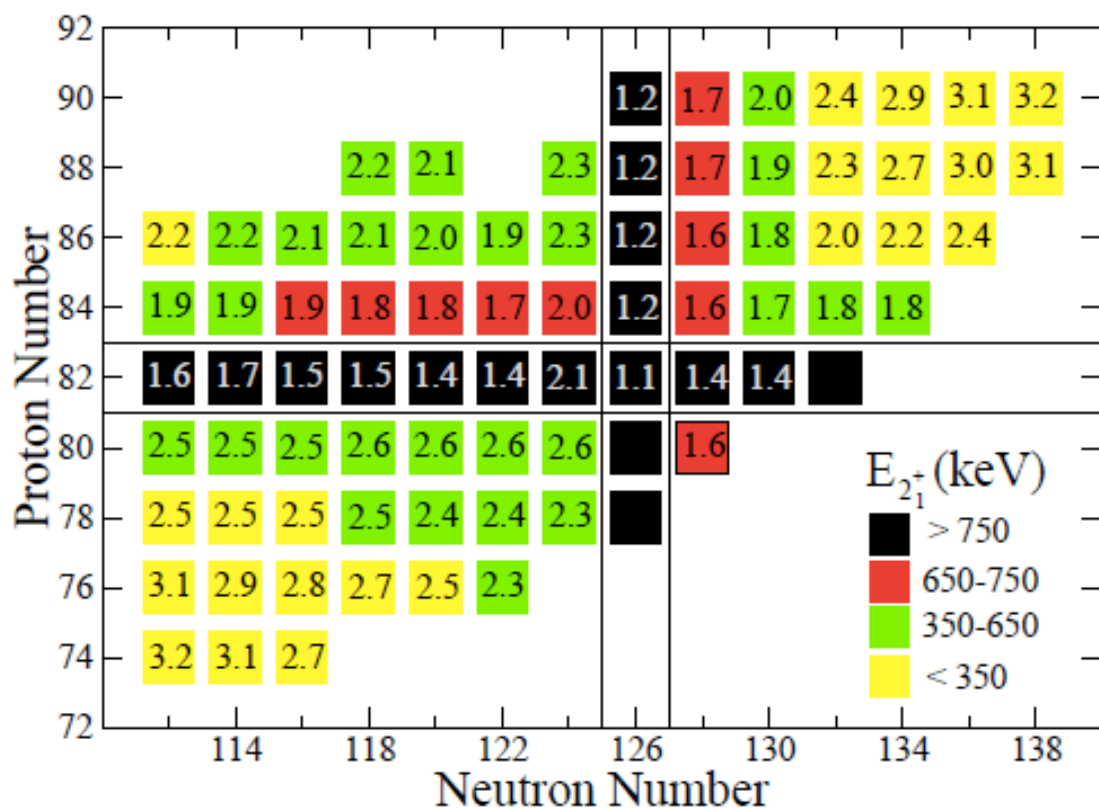
N. Al-Dahan,<sup>1,2</sup> Zs. Podolyák,<sup>1,\*</sup> P. H. Regan,<sup>1</sup> M. Górska,<sup>3</sup> H. Grawe,<sup>3</sup> K. H. Maier,<sup>4</sup> J. Gerl,<sup>3</sup> S. B. Pietri,<sup>3</sup> H. J. Wollersheim,<sup>3</sup>  
 N. Alkhomashi,<sup>1</sup> A. Y. Deo,<sup>1</sup> A. M. Denis Bacelar,<sup>5</sup> G. Farrelly,<sup>1</sup> S. J. Steer,<sup>1</sup> A. M. Bruce,<sup>5</sup> P. Boutachkov,<sup>3</sup>  
 C. Domingo-Pardo,<sup>3</sup> A. Algora,<sup>6,7</sup> J. Benlliure,<sup>8</sup> A. Bracco,<sup>9</sup> E. Calore,<sup>10</sup> E. Casarejos,<sup>8</sup> I. J. Cullen,<sup>1</sup> P. Detistov,<sup>11</sup>  
 Zs. Dombrádi,<sup>7</sup> M. Doncel,<sup>12</sup> F. Farinon,<sup>3</sup> W. Gelletly,<sup>1</sup> H. Geissel,<sup>3</sup> N. Goel,<sup>3</sup> J. Grebosz,<sup>4</sup> R. Hoischen,<sup>3,13</sup> I. Kojouharov,<sup>3</sup>  
 N. Kurz,<sup>3</sup> S. Lalkovski,<sup>5</sup> S. Leoni,<sup>14</sup> F. Molina,<sup>6</sup> D. Montanari,<sup>9</sup> A. I. Morales,<sup>8</sup> A. Musumarra,<sup>3,15</sup> D. R. Napoli,<sup>10</sup> R. Nicolini,<sup>9</sup>  
 C. Nociforo,<sup>3</sup> A. Prochazka,<sup>3</sup> W. Prokopowicz,<sup>3</sup> B. Rubio,<sup>6</sup> D. Rudolph,<sup>3,13</sup> H. Schaffner,<sup>3</sup> P. Strmen,<sup>16</sup> I. Szarka,<sup>16</sup> T. Swan,<sup>1</sup>  
 J. S. Thomas,<sup>1</sup> J. J. Valiente-Dobón,<sup>10</sup> S. Verma,<sup>8</sup> P. M. Walker,<sup>1</sup> and H. Weick<sup>3</sup>



PHYSICAL REVIEW C 80, 061302(R) (2009)

Nuclear structure “southeast” of  $^{208}\text{Pb}$ : Isomeric states in  $^{208}\text{Hg}$  and  $^{209}\text{Tl}$ 

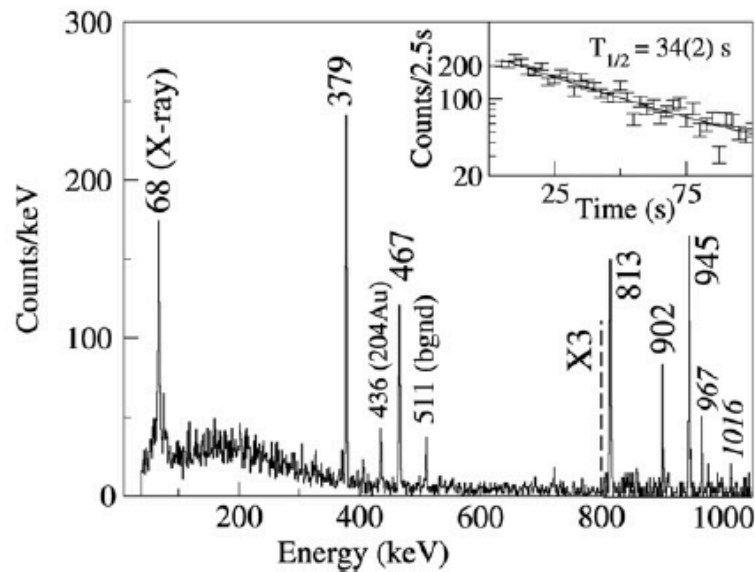
N. Al-Dahan,<sup>1,2</sup> Zs. Podolyák,<sup>1,\*</sup> P. H. Regan,<sup>1</sup> M. Górska,<sup>3</sup> H. Grawe,<sup>3</sup> K. H. Maier,<sup>4</sup> J. Gerl,<sup>3</sup> S. B. Pietri,<sup>3</sup> H. J. Wollersheim,<sup>3</sup>  
 N. Alkhomashi,<sup>1</sup> A. Y. Deo,<sup>1</sup> A. M. Denis Bacelar,<sup>5</sup> G. Farrelly,<sup>1</sup> S. J. Steer,<sup>1</sup> A. M. Bruce,<sup>5</sup> P. Boutachkov,<sup>3</sup>  
 C. Domingo-Pardo,<sup>3</sup> A. Algora,<sup>6,7</sup> J. Benlliure,<sup>8</sup> A. Bracco,<sup>9</sup> E. Calore,<sup>10</sup> E. Casarejos,<sup>8</sup> I. J. Cullen,<sup>1</sup> P. Detistov,<sup>11</sup>  
 Zs. Dombrádi,<sup>7</sup> M. Doncel,<sup>12</sup> F. Farinon,<sup>3</sup> W. Gelletly,<sup>1</sup> H. Geissel,<sup>3</sup> N. Goel,<sup>3</sup> J. Grebosz,<sup>4</sup> R. Hoischen,<sup>3,13</sup> I. Kojouharov,<sup>3</sup>  
 N. Kurz,<sup>3</sup> S. Lalkovski,<sup>5</sup> S. Leoni,<sup>14</sup> F. Molina,<sup>6</sup> D. Montanari,<sup>9</sup> A. I. Morales,<sup>8</sup> A. Musumarra,<sup>3,15</sup> D. R. Napoli,<sup>10</sup> R. Nicolini,<sup>9</sup>  
 C. Nociforo,<sup>3</sup> A. Prochazka,<sup>3</sup> W. Prokopowicz,<sup>3</sup> B. Rubio,<sup>6</sup> D. Rudolph,<sup>3,13</sup> H. Schaffner,<sup>3</sup> P. Strmen,<sup>16</sup> I. Szarka,<sup>16</sup> T. Swan,<sup>1</sup>  
 J. S. Thomas,<sup>1</sup> J. J. Valiente-Dobón,<sup>10</sup> S. Verma,<sup>8</sup> P. M. Walker,<sup>1</sup> and H. Weick<sup>3</sup>





## Proton–hole excitation in the closed shell nucleus $^{205}\text{Au}$

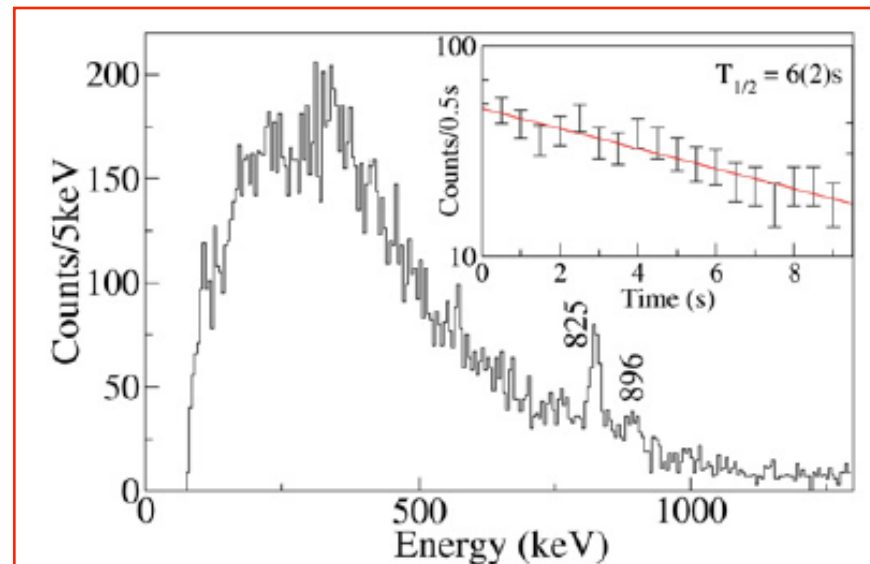
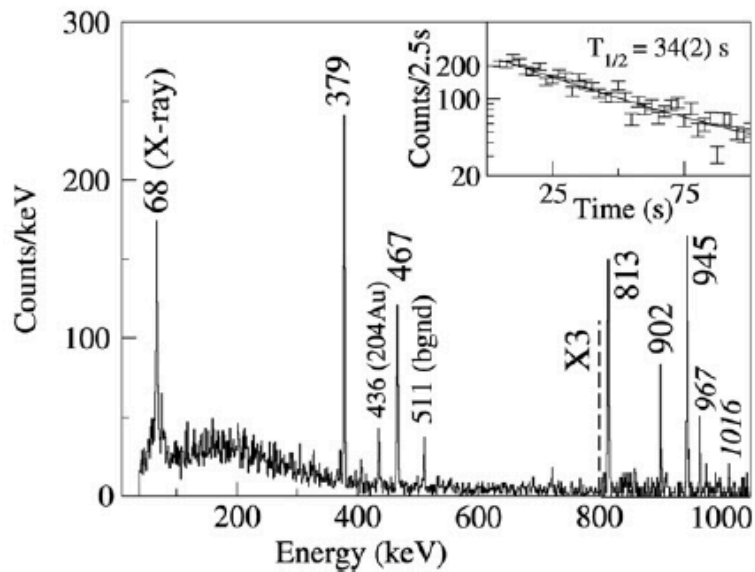
Zs. Podolyák<sup>a,\*</sup>, G.F. Farrelly<sup>a</sup>, P.H. Regan<sup>a</sup>, A.B. Garnsworthy<sup>a</sup>, S.J. Steer<sup>a</sup>, M. Górska<sup>b</sup>, J. Benlliure<sup>c</sup>, E. Casarejos<sup>c</sup>, S. Pietri<sup>a</sup>, J. Gerl<sup>b</sup>, H.J. Wollersheim<sup>b</sup>, R. Kumar<sup>d</sup>, F. Molina<sup>e</sup>, A. Algora<sup>e,f</sup>, N. Alkhomashi<sup>a</sup>, G. Benzoni<sup>g</sup>, A. Blazhev<sup>h</sup>, P. Boutachkov<sup>b</sup>, A.M. Bruce<sup>i</sup>, L. Caceres<sup>b,j</sup>, I.J. Cullen<sup>a</sup>, A.M. Denis Bacelar<sup>i</sup>, P. Doornenbal<sup>b</sup>, M.E. Estevez<sup>c</sup>, Y. Fujita<sup>k</sup>, W. Gelletly<sup>a</sup>, H. Geissel<sup>b</sup>, H. Grawe<sup>b</sup>, J. Grębosz<sup>b,l</sup>, R. Hoischen<sup>m,b</sup>, I. Kojouharov<sup>b</sup>, S. Lalkovski<sup>i</sup>, Z. Liu<sup>a</sup>, K.H. Maier<sup>n,1</sup>, C. Mihai<sup>o</sup>, D. Mücher<sup>h</sup>, B. Rubio<sup>e</sup>, H. Schaffner<sup>b</sup>, A. Tamii<sup>k</sup>, S. Tashenov<sup>b</sup>, J.J. Valiente-Dobón<sup>p</sup>, P.M. Walker<sup>a</sup>, P.J. Woods<sup>q</sup>





## Proton–hole excitation in the closed shell nucleus $^{205}\text{Au}$

Zs. Podolyák<sup>a,\*</sup>, G.F. Farrelly<sup>a</sup>, P.H. Regan<sup>a</sup>, A.B. Garnsworthy<sup>a</sup>, S.J. Steer<sup>a</sup>, M. Górska<sup>b</sup>, J. Benlliure<sup>c</sup>, E. Casarejos<sup>c</sup>, S. Pietri<sup>a</sup>, J. Gerl<sup>b</sup>, H.J. Wollersheim<sup>b</sup>, R. Kumar<sup>d</sup>, F. Molina<sup>e</sup>, A. Algora<sup>e,f</sup>, N. Alkhomashi<sup>a</sup>, G. Benzoni<sup>g</sup>, A. Blazhev<sup>h</sup>, P. Boutachkov<sup>b</sup>, A.M. Bruce<sup>i</sup>, L. Caceres<sup>b,j</sup>, I.J. Cullen<sup>a</sup>, A.M. Denis Bacelar<sup>i</sup>, P. Doornenbal<sup>b</sup>, M.E. Estevez<sup>c</sup>, Y. Fujita<sup>k</sup>, W. Gelletly<sup>a</sup>, H. Geissel<sup>b</sup>, H. Grawe<sup>b</sup>, J. Grębosz<sup>b,l</sup>, R. Hoischen<sup>m,b</sup>, I. Kojouharov<sup>b</sup>, S. Lalkovski<sup>i</sup>, Z. Liu<sup>a</sup>, K.H. Maier<sup>n,1</sup>, C. Mihai<sup>o</sup>, D. Mücher<sup>h</sup>, B. Rubio<sup>e</sup>, H. Schaffner<sup>b</sup>, A. Tamii<sup>k</sup>, S. Tashenov<sup>b</sup>, J.J. Valiente-Dobón<sup>p</sup>, P.M. Walker<sup>a</sup>, P.J. Woods<sup>q</sup>

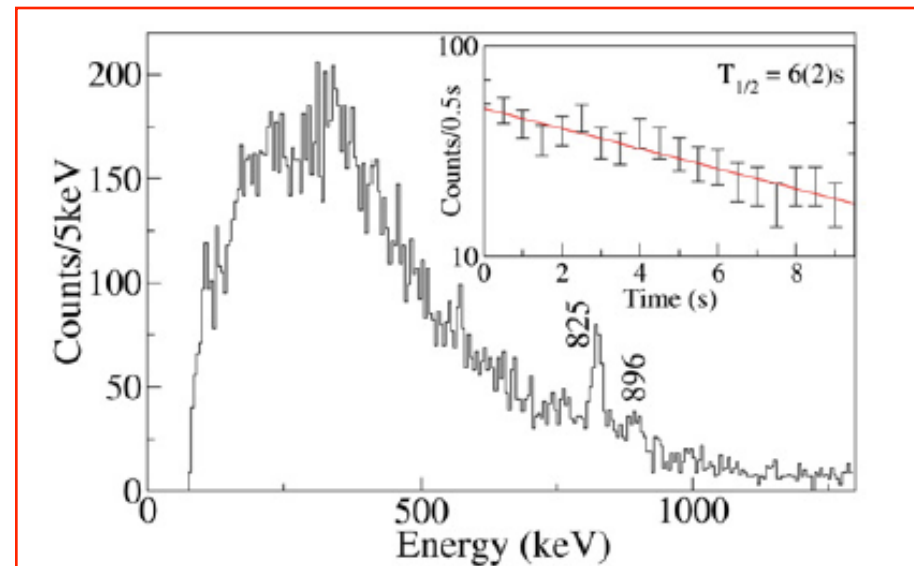
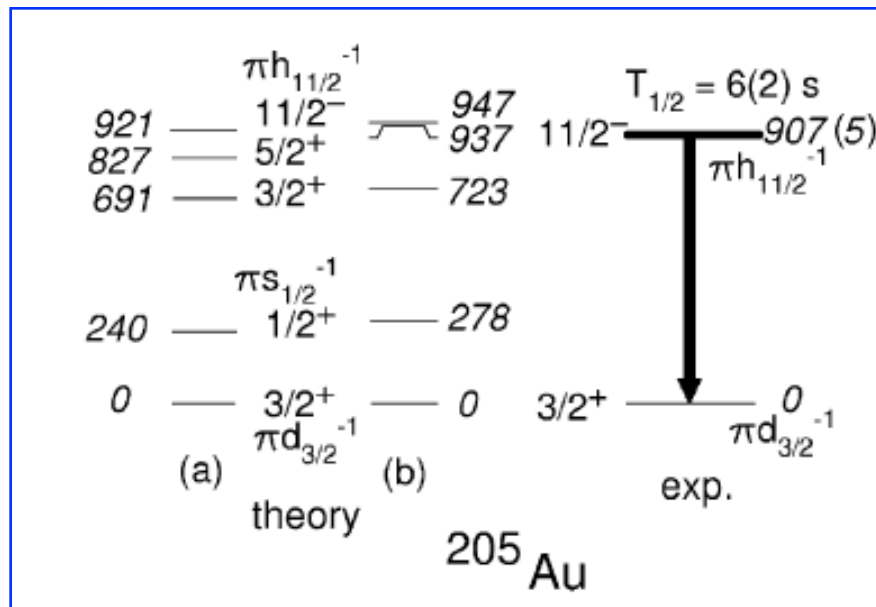




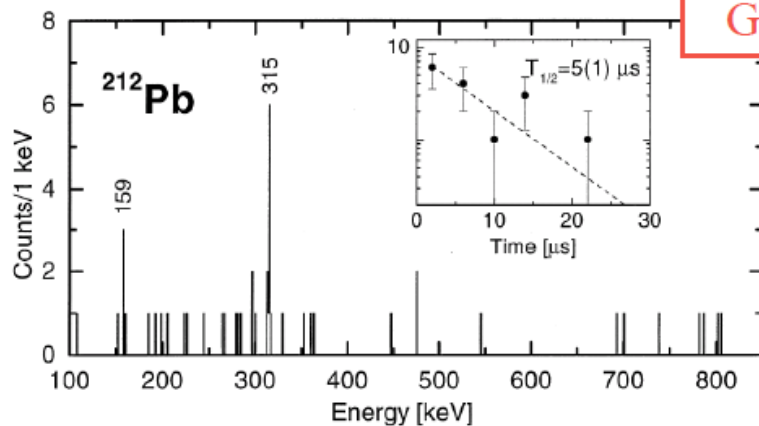
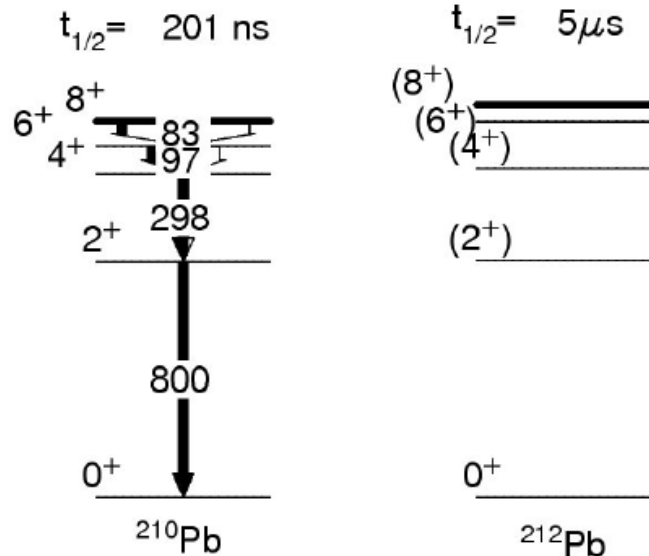


## Proton-hole excitation in the closed shell nucleus $^{205}\text{Au}$

Zs. Podolyák<sup>a,\*</sup>, G.F. Farrelly<sup>a</sup>, P.H. Regan<sup>a</sup>, A.B. Garnsworthy<sup>a</sup>, S.J. Steer<sup>a</sup>, M. Górska<sup>b</sup>, J. Benlliure<sup>c</sup>, E. Casarejos<sup>c</sup>, S. Pietri<sup>a</sup>, J. Gerl<sup>b</sup>, H.J. Wollersheim<sup>b</sup>, R. Kumar<sup>d</sup>, F. Molina<sup>e</sup>, A. Algora<sup>e,f</sup>, N. Alkhomashi<sup>a</sup>, G. Benzoni<sup>g</sup>, A. Blazhev<sup>h</sup>, P. Boutachkov<sup>b</sup>, A.M. Bruce<sup>i</sup>, L. Caceres<sup>b,j</sup>, I.J. Cullen<sup>a</sup>, A.M. Denis Bacelar<sup>i</sup>, P. Doornenbal<sup>b</sup>, M.E. Estevez<sup>c</sup>, Y. Fujita<sup>k</sup>, W. Gelletly<sup>a</sup>, H. Geissel<sup>b</sup>, H. Grawe<sup>b</sup>, J. Grębosz<sup>b,l</sup>, R. Hoischen<sup>m,b</sup>, I. Kojouharov<sup>b</sup>, S. Lalkovski<sup>i</sup>, Z. Liu<sup>a</sup>, K.H. Maier<sup>n,1</sup>, C. Mihai<sup>o</sup>, D. Mücher<sup>h</sup>, B. Rubio<sup>e</sup>, H. Schaffner<sup>b</sup>, A. Tamii<sup>k</sup>, S. Tashenov<sup>b</sup>, J.J. Valiente-Dobón<sup>p</sup>, P.M. Walker<sup>a</sup>, P.J. Woods<sup>q</sup>



# The experimental challenges



- $5 \times 10^6$  pps
- 2 HPGe detectors ( $\text{Eff}_\gamma = 1\%$ )
- 350 ions implanted

M. Pfutzner, PLB 444 (1998) 32

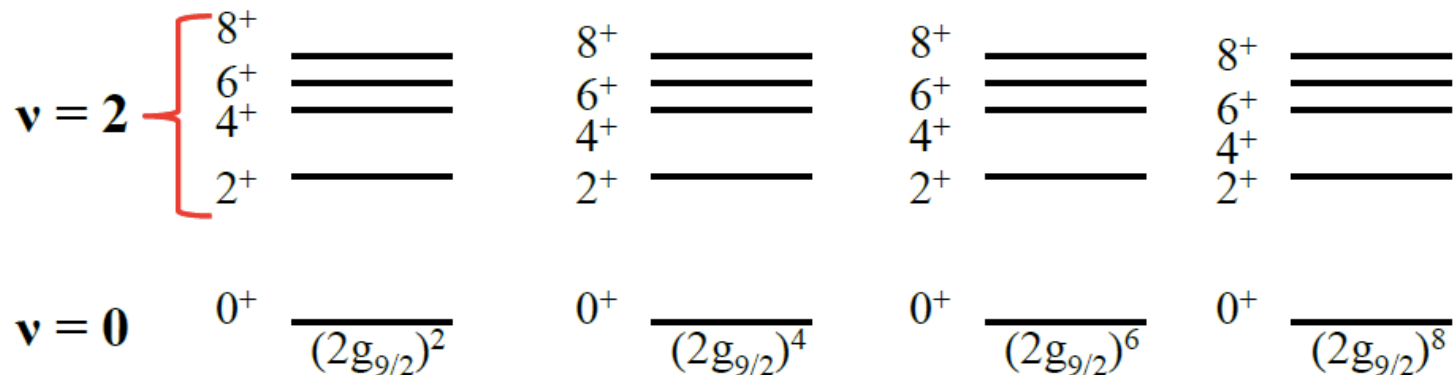
	$COFRA(mb)$	Ions/hour
$^{212}\text{Pb}$	$9.05 \times 10^{-4}$	$41.60 \times 10^3$
$^{214}\text{Pb}$	$1.84 \times 10^{-4}$	$9.30 \times 10^3$
$^{216}\text{Pb}$	$3.01 \times 10^{-5}$	$1.30 \times 10^3$
$^{218}\text{Pb}$	$3.69 \times 10^{-6}$	$1.80 \times 10^2$
$^{220}\text{Pb}$	$3.17 \times 10^{-7}$	15.0

Difficult region to explore:  
only fragmentation possible,  
primary beam charge states!

# The seniority scheme

Nucleons in a valence  $j^n$  configuration behave according to a seniority scheme: the states can be labelled by their seniority  $\nu$

## SENIORITY SCHEME

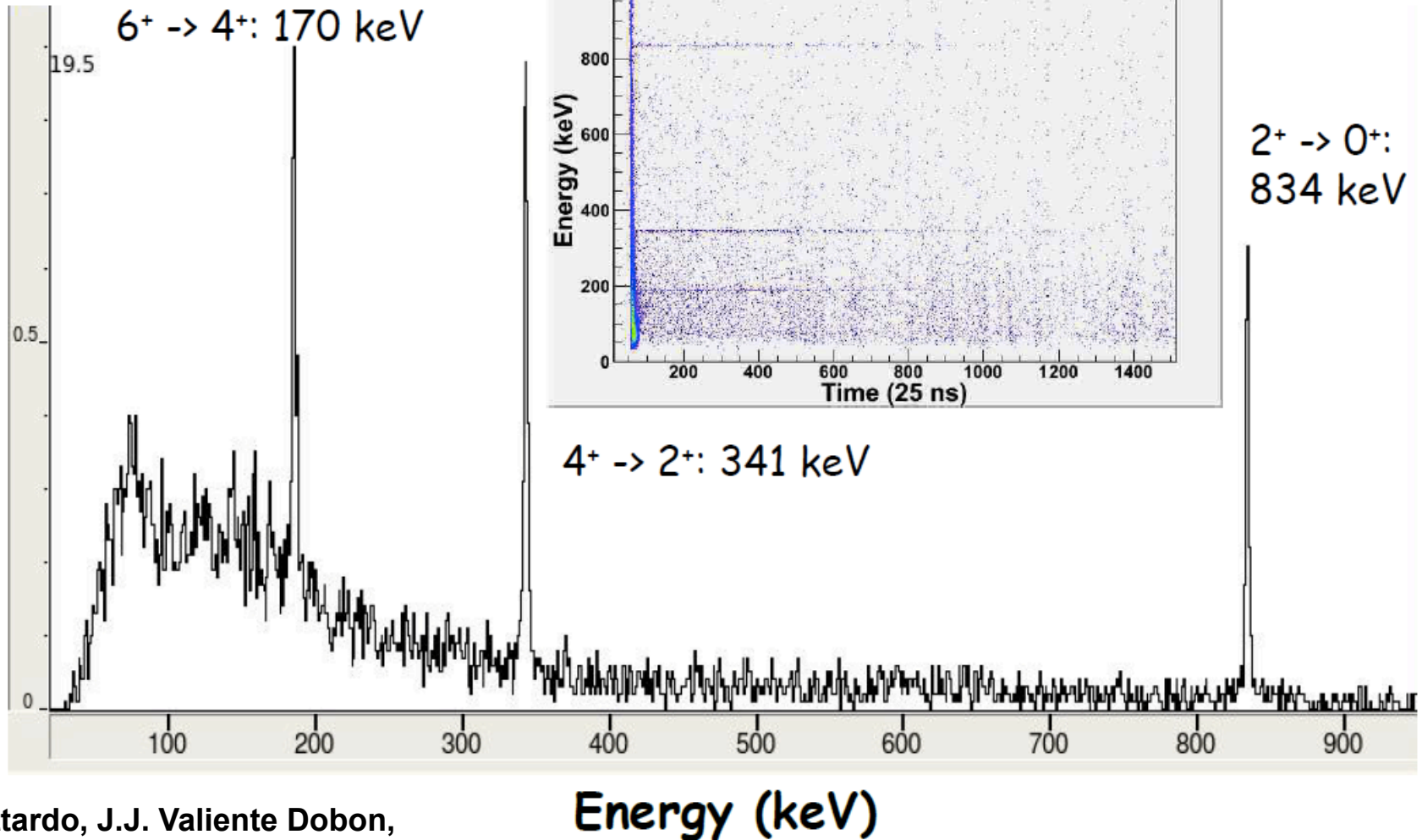


For even-even nuclei, the  $0^+$  ground state has seniority  $\nu = 0$ , while the  $2^+$ ,  $4^+$ ,  $6^+$ ,  $8^+$  states have  $\nu = 2$

In a pure seniority scheme, the relative level energies do not depend on the number of particles in the shell  $j$

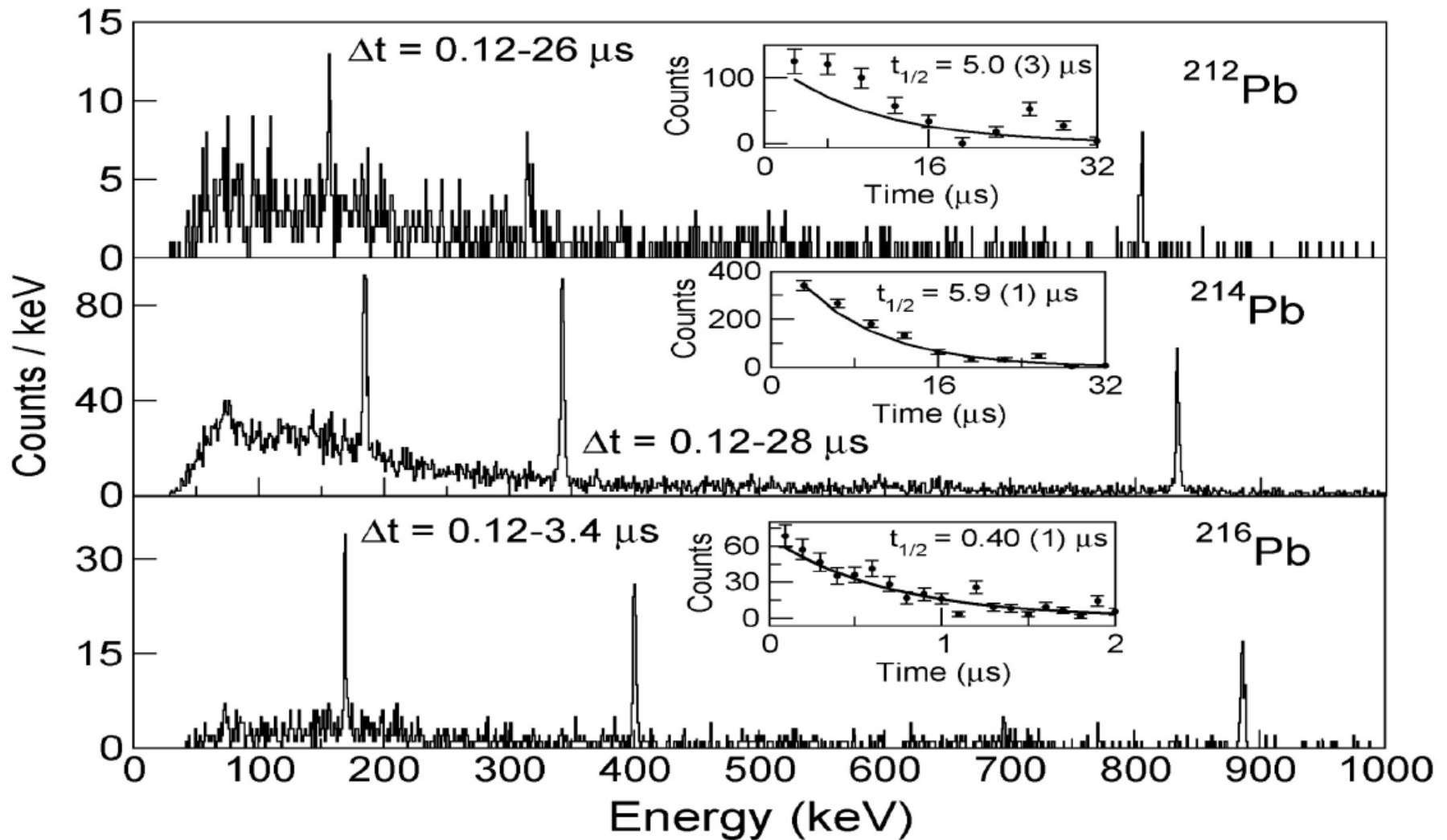
# $^{214}\text{Pb}$ : $8^+$ isomer

$$T_{1/2} = 5.9 (1) \mu\text{s}$$



- A. Gottardo, J.J. Valiente Dobon,
- B. G. Benzoni et al., for RISING

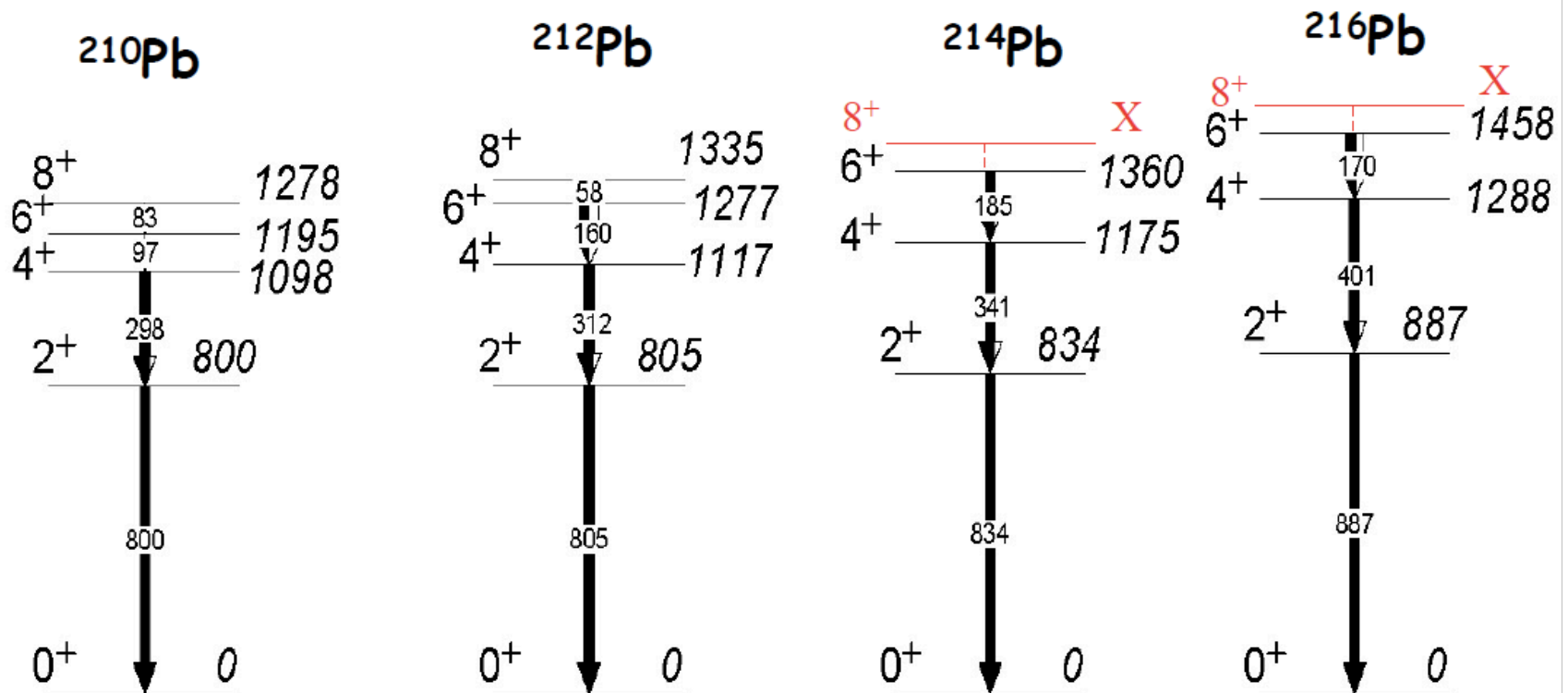
# 212,214,216Pb: 8<sup>+</sup> isomer



A. Gottardo, J.J. Valiente Dobon, G. Benzoni et al.,

# The experimental levels and the seniority scheme

The  $8^+$  isomer is a seniority isomer, involving neutrons in the  $2g_{9/2}$

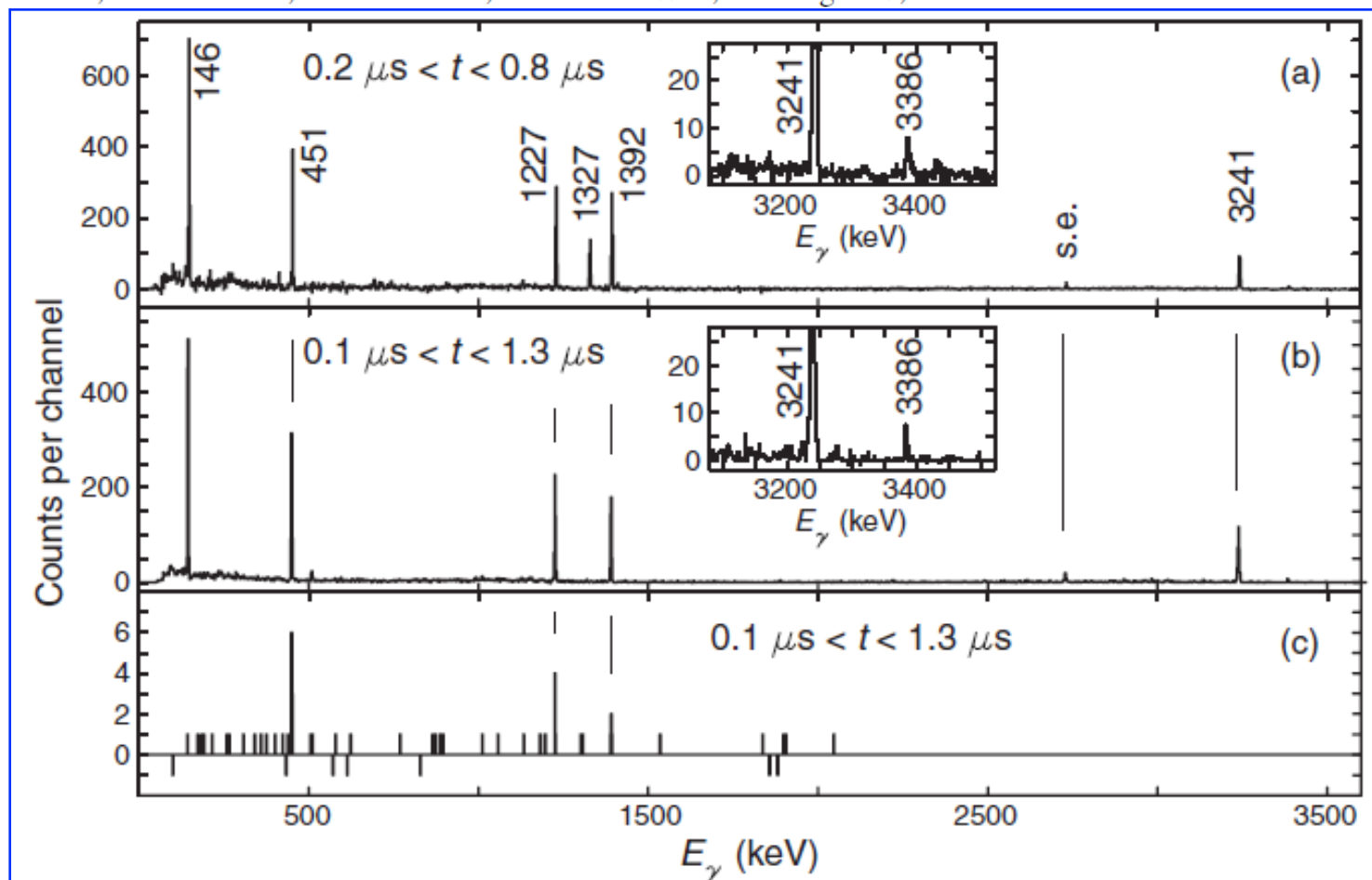


Z ~28 N~28

PHYSICAL REVIEW C 78, 021301(R) (2008)

## Isospin symmetry and proton decay: Identification of the $10^+$ isomer in $^{54}\text{Ni}$

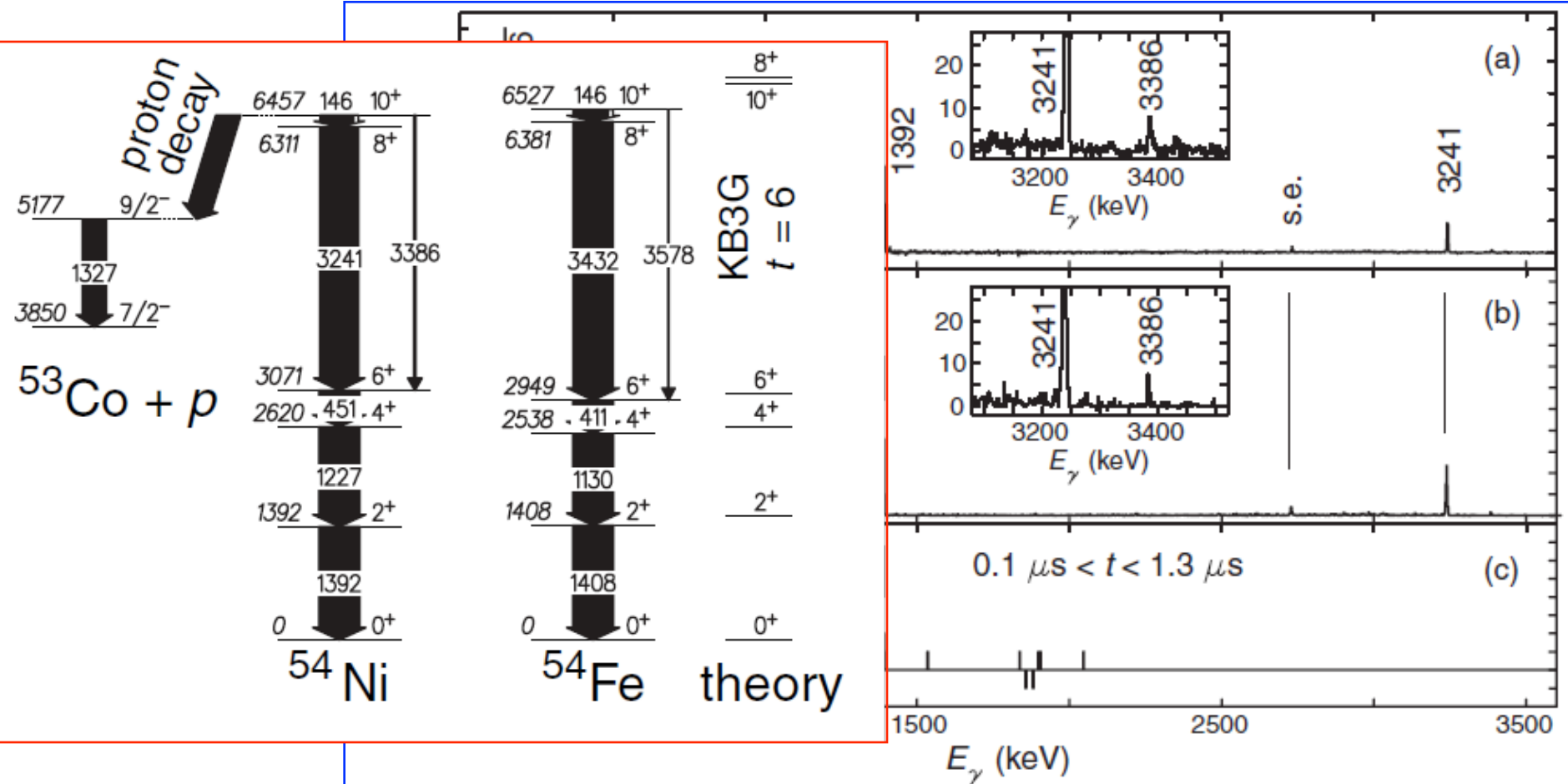
D. Rudolph,<sup>1</sup> R. Hoischen,<sup>1,2</sup> M. Hellström,<sup>1</sup> S. Pietri,<sup>3</sup> Zs. Podolyák,<sup>3</sup> P. H. Regan,<sup>3</sup> A. B. Garnsworthy,<sup>3,4</sup> S. J. Steer,<sup>3</sup> F. Becker,<sup>2,\*</sup> P. Bednarczyk,<sup>2,5</sup> L. Cáceres,<sup>2,6</sup> P. Doornenbal,<sup>2,7,†</sup> J. Gerl,<sup>2</sup> M. Górska,<sup>2</sup> J. Grębosz,<sup>2,5</sup> I. Kojouharov,<sup>2</sup> N. Kurz,<sup>2</sup> W. Prokopowicz,<sup>2,5</sup> H. Schaffner,<sup>2</sup> H. J. Wollersheim,<sup>2</sup> L.-L. Andersson,<sup>1</sup> L. Atanasova,<sup>8</sup> D. L. Balabanski,<sup>8,9</sup> M. A. Bentley,<sup>10</sup> A. Blazhev,<sup>7</sup> C. Brandau,<sup>2,3</sup> J. R. Brown,<sup>10</sup> C. Fahlander,<sup>1</sup> E. K. Johansson,<sup>1</sup> A. Jungclaus,<sup>6</sup> and S. M. Lenzi<sup>11</sup>





Isospin symmetry and proton decay: Identification of the  $10^+$  isomer in  $^{54}\text{Ni}$

D. Rudolph,<sup>1</sup> R. Hoischen,<sup>1,2</sup> M. Hellström,<sup>1</sup> S. Pietri,<sup>3</sup> Zs. Podolyák,<sup>3</sup> P. H. Regan,<sup>3</sup> A. B. Garnsworthy,<sup>3,4</sup> S. J. Steer,<sup>3</sup> F. Becker,<sup>2,\*</sup> P. Bednarczyk,<sup>2,5</sup> L. Cáceres,<sup>2,6</sup> P. Doornenbal,<sup>2,7,†</sup> J. Gerl,<sup>2</sup> M. Górska,<sup>2</sup> J. Grębosz,<sup>2,5</sup> I. Kojouharov,<sup>2</sup> N. Kurz,<sup>2</sup> W. Prokopowicz,<sup>2,5</sup> H. Schaffner,<sup>2</sup> H. J. Wollersheim,<sup>2</sup> L.-L. Andersson,<sup>1</sup> L. Atanasova,<sup>8</sup> D. L. Balabanski,<sup>8,9</sup> M. A. Bentley,<sup>10</sup> A. Blazhev,<sup>7</sup> C. Brandau,<sup>2,3</sup> J. R. Brown,<sup>10</sup> C. Fahlander,<sup>1</sup> E. K. Johansson,<sup>1</sup> A. Jungclaus,<sup>6</sup> and S. M. Lenzi<sup>11</sup>



Isospin symmetry and proton decay: Identification of the  $10^+$  isomer in  $^{54}\text{Ni}$

D. Rudolph,<sup>1</sup> R. Hoischen,<sup>1,2</sup> M. Hellström,<sup>1</sup> S. Pietri,<sup>3</sup> Zs. Podolyák,<sup>3</sup> P. H. Regan,<sup>3</sup> A. B. Garnsworthy,<sup>3,4</sup> S. J. Steer,<sup>3</sup> F. Becker,<sup>2,\*</sup> P. Bednarczyk,<sup>2,5</sup> L. Cáceres,<sup>2,6</sup> P. Doornenbal,<sup>2,7,†</sup> J. Gerl,<sup>2</sup> M. Górska,<sup>2</sup> J. Grębosz,<sup>2,5</sup> I. Kojouharov,<sup>2</sup> N. Kurz,<sup>2</sup> W. Prokopowicz,<sup>2,5</sup> H. Schaffner,<sup>2</sup> H. J. Wollersheim,<sup>2</sup> L.-L. Andersson,<sup>1</sup> L. Atanasova,<sup>8</sup> D. L. Balabanski,<sup>8,9</sup> M. A. Bentley,<sup>10</sup> A. Blazhev,<sup>7</sup> C. Brandau,<sup>2,3</sup> J. R. Brown,<sup>10</sup> C. Fahlander,<sup>1</sup> E. K. Johansson,<sup>1</sup> A. Jungclaus,<sup>6</sup> and S. M. Lenzi<sup>11</sup>

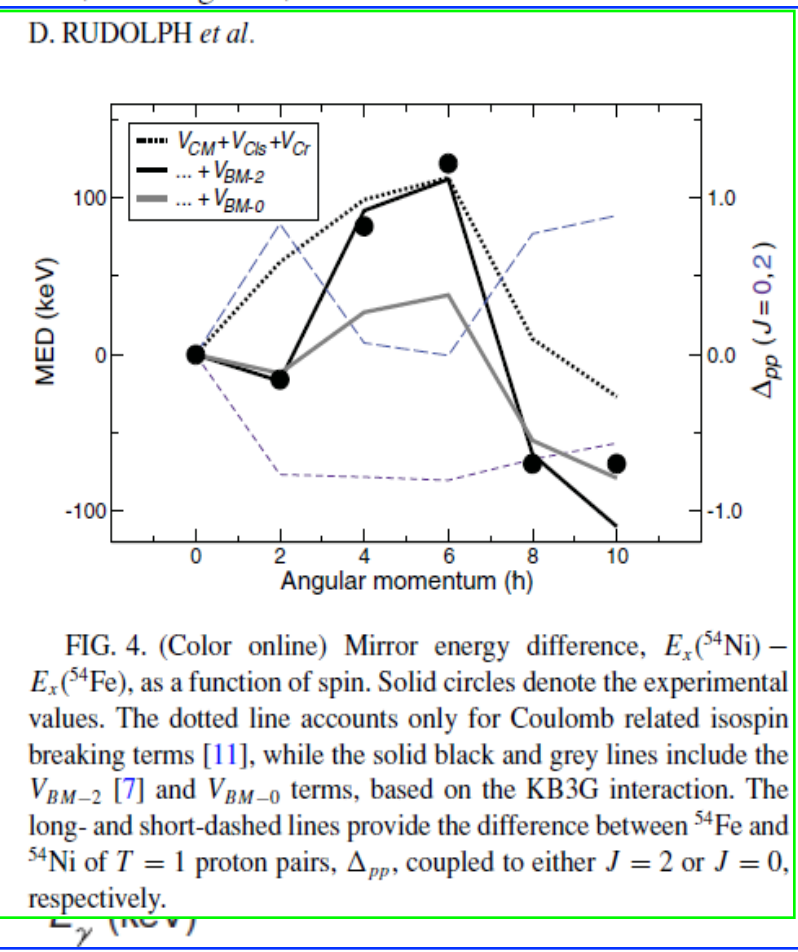
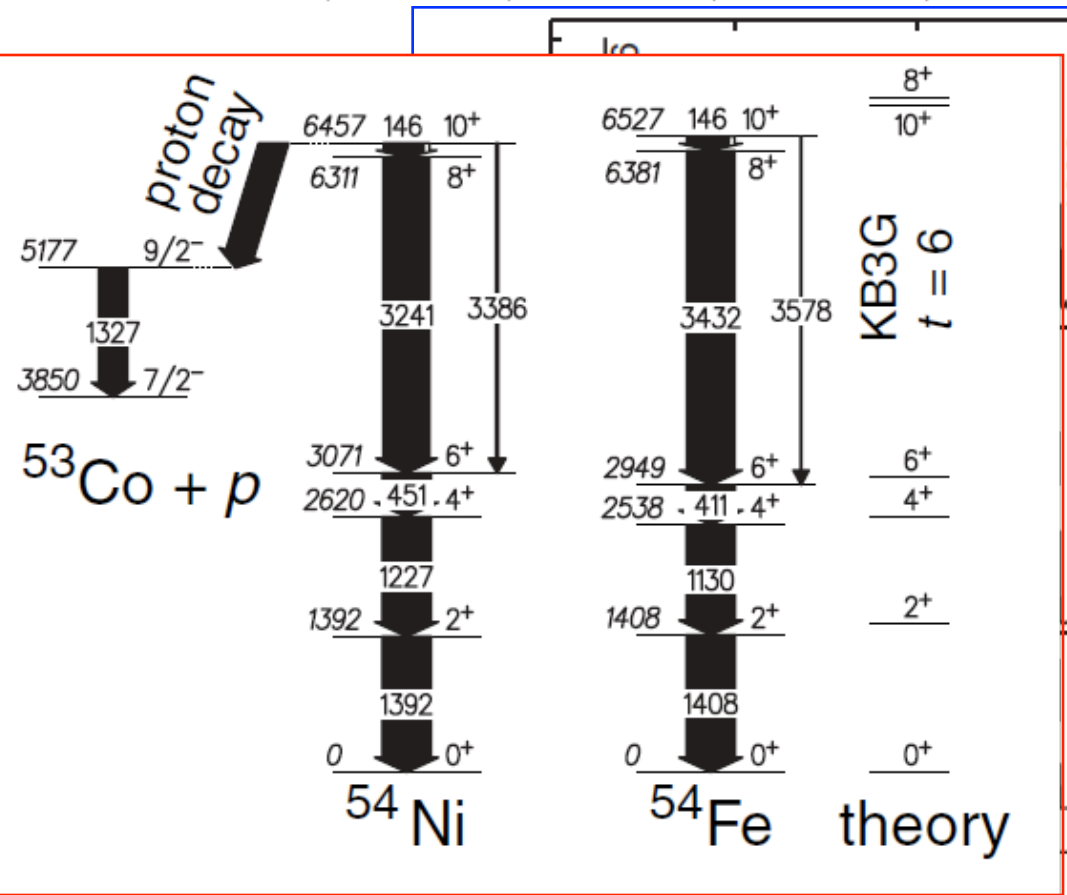
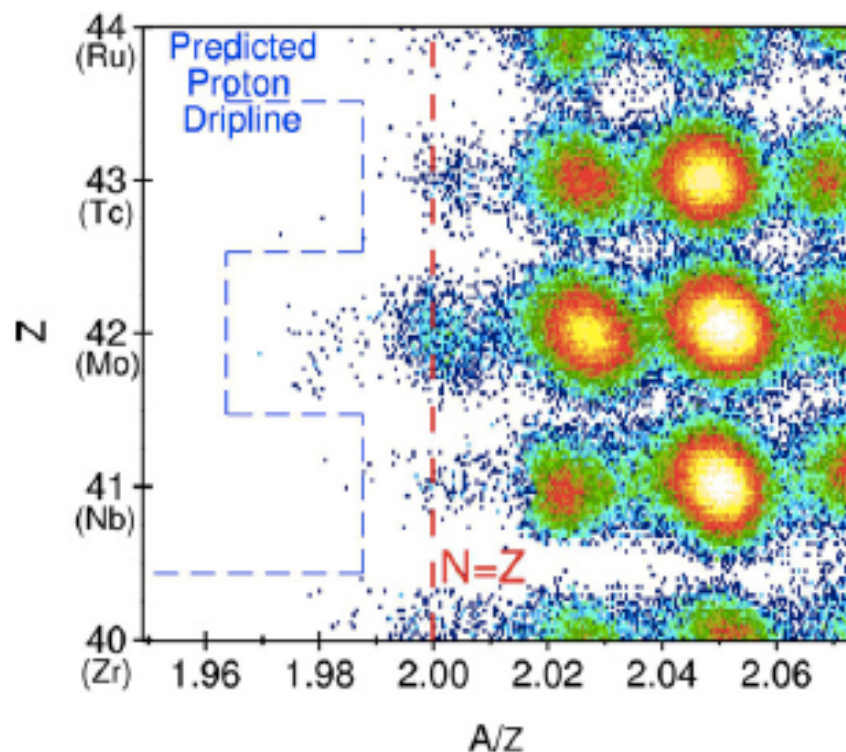


FIG. 4. (Color online) Mirror energy difference,  $E_x(^{54}\text{Ni}) - E_x(^{54}\text{Fe})$ , as a function of spin. Solid circles denote the experimental values. The dotted line accounts only for Coulomb related isospin breaking terms [11], while the solid black and grey lines include the  $V_{BM-2}$  [7] and  $V_{BM-0}$  terms, based on the KB3G interaction. The long- and short-dashed lines provide the difference between  $^{54}\text{Fe}$  and  $^{54}\text{Ni}$  of  $T=1$  proton pairs,  $\Delta_{pp}$ , coupled to either  $J=2$  or  $J=0$ , respectively.

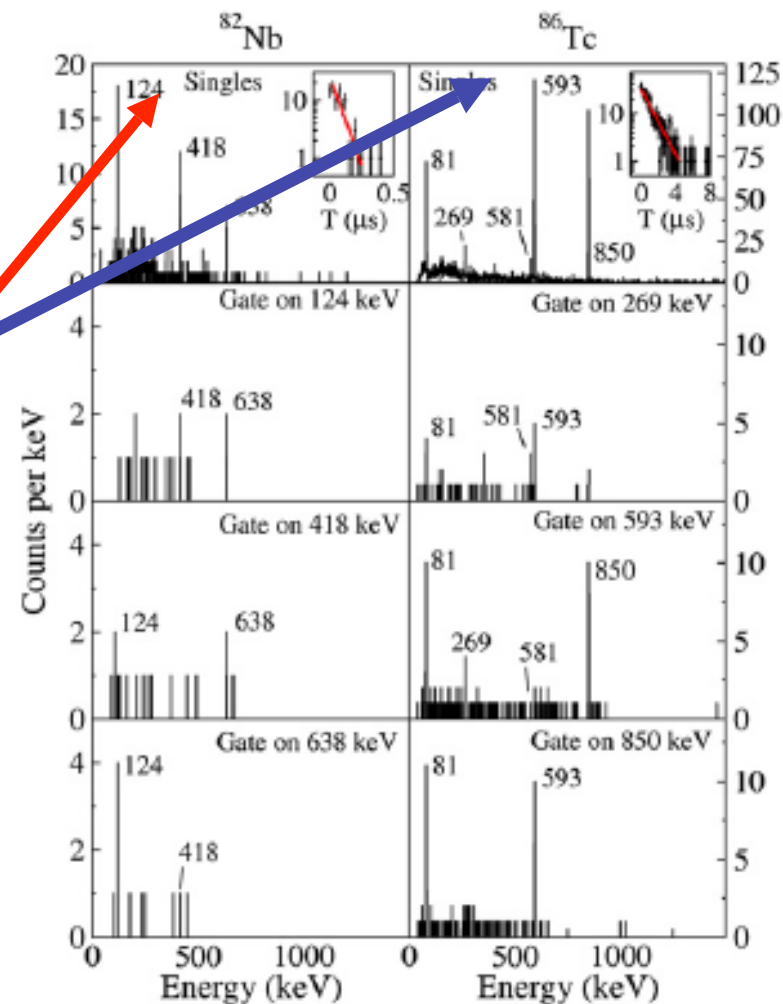
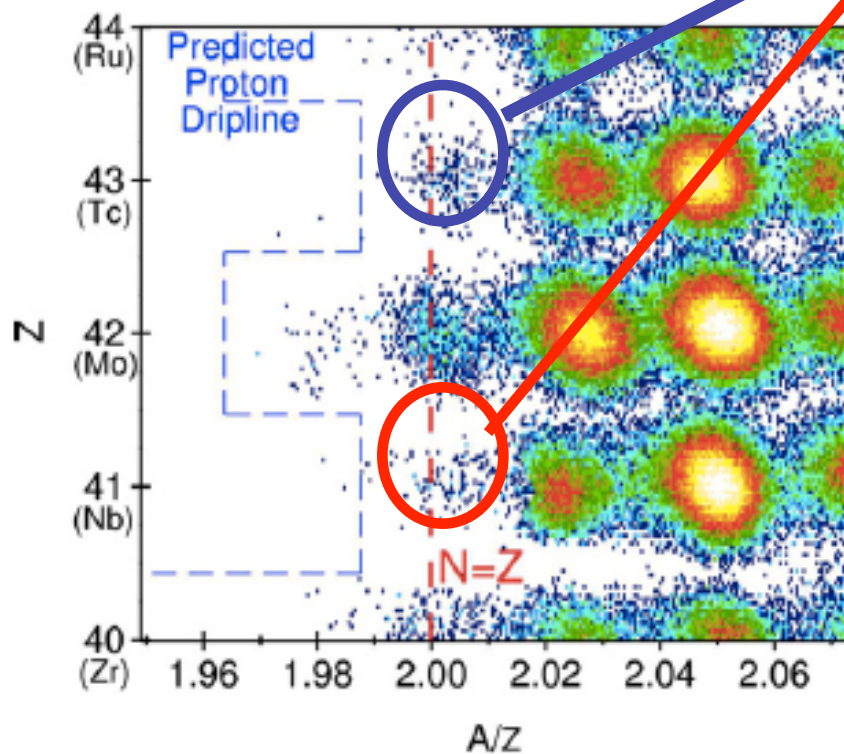
Neutron–proton pairing competition in  $N = Z$  nuclei:  
Metastable state decays in the proton dripline nuclei  $^{82}_{41}\text{Nb}$  and  $^{86}_{43}\text{Tc}$

A.B. Garnsworthy<sup>a,b,\*</sup>, P.H. Regan<sup>a</sup>, L. Cáceres<sup>c,d</sup>, S. Pietri<sup>a</sup>, Y. Sun<sup>e,f</sup>, D. Rudolph<sup>g</sup>, M. Górska<sup>c</sup>,  
Zs. Podolyák<sup>a</sup>, S.J. Steer<sup>a</sup>, R. Hoischen<sup>c,g</sup>, A. Heinz<sup>b</sup>, F. Becker<sup>c</sup>, P. Bednarczyk<sup>c,h</sup>,  
P. Doornenbal<sup>c</sup>, H. Geissel<sup>c</sup>, J. Gerl<sup>c</sup>, H. Grawe<sup>c</sup>, J. Grębosz<sup>c,h</sup>, A. Kelic<sup>c</sup>, I. Kojouharov<sup>c</sup>,  
N. Kurz<sup>c</sup>, F. Montes<sup>c</sup>, W. Prokopowicz<sup>c</sup>, T. Saito<sup>c</sup>, H. Schaffner<sup>c</sup>, S. Tachenov<sup>c</sup>,  
E. Werner-Malento<sup>c,i</sup>, H.J. Wollersheim<sup>c</sup>, G. Benzoni<sup>j</sup>, B.B. Blank<sup>k</sup>, C. Brandau<sup>a,c</sup>, A.M. Bruce<sup>l</sup>,  
F. Camera<sup>j</sup>, W.N. Catford<sup>a</sup>, I.J. Cullen<sup>a</sup>, Zs. Dombrádi<sup>m</sup>, E. Estevez<sup>n</sup>, W. Gelletly<sup>a</sup>, G. Ilie<sup>o,p</sup>,  
J. Jolie<sup>o</sup>, G.A. Jones<sup>a</sup>, A. Jungclaus<sup>d</sup>, M. Kmiecik<sup>b</sup>, F.G. Kondev<sup>q</sup>, T. Kurtukian-Nieto<sup>k,a</sup>,  
S. Lalkovski<sup>l,r</sup>, Z. Liu<sup>a</sup>, A. Maj<sup>b</sup>, S. Myalski<sup>b</sup>, M. Pfützner<sup>i</sup>, S. Schwertel<sup>s</sup>, T. Shizuma<sup>a,t</sup>,  
A.J. Simons<sup>u,u</sup>, P.M. Walker<sup>a</sup>, O. Wieland<sup>j</sup>, F.R. Xu<sup>v</sup>



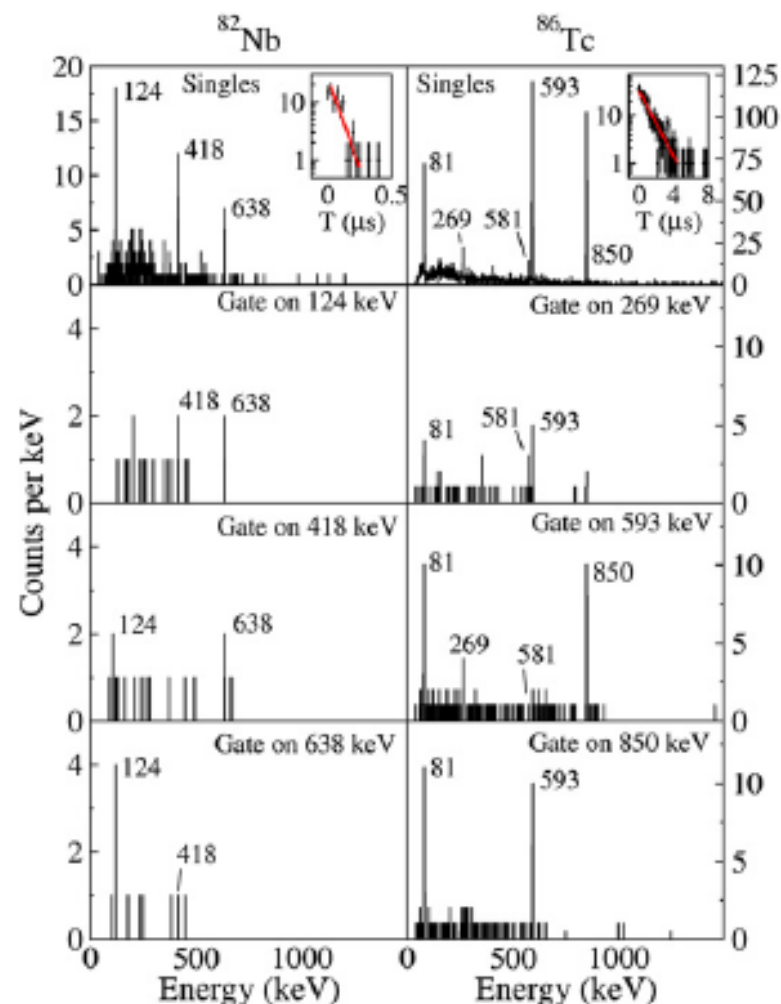
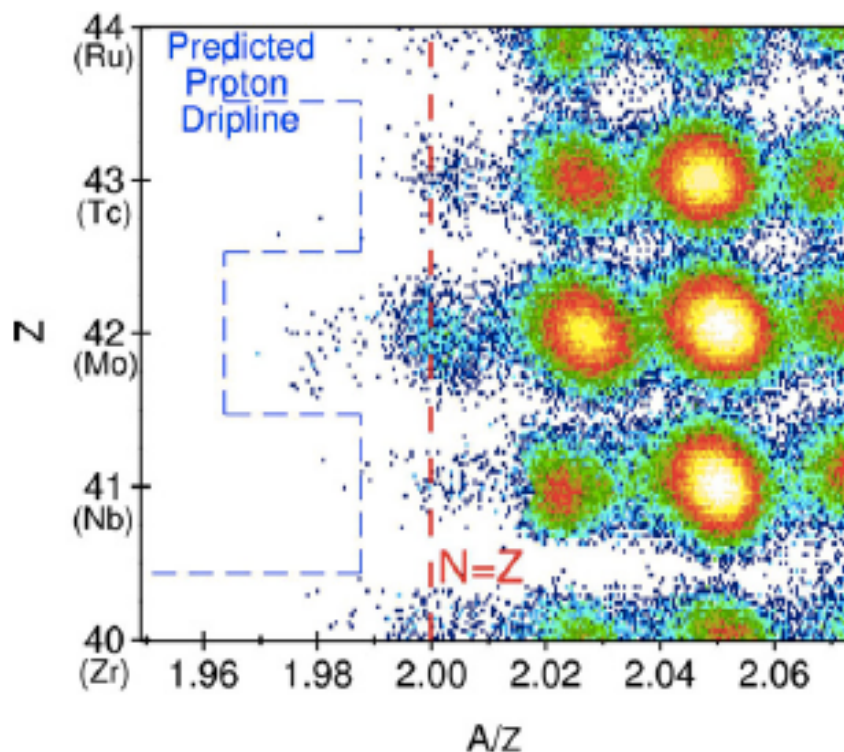
Neutron–proton pairing competition in  $N = Z$  nuclei:  
Metastable state decays in the proton dripline nuclei  $^{82}_{41}\text{Nb}$  and  $^{86}_{43}\text{Tc}$

A.B. Garnsworthy<sup>a,b,\*</sup>, P.H. Regan<sup>a</sup>, L. Cáceres<sup>c,d</sup>, S. Pietri<sup>a</sup>, Y. Sun<sup>e,f</sup>, D. Rudolph<sup>g</sup>, M. Górska<sup>c</sup>  
Zs. Podolyák<sup>a</sup>, S.J. Steer<sup>a</sup>, R. Hoischen<sup>c,g</sup>, A. Heinz<sup>b</sup>, F. Becker<sup>c</sup>, P. Bednarczyk<sup>c,h</sup>,  
P. Doornenbal<sup>c</sup>, H. Geissel<sup>c</sup>, J. Gerl<sup>c</sup>, H. Grawe<sup>c</sup>, J. Grębosz<sup>c,h</sup>, A. Kelic<sup>c</sup>, I. Kojouharov<sup>c</sup>,  
N. Kurz<sup>c</sup>, F. Montes<sup>c</sup>, W. Prokopowicz<sup>c</sup>, T. Saito<sup>c</sup>, H. Schaffner<sup>c</sup>, S. Tachenov<sup>c</sup>,  
E. Werner-Malento<sup>c,i</sup>, H.J. Wollersheim<sup>c</sup>, G. Benzoni<sup>j</sup>, B.B. Blank<sup>k</sup>, C. Brandau<sup>a,c</sup>, A.M. Bruce<sup>l</sup>  
F. Camera<sup>j</sup>, W.N. Catford<sup>a</sup>, I.J. Cullen<sup>a</sup>, Zs. Dombrádi<sup>m</sup>, E. Estevez<sup>n</sup>, W. Gelletly<sup>a</sup>, G. Ilie<sup>o,p</sup>,  
J. Jolie<sup>o</sup>, G.A. Jones<sup>a</sup>, A. Jungclaus<sup>d</sup>, M. Kmiecik<sup>h</sup>, F.G. Kondev<sup>q</sup>, T. Kurtukian-Nieto<sup>k,a</sup>,  
S. Lalkovski<sup>l,r</sup>, Z. Liu<sup>a</sup>, A. Maj<sup>h</sup>, S. Myalski<sup>h</sup>, M. Pfützner<sup>i</sup>, S. Schwertel<sup>s</sup>, T. Shizuma<sup>a,t</sup>,  
A.J. Simons<sup>u,u</sup>, P.M. Walker<sup>a</sup>, O. Wieland<sup>j</sup>, F.R. Xu<sup>v</sup>



Neutron–proton pairing competition in  $N = Z$  nuclei:  
Metastable state decays in the proton dripline nuclei  $^{82}_{41}\text{Nb}$  and  $^{86}_{43}\text{Tc}$

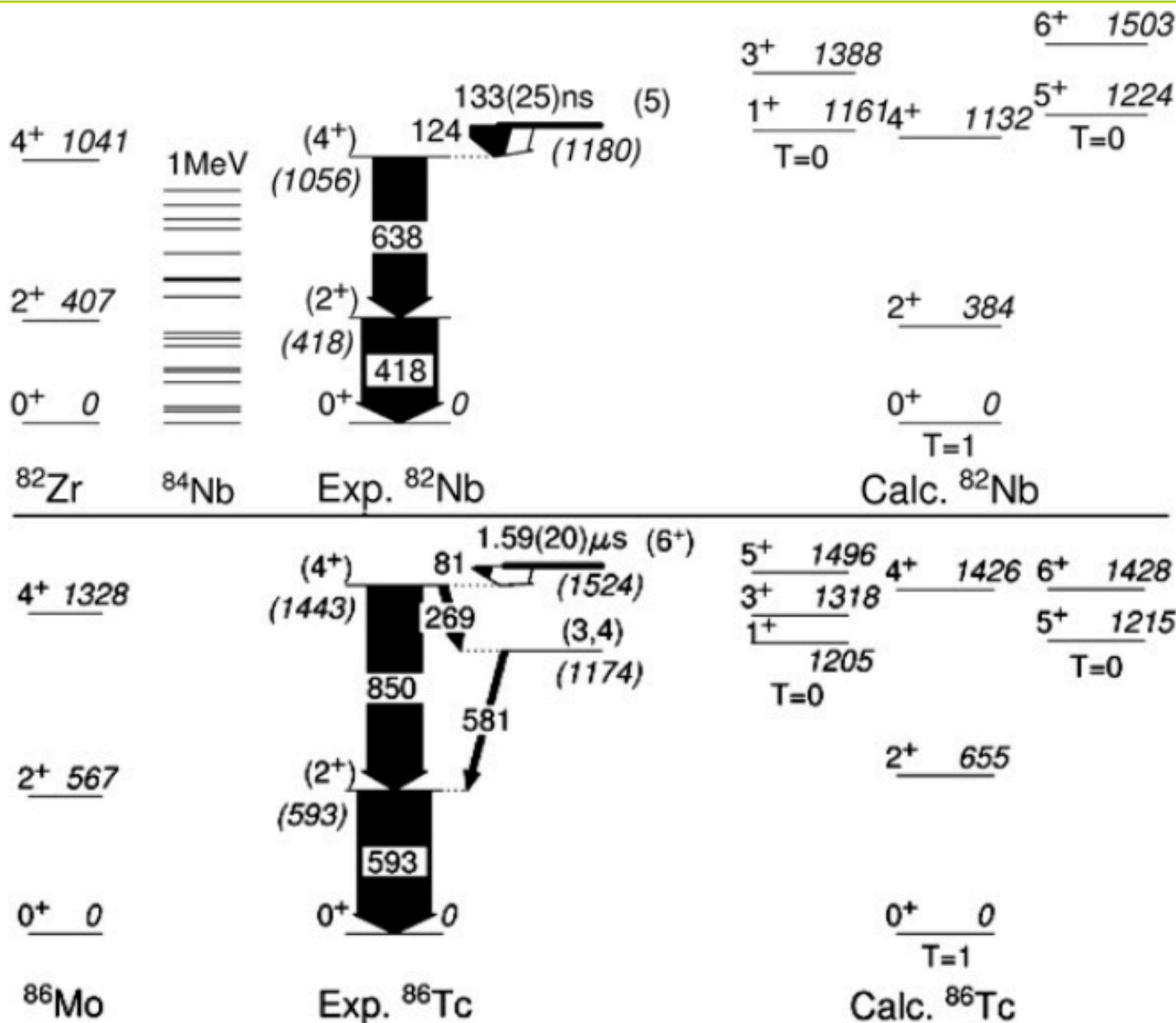
A.B. Garnsworthy<sup>a,b,\*</sup>, P.H. Regan<sup>a</sup>, L. Cáceres<sup>c,d</sup>, S. Pietri<sup>a</sup>, Y. Sun<sup>e,f</sup>, D. Rudolph<sup>g</sup>, M. Górska<sup>c</sup>  
Zs. Podolyák<sup>a</sup>, S.J. Steer<sup>a</sup>, R. Hoischen<sup>c,g</sup>, A. Heinz<sup>b</sup>, F. Becker<sup>c</sup>, P. Bednarczyk<sup>c,h</sup>,  
P. Doornenbal<sup>c</sup>, H. Geissel<sup>c</sup>, J. Gerl<sup>c</sup>, H. Grawe<sup>c</sup>, J. Grębosz<sup>c,h</sup>, A. Kelic<sup>c</sup>, I. Kojouharov<sup>c</sup>,  
N. Kurz<sup>c</sup>, F. Montes<sup>c</sup>, W. Prokopowicz<sup>c</sup>, T. Saito<sup>c</sup>, H. Schaffner<sup>c</sup>, S. Tachenov<sup>c</sup>,  
E. Werner-Malento<sup>c,i</sup>, H.J. Wollersheim<sup>c</sup>, G. Benzoni<sup>j</sup>, B.B. Blank<sup>k</sup>, C. Brandau<sup>a,c</sup>, A.M. Bruce<sup>l</sup>  
F. Camera<sup>j</sup>, W.N. Catford<sup>a</sup>, I.J. Cullen<sup>a</sup>, Zs. Dombrádi<sup>m</sup>, E. Estevez<sup>n</sup>, W. Gelletly<sup>a</sup>, G. Ilie<sup>o,p</sup>,  
J. Jolie<sup>q</sup>, G.A. Jones<sup>a</sup>, A. Jungclaus<sup>d</sup>, M. Kmiecik<sup>b</sup>, F.G. Kondev<sup>q</sup>, T. Kurtukian-Nieto<sup>k,a</sup>,  
S. Lalkovski<sup>l,r</sup>, Z. Liu<sup>a</sup>, A. Maj<sup>b</sup>, S. Myalski<sup>b</sup>, M. Pfützner<sup>i</sup>, S. Schwertel<sup>s</sup>, T. Shizuma<sup>a,t</sup>,  
A.J. Simons<sup>u,u</sup>, P.M. Walker<sup>a</sup>, O. Wieland<sup>j</sup>, F.R. Xu<sup>v</sup>



Neutron–  
Metastable state

A.B. Garnsworthy <sup>a,b,\*</sup>, P.F.  
Zs. Podolyák <sup>a</sup>, S.J.  
P. Doornenbal <sup>c</sup>, H. Ge  
N. Kurz <sup>c</sup>, F. Mon  
E. Werner-Malento <sup>c,i</sup>, H.J.  
F. Camera <sup>j</sup>, W.N. Catfor  
J. Jolie <sup>o</sup>, G.A. Jones <sup>a</sup>,  
S. Lalkovski <sup>l,r</sup>, Z. Liu  
A.J.

44 (Ru) Pr  
43 (Tc) F  
42 (Mo) D  
41 (Nb)  
40 (Zr) 1.



$N \sim Z \sim 50$  nuclei

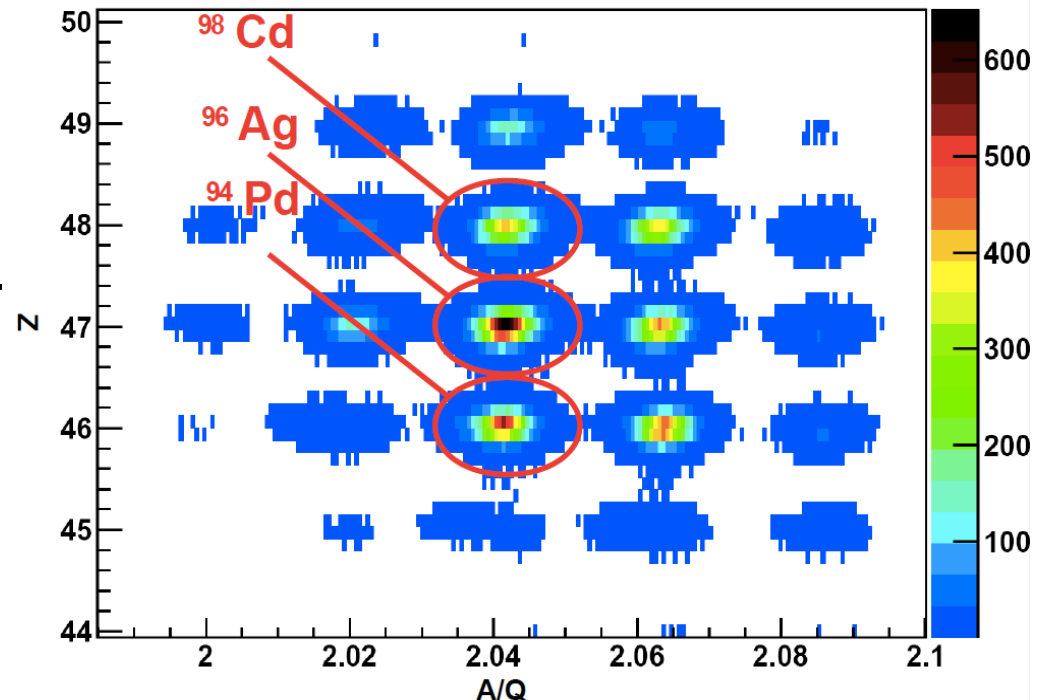
# Study of $N \geq Z$ proton drip-line nuclei $^{96,97,98}\text{Cd}$ with astrophysical consequences

Spokespersons:

A. Blazhev, P. Boutachkov Z. Liu, R. Wadsworth

- Study the isospin symmetry as a function of mass, at  $N \sim Z$ .
- Shell Model residual interaction.
- Study the neutron-proton pairing.
- Study the competition between pairing and deformation for  $N \sim Z$ ,  $A \sim 90-100$  (the  $\pi$  and  $\nu$  occupy the  $g_{9/2}$  shell).
- rp-process.

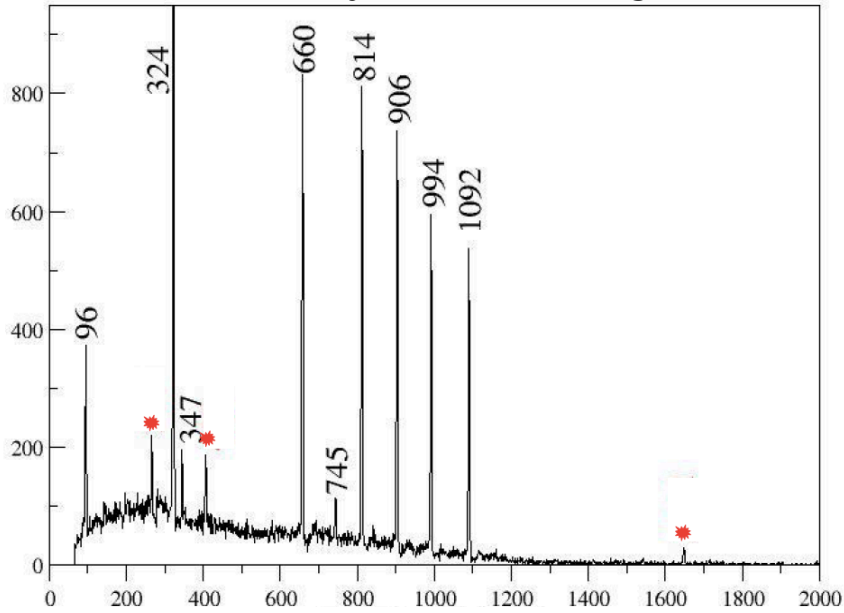
15 Shifts:  $^{124}\text{Xe}$ : 850 MeV/u  $I_0 \sim 10^9$  pps  
on  $^9\text{Be}$  target  
15 Shifts remaining



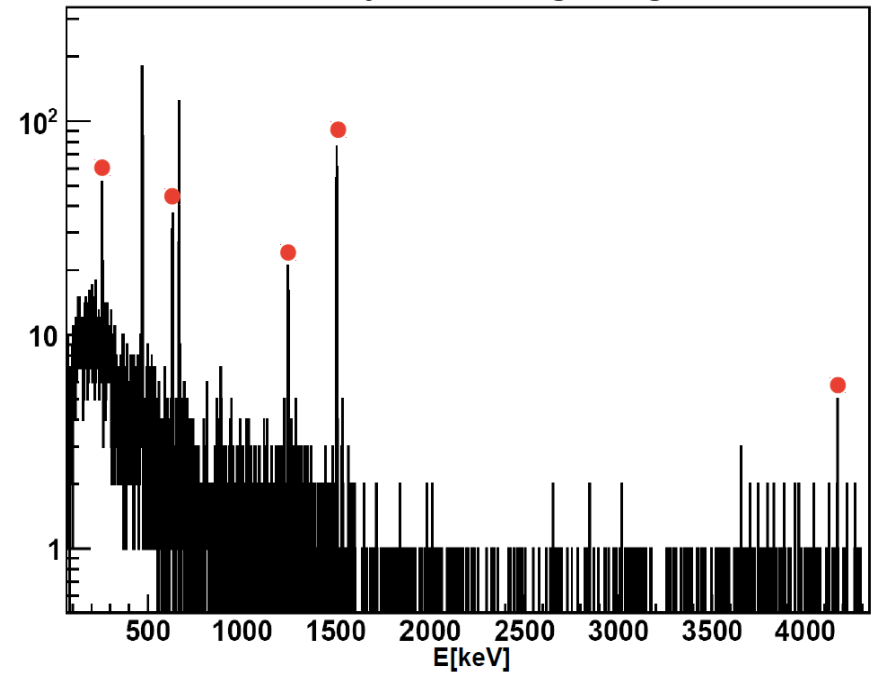


# Preliminary Results

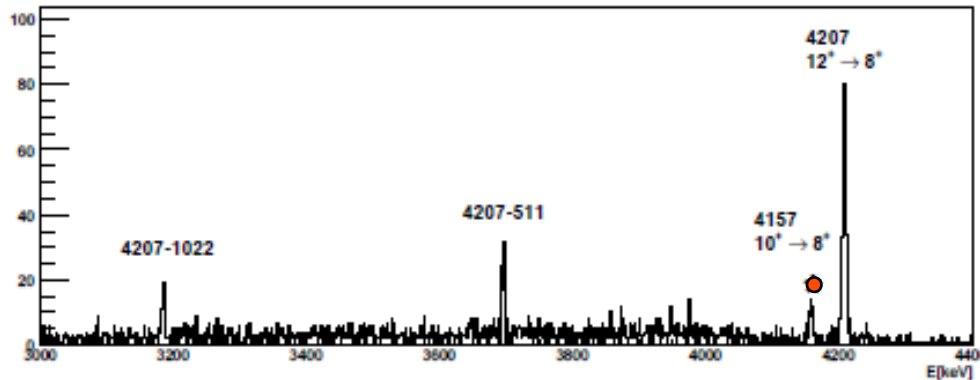
Isomeric decays of  $^{94}\text{Pd}$  fragments.



Isomeric decays of  $^{96}\text{Ag}$  fragments.



Isomeric decays of  $^{98}\text{Cd}$  fragments.



## Analyzed to date:

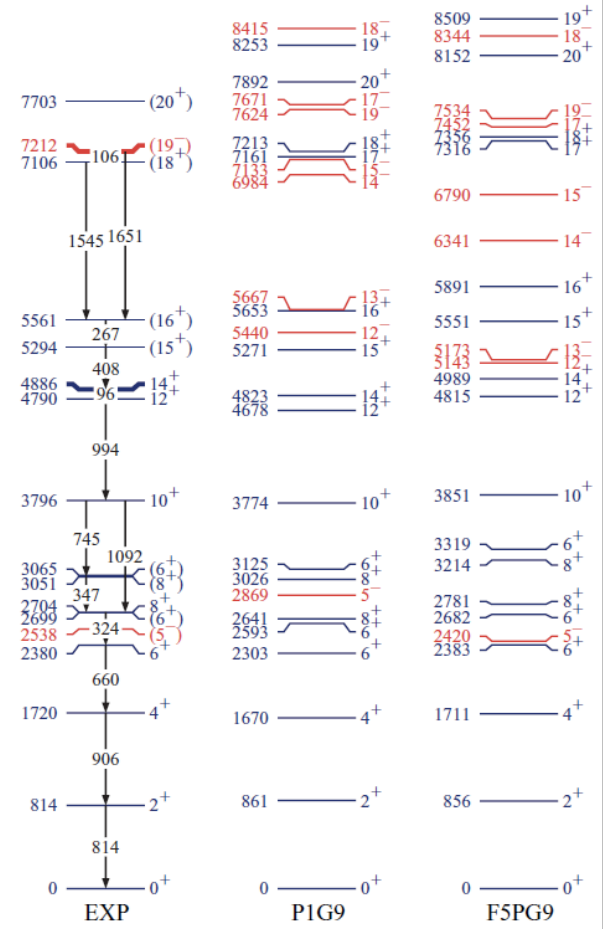
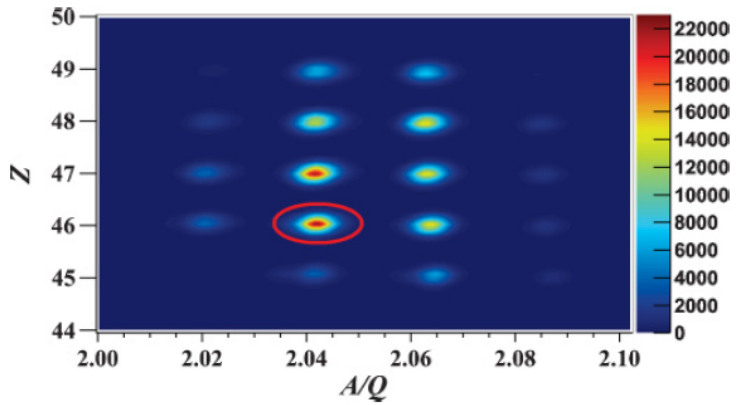
- $^{94}\text{Pd}$ : new, high-spin isomer.
- $^{96}\text{Ag}$ : two new isomers, including core-excited states.
- $^{98}\text{Cd}$ : new high-energy, isomeric  $\gamma$ -ray transition from core breaking.

More to come ...

### Observation of a new high-spin isomer in <sup>94</sup>Pd

T. S. Brock,<sup>1</sup> B. S. Nara Singh,<sup>1</sup> P. Boutachkov,<sup>2</sup> N. Braun,<sup>3</sup> A. Blazhev,<sup>3</sup> Z. Liu,<sup>4</sup> R. Wadsworth,<sup>1</sup> M. Górska,<sup>2</sup> H. Grawe,<sup>2</sup> S. Pietri,<sup>2</sup> C. Domingo-Pardo,<sup>2</sup> D. Rudolph,<sup>5</sup> S. J. Steer,<sup>6</sup> A. Ataç,<sup>7</sup> L. Bettermann,<sup>3</sup> L. Cáceres,<sup>2</sup> T. Engert,<sup>2</sup> K. Eppinger,<sup>8</sup> T. Faestermann,<sup>8</sup> F. Farinon,<sup>2</sup> F. Finke,<sup>3</sup> K. Geibel,<sup>3</sup> J. Gerl,<sup>2</sup> R. Gernhäuser,<sup>8</sup> N. Goel,<sup>2</sup> A. Gottardo,<sup>4</sup> J. Grębosz,<sup>9</sup> C. Hinke,<sup>8</sup> R. Hoischen,<sup>2,5</sup> G. Ilie,<sup>3</sup> H. Iwasaki,<sup>3</sup> J. Jolie,<sup>3</sup> A. Kaşkaş,<sup>7</sup> I. Kojuharov,<sup>2</sup> R. Krücken,<sup>8</sup> N. Kurz,<sup>2</sup> E. Merchán,<sup>10</sup> C. Nociforo,<sup>2</sup> J. Nyberg,<sup>11</sup> M. Pfützner,<sup>12</sup> A. Prochazka,<sup>2</sup> Zs. Podolyák,<sup>6</sup> P. H. Regan,<sup>6</sup> P. Reiter,<sup>3</sup> S. Rinta-Antila,<sup>13</sup> H. Schaffner,<sup>2</sup> C. Scholl,<sup>3</sup> P.-A. Söderström,<sup>11</sup> N. Warr,<sup>3</sup> H. Weick,<sup>2</sup> H.-J. Wollersheim,<sup>14</sup> and P. J. Woods<sup>4</sup>

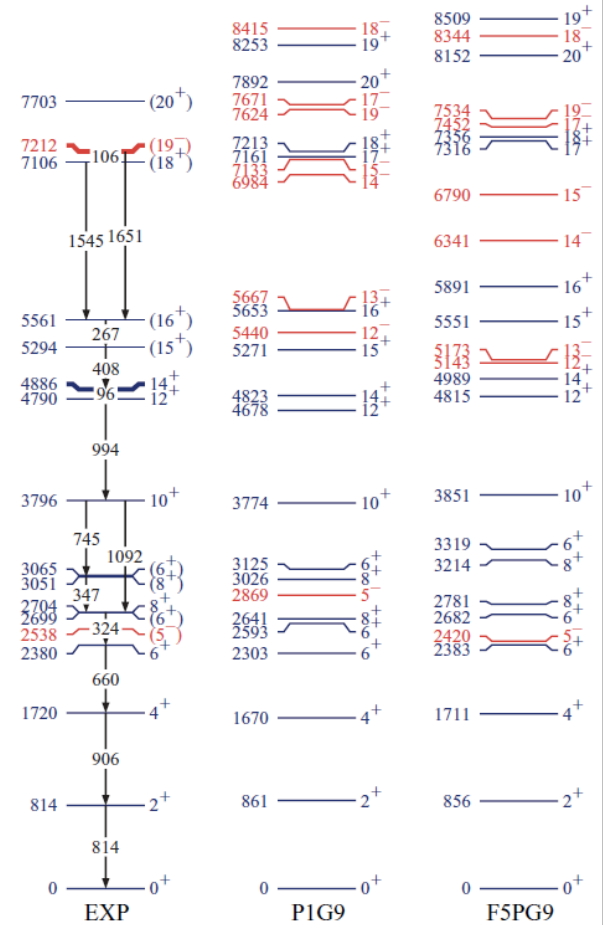
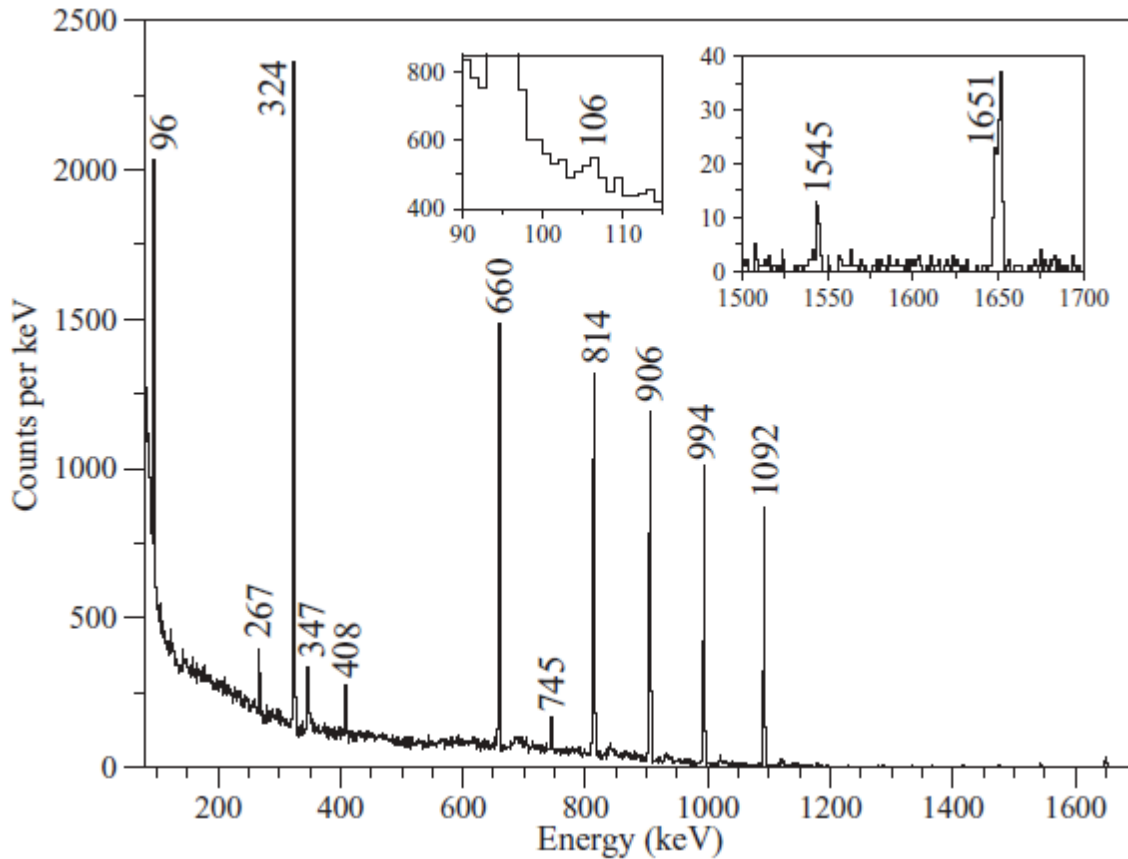
(RISING Collaboration)



### Observation of a new high-spin isomer in $^{94}\text{Pd}$

T. S. Brock,<sup>1</sup> B. S. Nara Singh,<sup>1</sup> P. Boutachkov,<sup>2</sup> N. Braun,<sup>3</sup> A. Blazhev,<sup>3</sup> Z. Liu,<sup>4</sup> R. Wadsworth,<sup>1</sup> M. Górska,<sup>2</sup> H. Grawe,<sup>2</sup> S. Pietri,<sup>2</sup> C. Domingo-Pardo,<sup>2</sup> D. Rudolph,<sup>5</sup> S. J. Steer,<sup>6</sup> A. Ataç,<sup>7</sup> L. Bettermann,<sup>3</sup> L. Cáceres,<sup>2</sup> T. Engert,<sup>2</sup> K. Eppinger,<sup>8</sup> T. Faestermann,<sup>8</sup> F. Farion,<sup>2</sup> F. Finke,<sup>3</sup> K. Geibel,<sup>3</sup> J. Gerl,<sup>2</sup> R. Gernhäuser,<sup>8</sup> N. Goel,<sup>2</sup> A. Gottardo,<sup>4</sup> J. Grębosz,<sup>9</sup> C. Hinke,<sup>8</sup> R. Hoischen,<sup>2,5</sup> G. Ilie,<sup>3</sup> H. Iwasaki,<sup>3</sup> J. Jolie,<sup>3</sup> A. Kaşkaş,<sup>7</sup> I. Kojuharov,<sup>2</sup> R. Krücken,<sup>8</sup> N. Kurz,<sup>2</sup> E. Merchán,<sup>10</sup> C. Nociforo,<sup>2</sup> J. Nyberg,<sup>11</sup> M. Pfützner,<sup>12</sup> A. Prochazka,<sup>2</sup> Zs. Podolyák,<sup>6</sup> P. H. Regan,<sup>6</sup> P. Reiter,<sup>3</sup> S. Rinta-Antila,<sup>13</sup> H. Schaffner,<sup>2</sup> C. Scholl,<sup>3</sup> P.-A. Söderström,<sup>11</sup> N. Warr,<sup>3</sup> H. Weick,<sup>2</sup> H.-J. Wollersheim,<sup>14</sup> and P. J. Woods<sup>4</sup>

(RISING Collaboration)



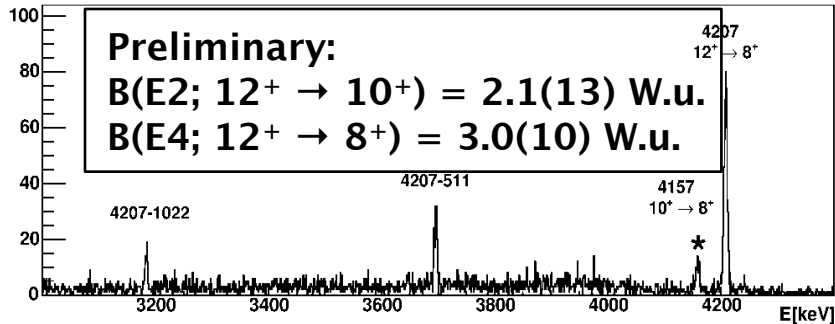
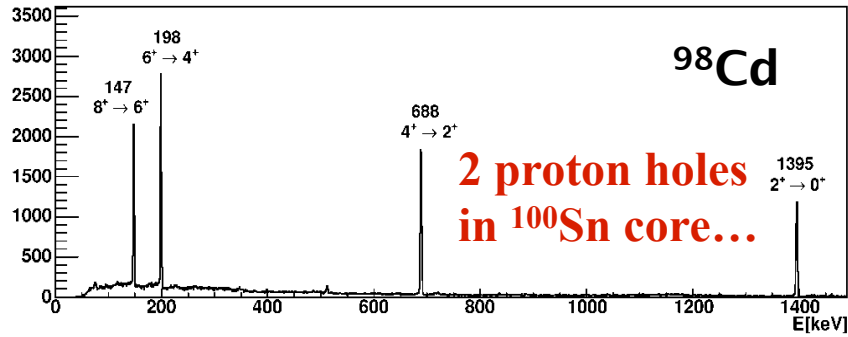
# Isomer spectroscopy of $^{98}\text{Cd}$

XVIII International School on Nuclear Physics, Neutron Physics and Applications

IOP Publish

of Physics: Conference Series 205 (2010) 012035

doi:10.1088/1742-6596/205/1/012

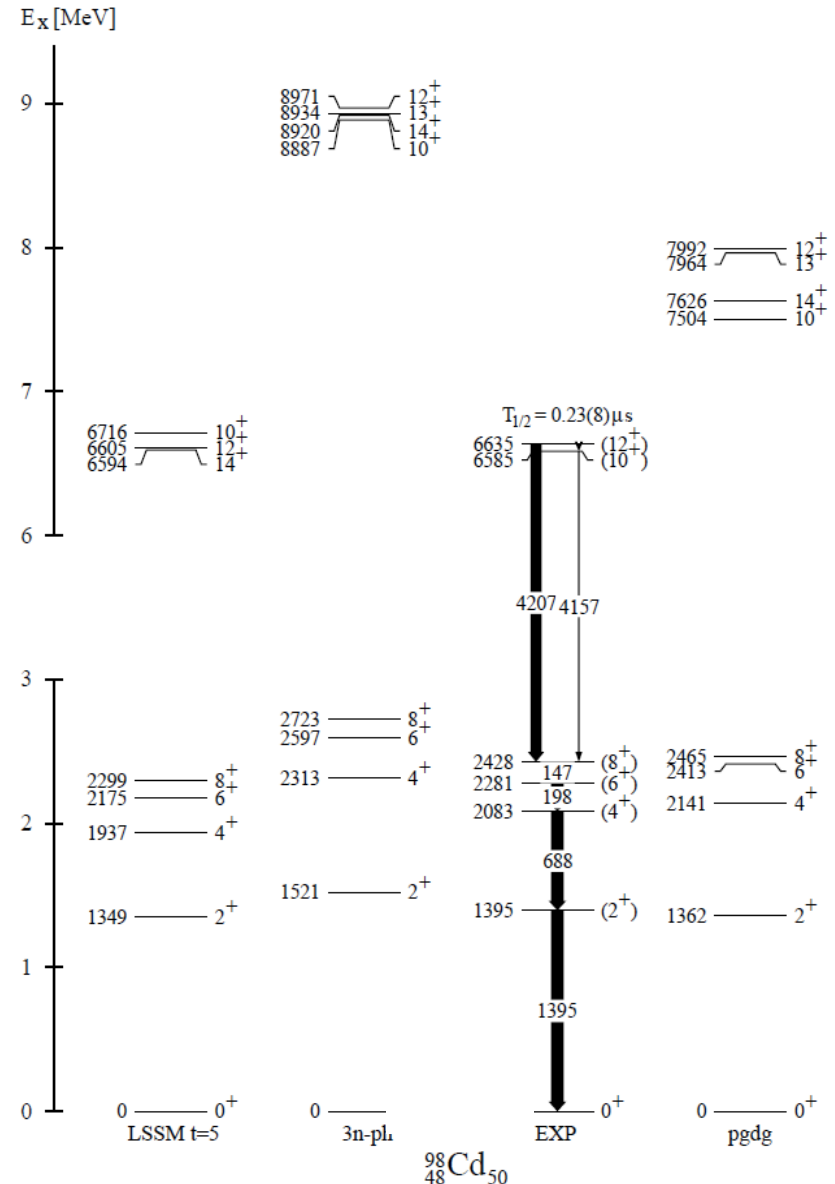


• Transition (\* 4157 keV) identified in  $^{98}\text{Cd}$

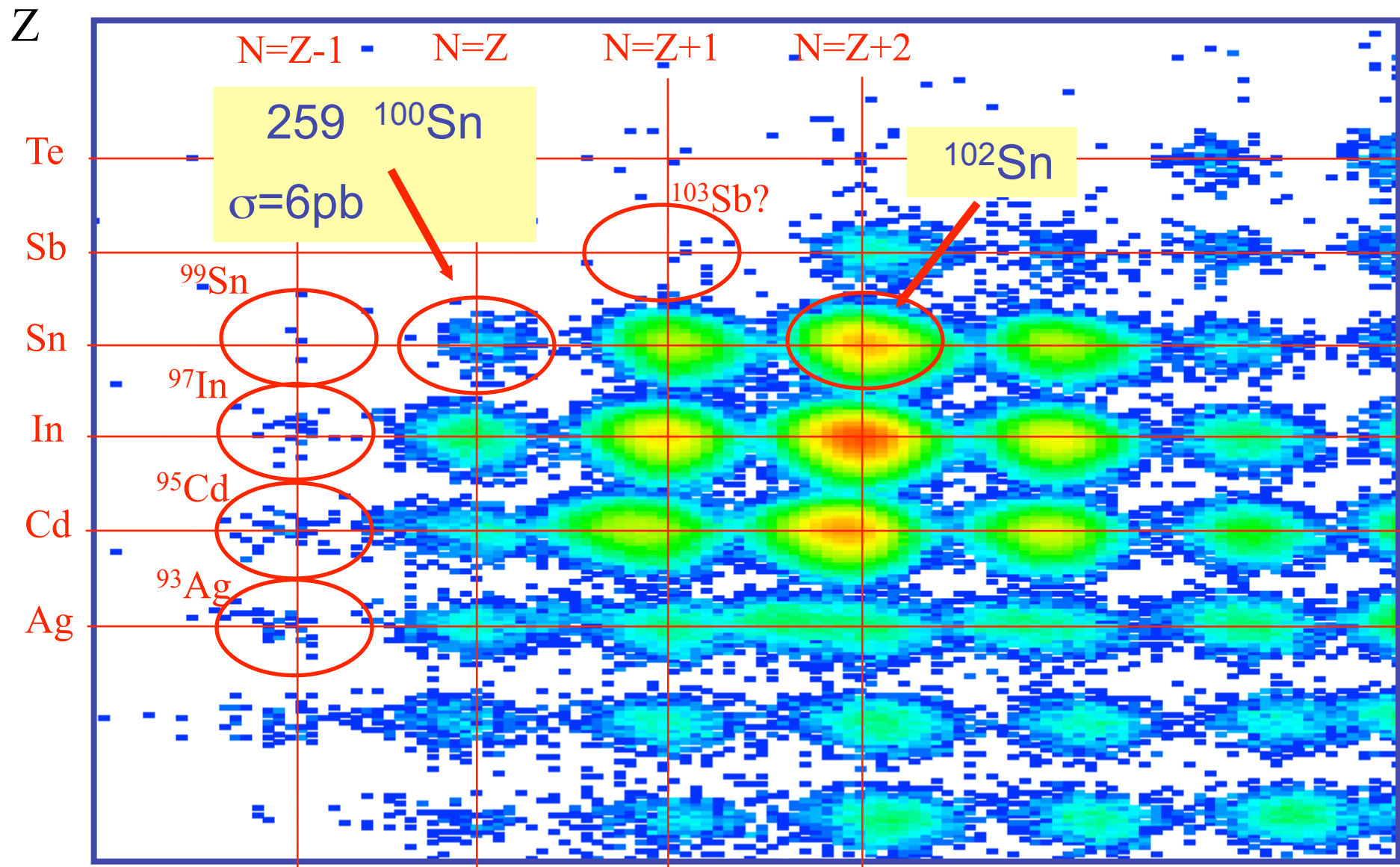
• data suggests ( $10^+$ ) state 50 keV below the ( $12^+$ )

➤  $B(E4; 12^+ \rightarrow 8^+)$  and  $B(E2; 12^+ \rightarrow 10^+)$  estimates

➤ Ordering of the ( $10^+$ ) and ( $12^+$ ) levels – not reproduced by previous shell-model calculations.

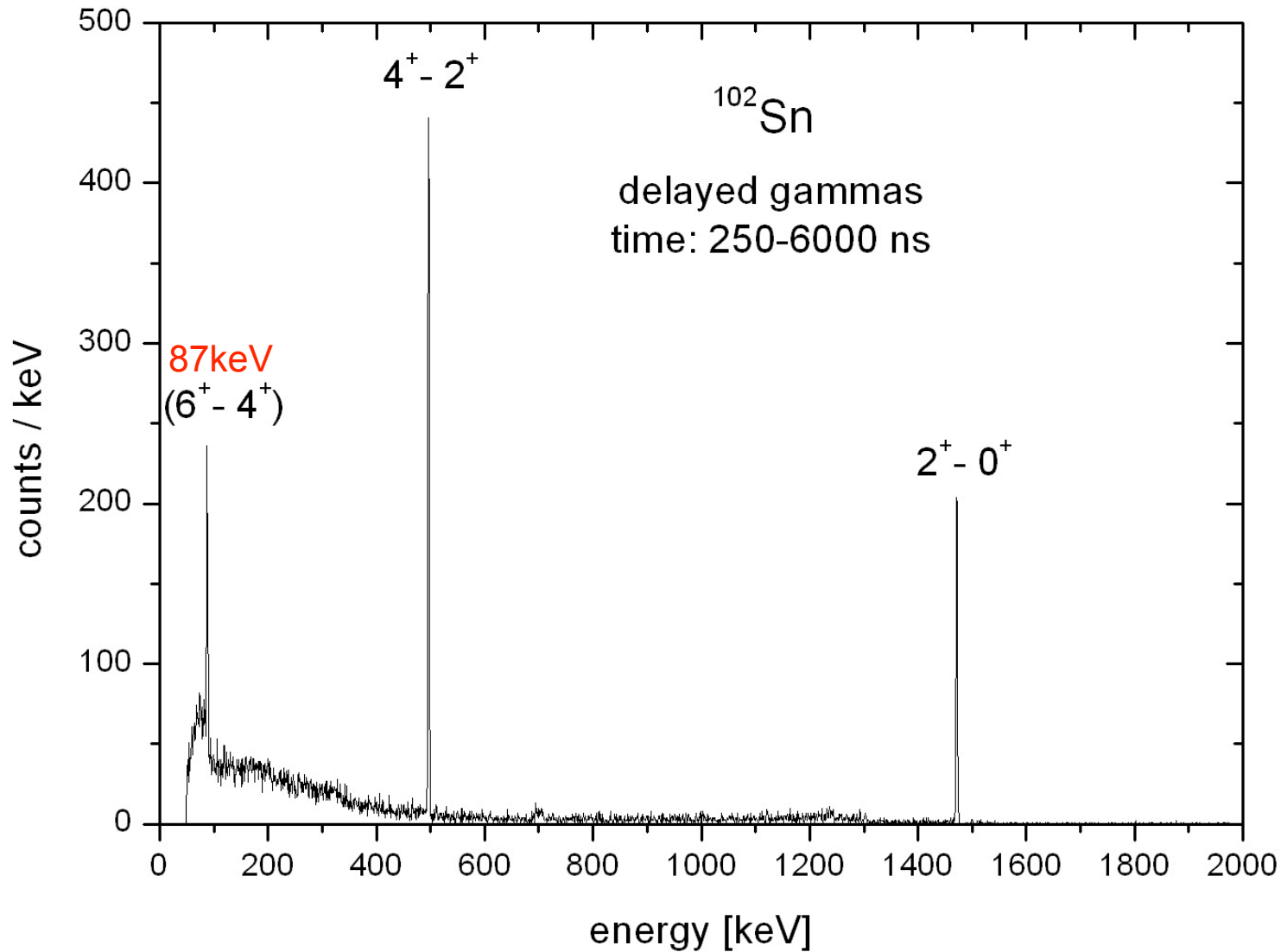


# $^{100}\text{Sn}$ setting (15 days $^{124}\text{Xe}$ beam)



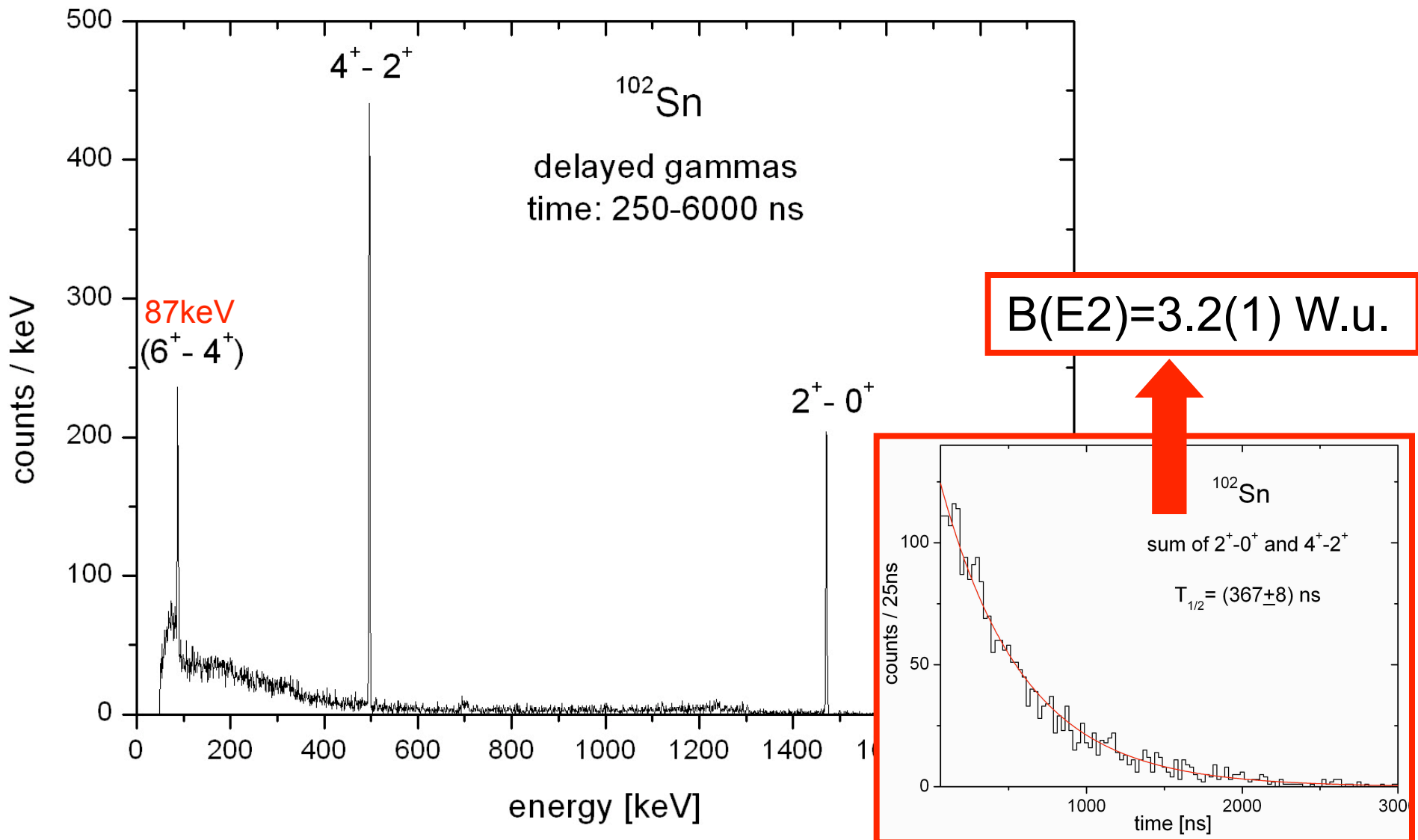
# $6^+$ Isomer in $^{102}\text{Sn}$

(2 neutron particles above  $^{100}\text{Sn}$  core)



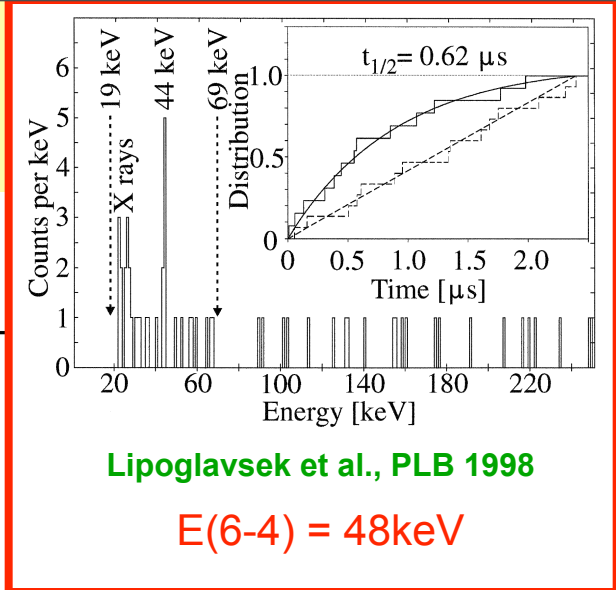
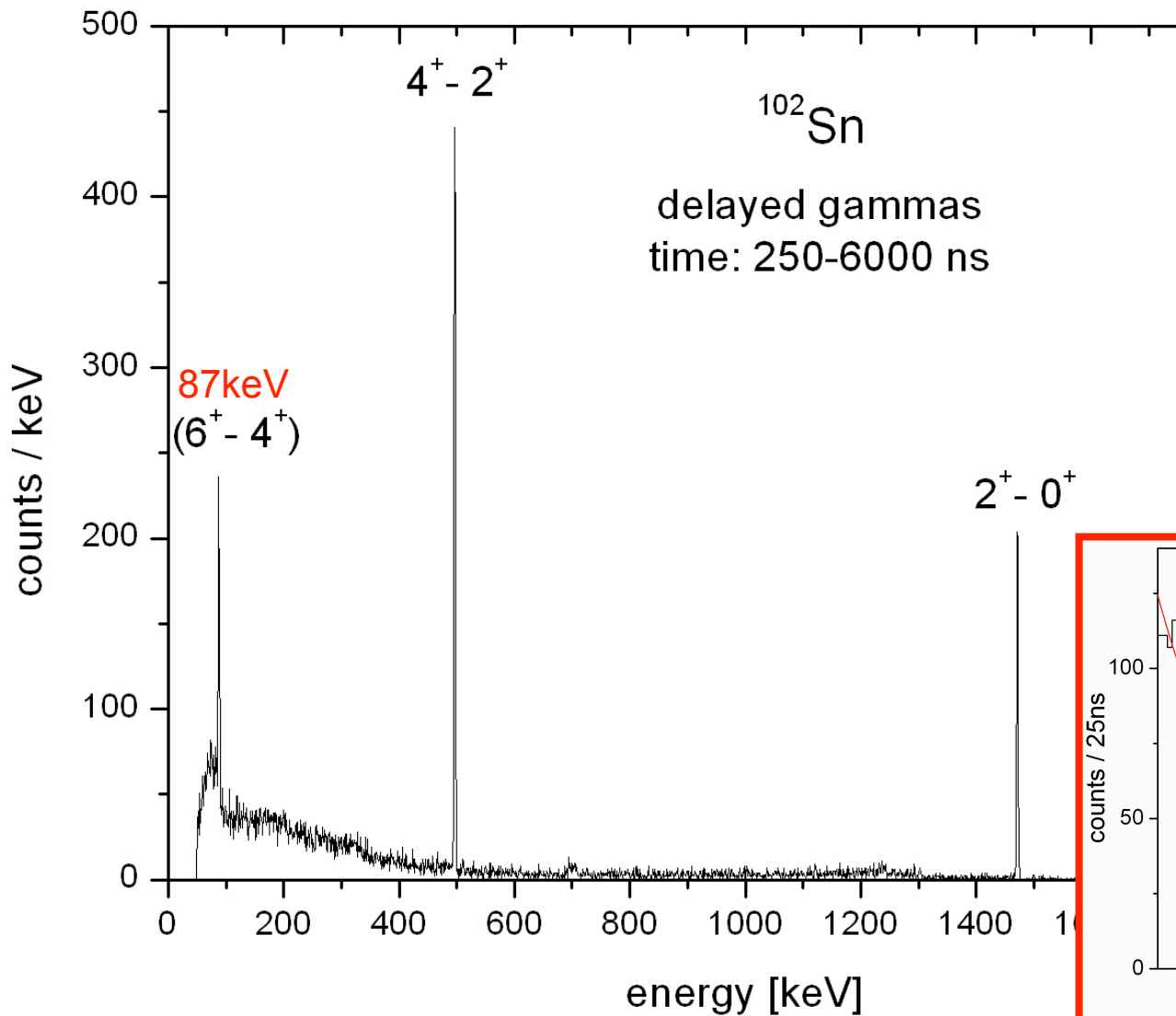
# $6^+$ Isomer in $^{102}\text{Sn}$

(2 neutron particles above  $^{100}\text{Sn}$  core)

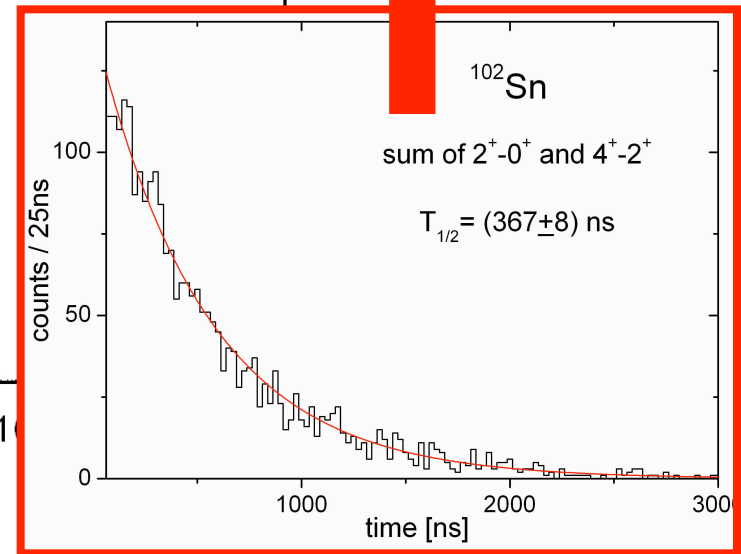


# 6<sup>+</sup> Isomer in <sup>102</sup>Sn

(2 neutron particles above <sup>100</sup>Sn core)

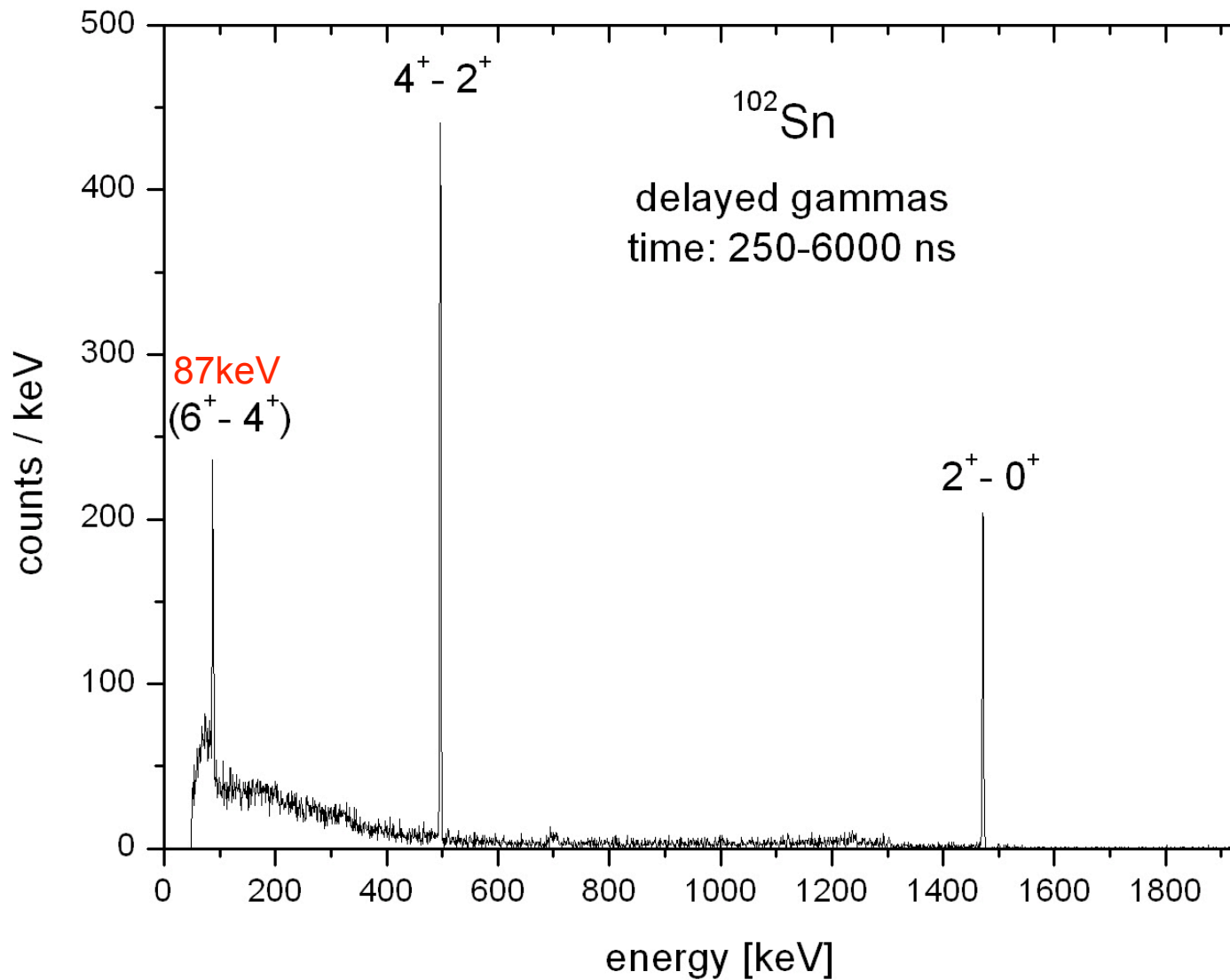


$B(E2) = 3.2(1) \text{ W.u.}$





# 6<sup>+</sup> Isomer in <sup>102</sup>Sn



2890 — 6<sup>+</sup>

2087 — 6<sup>+</sup>  
2041 — 4<sup>+</sup>

1661 — 2<sup>+</sup>

0 — 0<sup>+</sup>

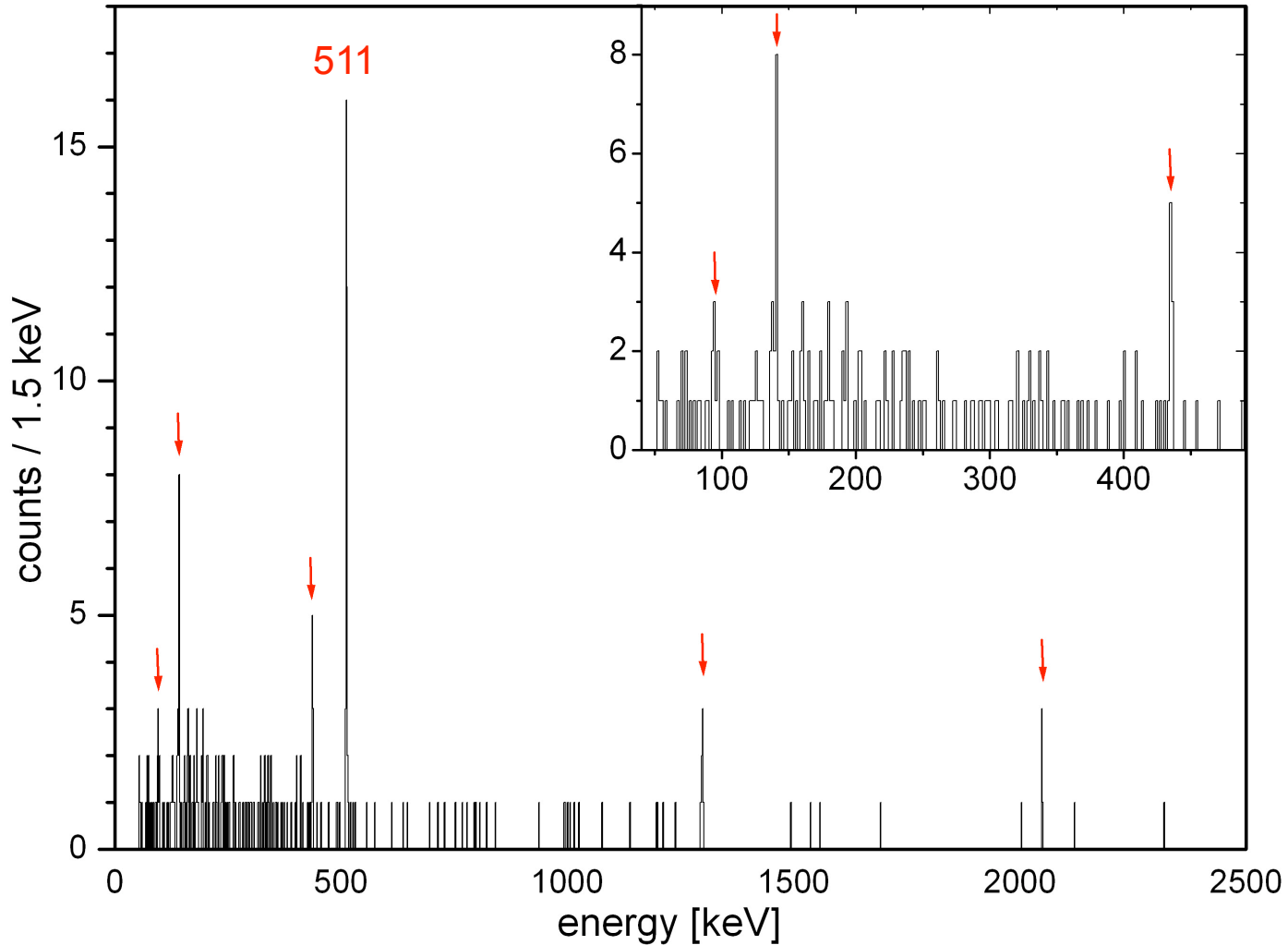
<sup>102</sup>  
50 Sn 52

SM-GG

Grawe, Gorska et al.  
Andreozzi et al.

# Gamma Spectrum after Beta Decay of $^{100}\text{Sn}$

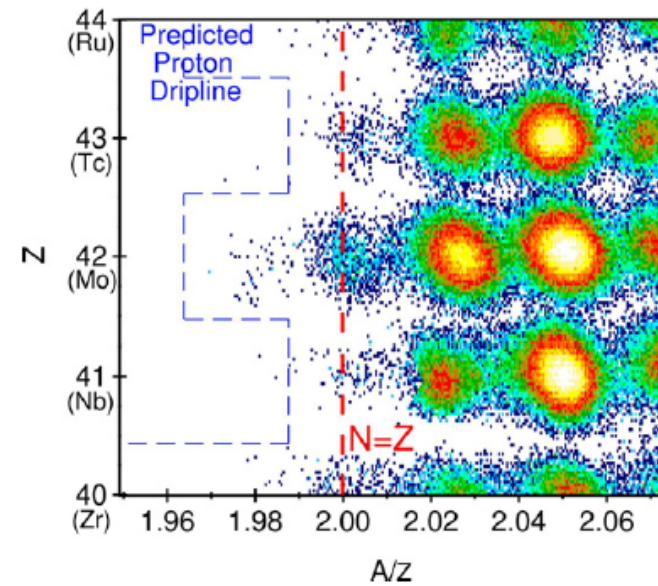
all events within 4 s after implantation



Other  $N \sim Z$  nuclei...

## Neutron–proton pairing competition in $N = Z$ nuclei: Metastable state decays in the proton dripline nuclei ${}_{41}^{82}\text{Nb}$ and ${}_{43}^{86}\text{Tc}$

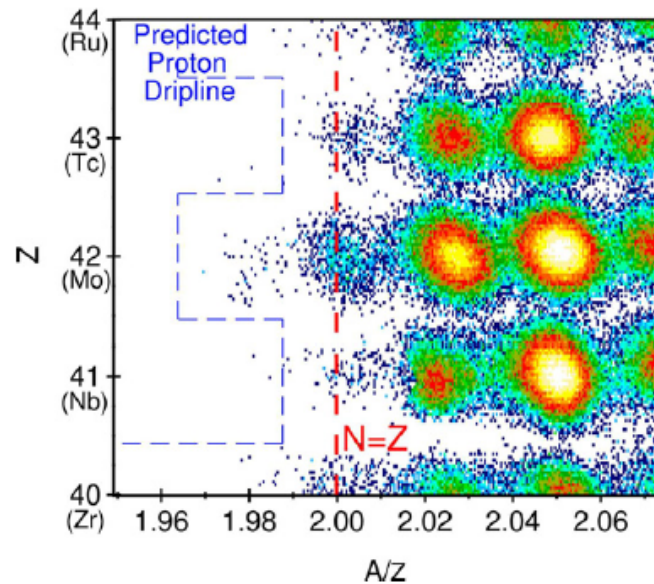
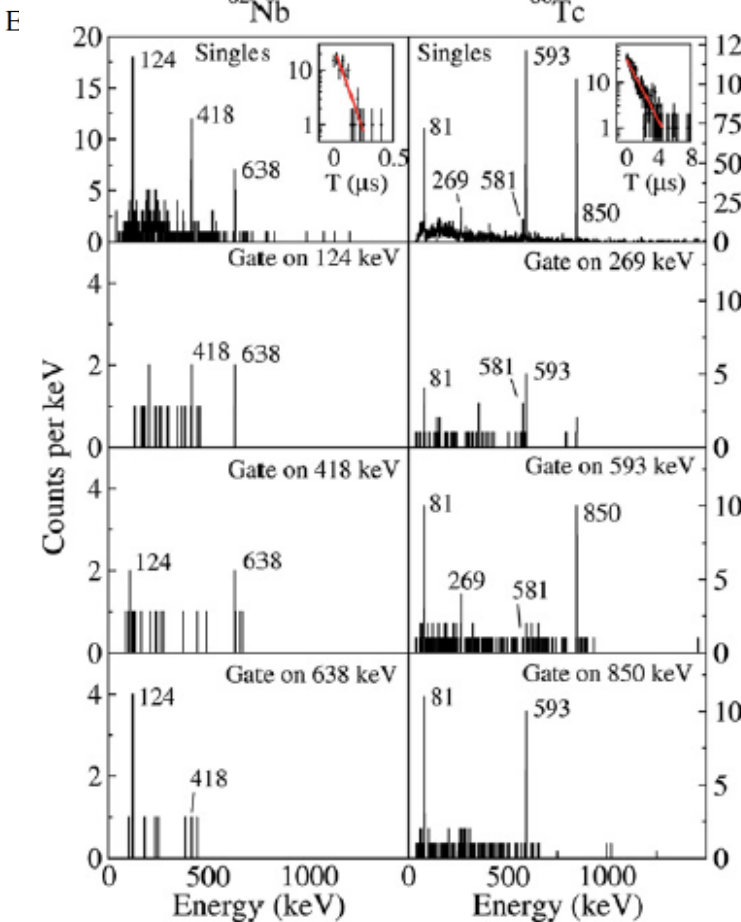
A.B. Garnsworthy <sup>a,b,\*</sup>, P.H. Regan <sup>a</sup>, L. Cáceres <sup>c,d</sup>, S. Pietri <sup>a</sup>, Y. Sun <sup>e,f</sup>, D. Rudolph <sup>g</sup>, M. Górska <sup>c</sup>,  
Zs. Podolyák <sup>a</sup>, S.J. Steer <sup>a</sup>, R. Hoischen <sup>c,g</sup>, A. Heinz <sup>b</sup>, F. Becker <sup>c</sup>, P. Bednarczyk <sup>c,h</sup>,  
P. Doornenbal <sup>c</sup>, H. Geissel <sup>c</sup>, J. Gerl <sup>c</sup>, H. Grawe <sup>c</sup>, J. Gregosz <sup>c,h</sup>, A. Kelic <sup>c</sup>, I. Kojouharov <sup>c</sup>,  
N. Kurz <sup>c</sup>, F. Montes <sup>c</sup>, W. Prokopowicz <sup>c</sup>, T. Saito <sup>c</sup>, H. Schaffner <sup>c</sup>, S. Tachenov <sup>c</sup>,  
E. Werner-Malento <sup>c,i</sup>, H.J. Wollersheim <sup>c</sup>, G. Benzoni <sup>j</sup>, B.B. Blank <sup>k</sup>, C. Brandau <sup>a,c</sup>, A.M. Bruce <sup>l</sup>,  
F. Camera <sup>j</sup>, W.N. Catford <sup>a</sup>, I.J. Cullen <sup>a</sup>, Zs. Dombrádi <sup>m</sup>, E. Estevez <sup>n</sup>, W. Gelletly <sup>a</sup>, G. Ilie <sup>o,p</sup>,  
J. Jolie <sup>o</sup>, G.A. Jones <sup>a</sup>, A. Jungclaus <sup>d</sup>, M. Kmiecik <sup>h</sup>, F.G. Kondev <sup>q</sup>, T. Kurtukian-Nieto <sup>k,n</sup>,  
S. Lalkovski <sup>l,r</sup>, Z. Liu <sup>a</sup>, A. Maj <sup>h</sup>, S. Myalski <sup>h</sup>, M. Pfützner <sup>i</sup>, S. Schwertel <sup>s</sup>, T. Shizuma <sup>a,t</sup>,  
A.J. Simons <sup>a,u</sup>, P.M. Walker <sup>a</sup>, O. Wieland <sup>j</sup>, F.R. Xu <sup>v</sup>





# Neutron–proton pairing competition in $N = Z$ nuclei: Metastable state decays in the proton dripline nuclei $^{82}_{41}\text{Nb}$ and $^{86}_{43}\text{Tc}$

A.B. Garnsworthy<sup>a,b,\*</sup>, P.H. Regan<sup>a</sup>, L. Cáceres<sup>c,d</sup>, S. Pietri<sup>a</sup>, Y. Sun<sup>e,f</sup>, D. Rudolph<sup>g</sup>, M. Górska<sup>c</sup>,  
Zs. Podolyák<sup>a</sup>, S.J. Steer<sup>a</sup>, R. Hoischen<sup>c,g</sup>, A. Heinz<sup>b</sup>, F. Becker<sup>c</sup>, P. Bednarczyk<sup>c,h</sup>,  
P. Doornenbal<sup>c</sup>, H. Geissel<sup>c</sup>, J. Gerl<sup>c</sup>, H. Grawe<sup>c</sup>, J. Gregosz<sup>c,h</sup>, A. Kelic<sup>c</sup>, I. Kojouharov<sup>c</sup>,  
M. Schäffner<sup>c</sup>, S. Tachenov<sup>c</sup>, M. Thoenen<sup>k</sup>, C. Brandau<sup>a,c</sup>, A.M. Bruce<sup>l</sup>,  
M. Stevez<sup>n</sup>, W. Gelletly<sup>a</sup>, G. Ilie<sup>o,p</sup>, M. Jandel<sup>q</sup>, T. Kurtukian-Nieto<sup>k,n</sup>,  
S. Schwertel<sup>s</sup>, T. Shizuma<sup>a,t</sup>, M. Thoenen<sup>u</sup>, F.R. Xu<sup>v</sup>

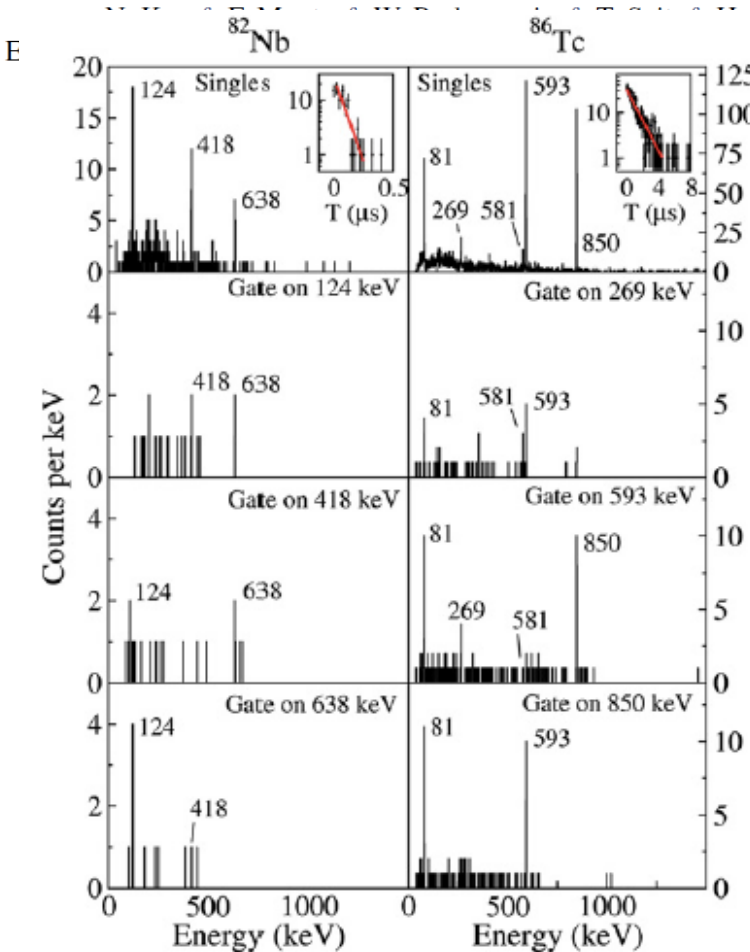
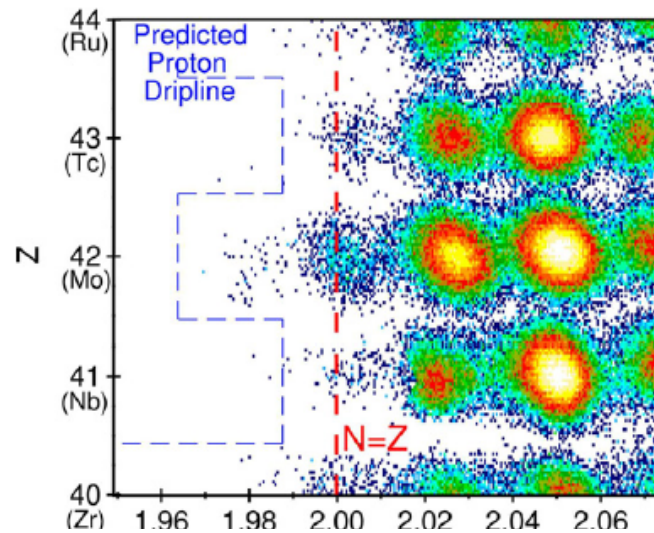




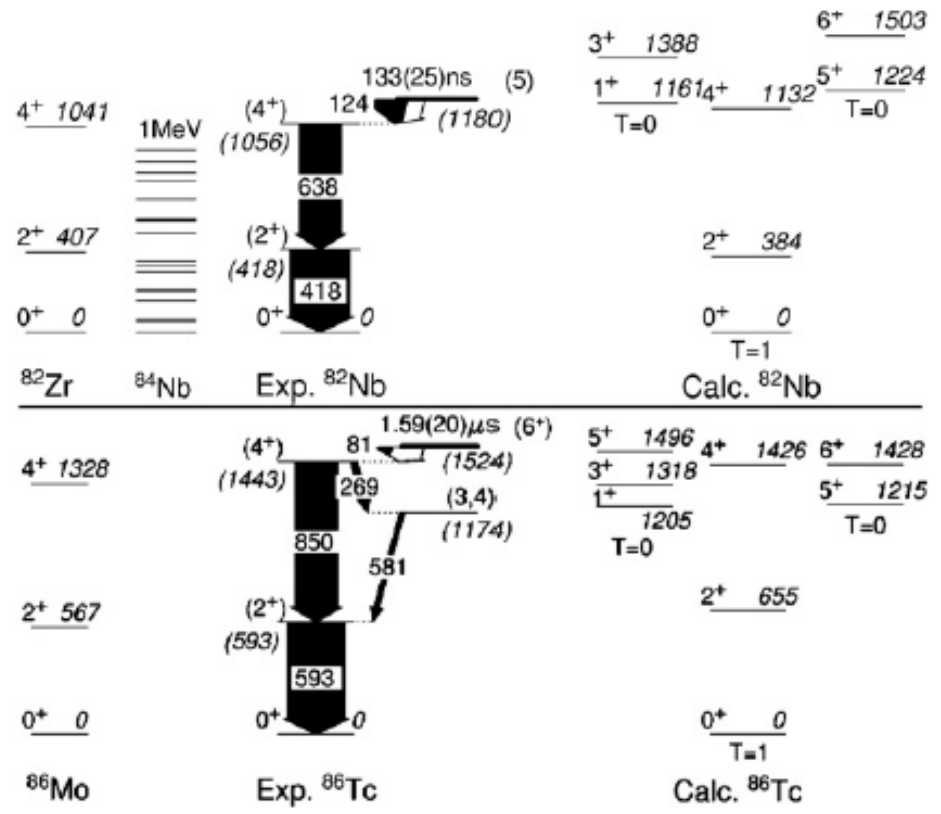
ELSEVIER

# Neutron–proton pairing competition in $N = Z$ nuclei: Metastable state decays in the proton dripline nuclei $^{82}_{41}\text{Nb}$ and $^{86}_{43}\text{Tc}$

A.B. Garnsworthy<sup>a,b,\*</sup>, P.H. Regan<sup>a</sup>, L. Cáceres<sup>c,d</sup>, S. Pietri<sup>a</sup>, Y. Sun<sup>e,f</sup>, D. Rudolph<sup>g</sup>, M. Górska<sup>c</sup>,  
Zs. Podolyák<sup>a</sup>, S.J. Steer<sup>a</sup>, R. Hoischen<sup>c,g</sup>, A. Heinz<sup>b</sup>, F. Becker<sup>c</sup>, P. Bednarczyk<sup>c,h</sup>,  
P. Doornenbal<sup>c</sup>, H. Geissel<sup>c</sup>, J. Gerl<sup>c</sup>, H. Grawe<sup>c</sup>, J. Gregosz<sup>c,h</sup>, A. Kelic<sup>c</sup>, I. Kojouharov<sup>c</sup>,

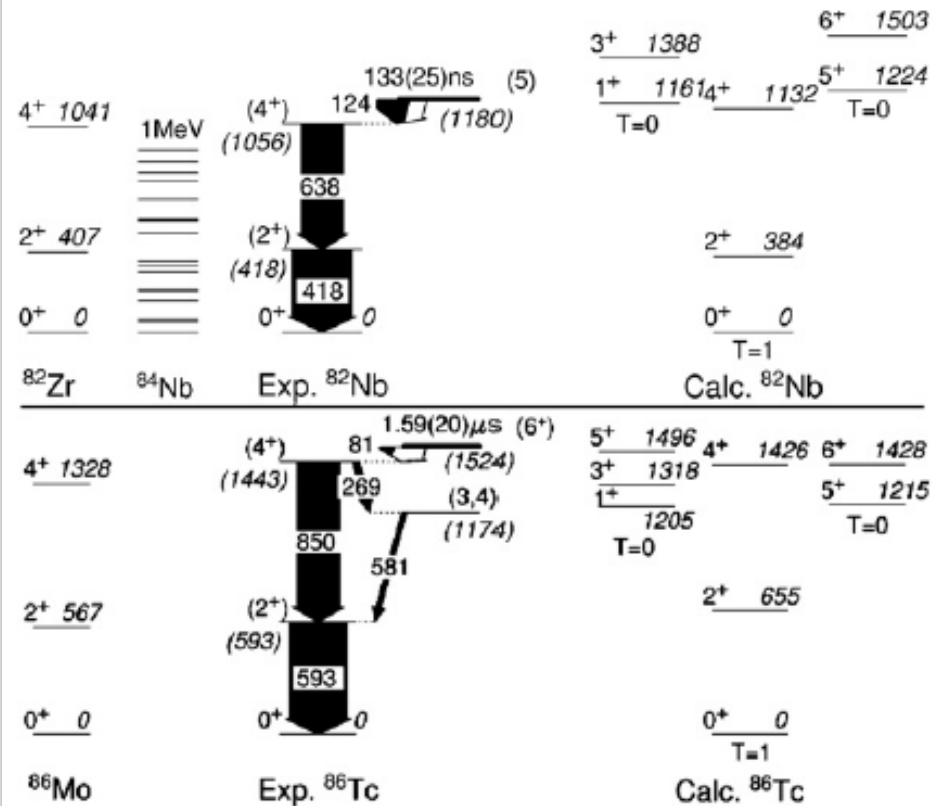
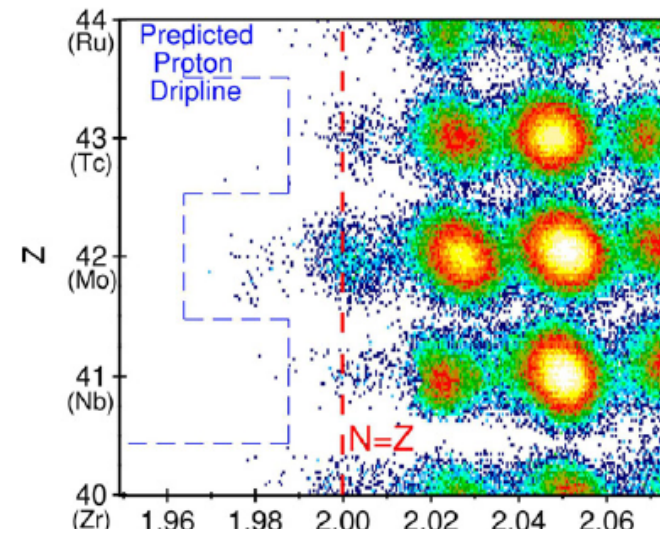
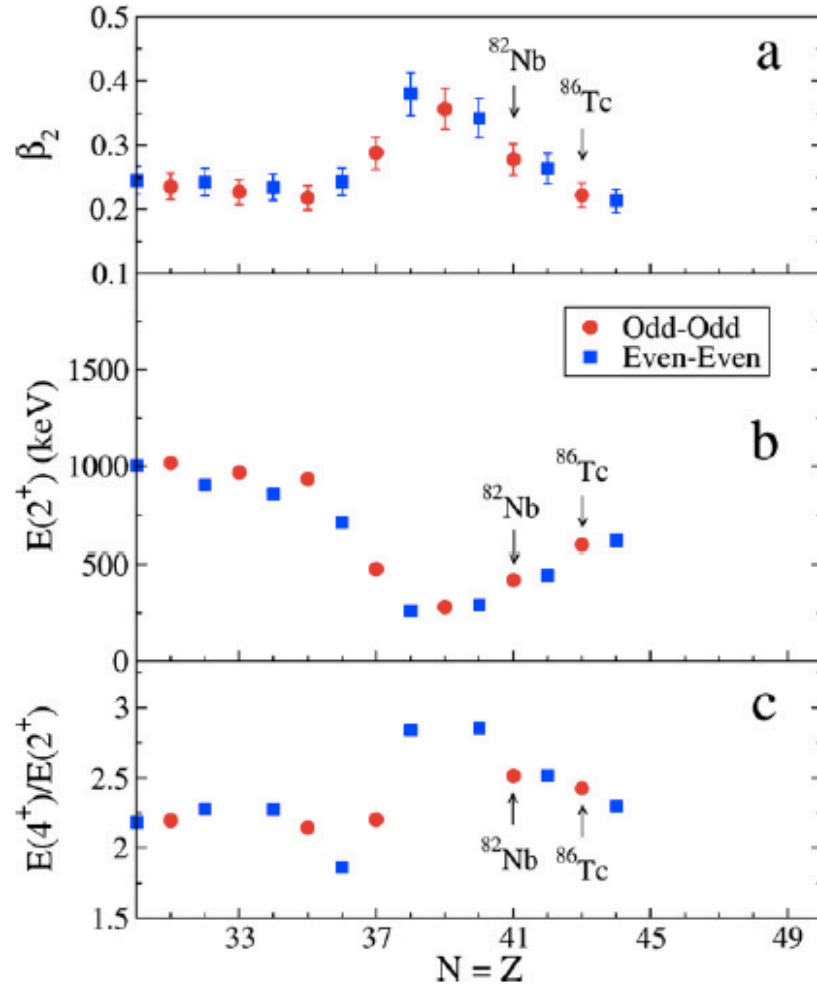


S. Schaffner<sup>c</sup>, S. Tachenov<sup>c</sup>,  
M. Frank<sup>k</sup>, C. Brandau<sup>a,c</sup>, A.M. Bruce<sup>l</sup>,  
M. Stevez<sup>n</sup>, W. Gelletly<sup>a</sup>, G. Ilie<sup>o,p</sup>,  
M. Hinde<sup>q</sup>, T.  
S. Schwa<sup>r</sup>,  
J. F.R. Xu



# Neutron–proton pairing competition in $N = Z$ nuclei: Metastable state decays in the proton dripline nuclei $^{82}_{41}\text{Nb}$ and $^{86}_{43}\text{Tc}$

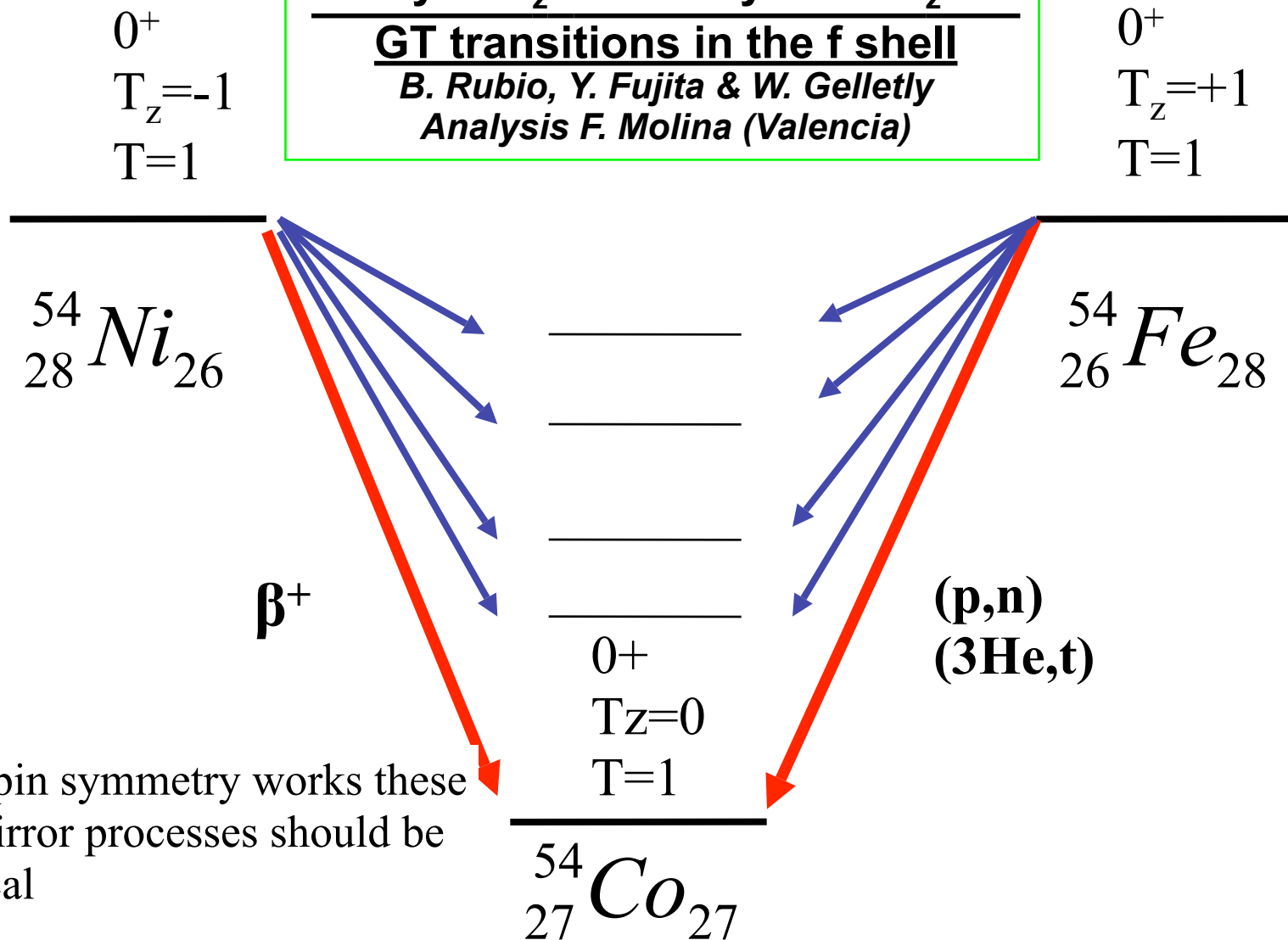
A.B. Garnsworthy<sup>a,b,\*</sup>, P.H. Regan<sup>a</sup>, L. Cáceres<sup>c,d</sup>, S. Pietri<sup>a</sup>, Y. Sun<sup>e,f</sup>, D. Rudolph<sup>g</sup>, M. Górska<sup>c</sup>,  
Z. Dedyńska<sup>a</sup>, S.I. Stea<sup>a</sup>, D. Heiskanen<sup>c,g</sup>, A. Heinz<sup>b</sup>, E. Deibel<sup>c</sup>, P. Bednarczyk<sup>c,h</sup>,  
M. Kowalewski<sup>c</sup>, I. Kojouharov<sup>c</sup>, S. Tachenov<sup>c</sup>, J. J. Rasmussen<sup>a,c</sup>, A.M. Bruce<sup>l</sup>,  
M. G. Gellert<sup>a</sup>, G. Ilie<sup>o,p</sup>,



**Study of  $T_z = \pm 1$  decays into  $T_z = 0$  :**

**GT transitions in the f shell**

*B. Rubio, Y. Fujita & W. Gelletly  
Analysis F. Molina (Valencia)*



If isospin symmetry works these two mirror processes should be identical

This work tests if isospin symmetry is good enough to justify the combined analysis of charge exchange reactions and beta-decay In mirror nuclei.



When the  $B_{GT}$  values are obtained from Charge Exchange Reactions, absolute normalisation is needed and can be obtained using the combined analysis

Y. Fujita et al.  
PRL **95** (2005)

$$\frac{1}{T_{1/2}} = \frac{1}{t_{Fermi}} + \sum_{i=GT} \frac{1}{t_i}$$

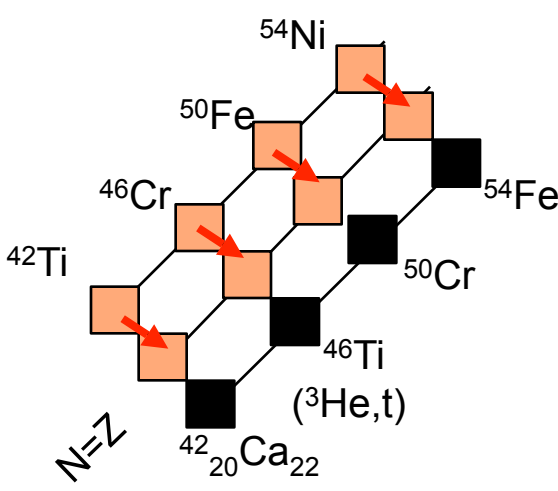
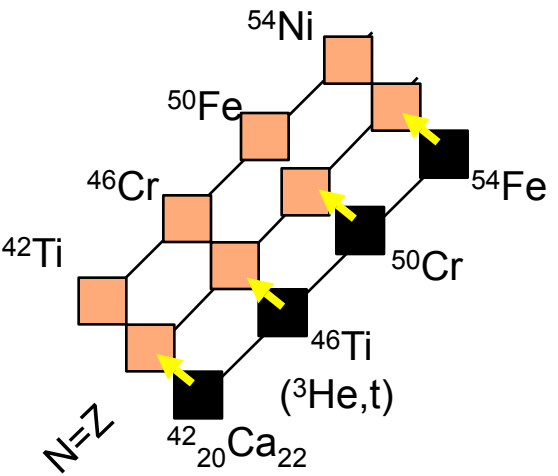
From  $\beta$ -decay

$B(F)=N-Z$

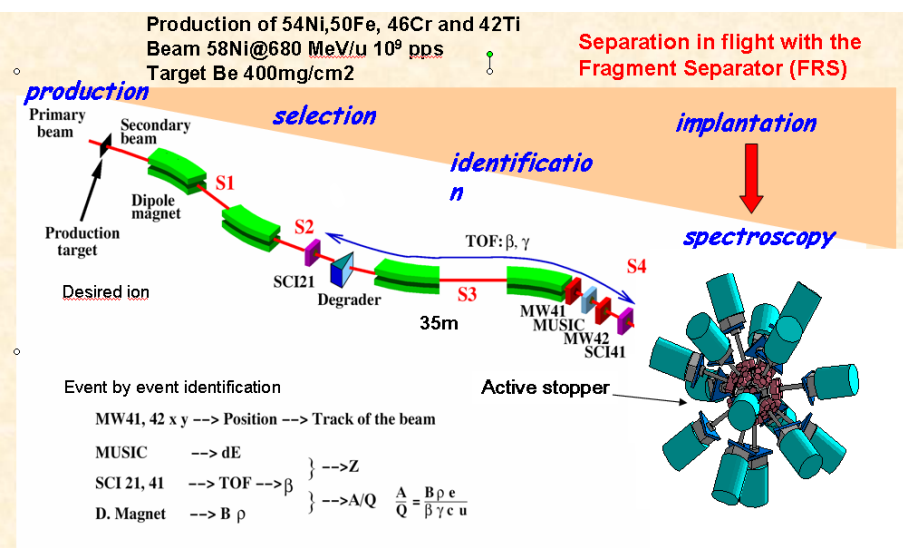
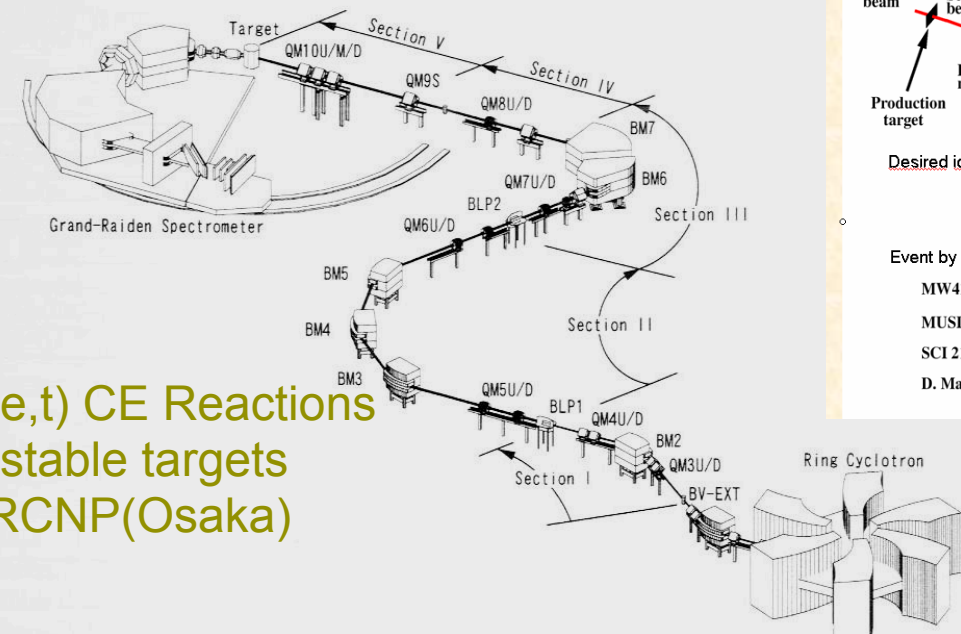
From (3He,t)

There were a series of experiments at RISING to test this idea

And a facility at RCNP Osaka where these reactions can be studied in high resolution



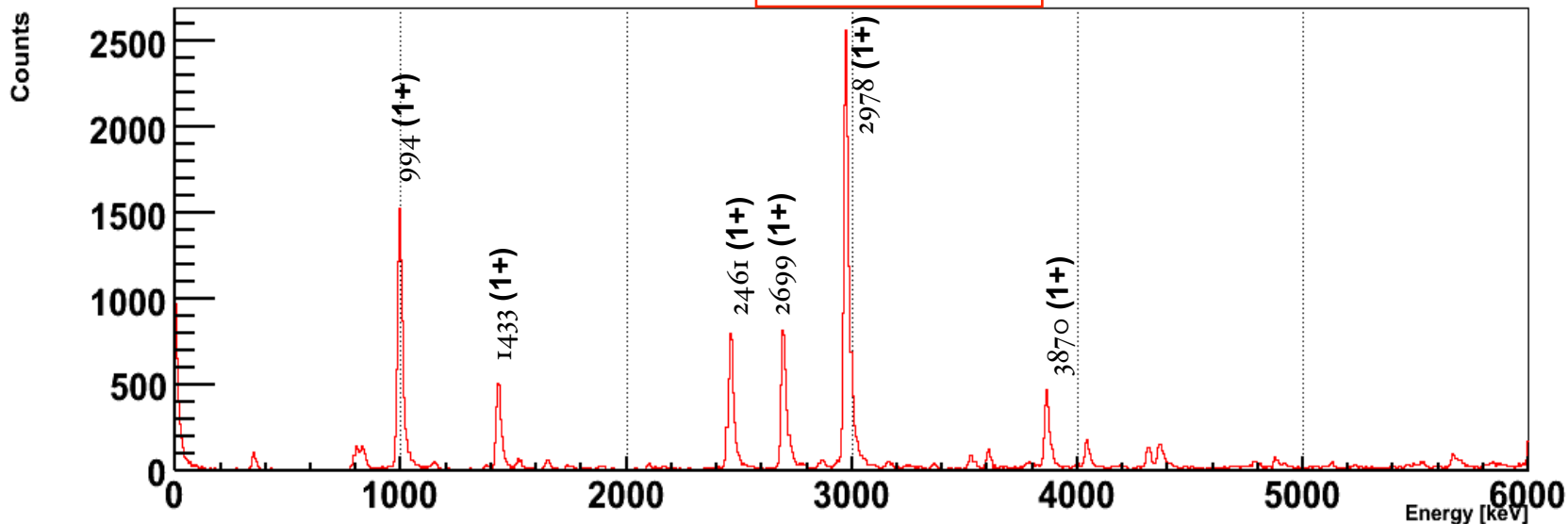
(3He,t) CE Reactions  
On stable targets  
@ RCNP(Osaka)



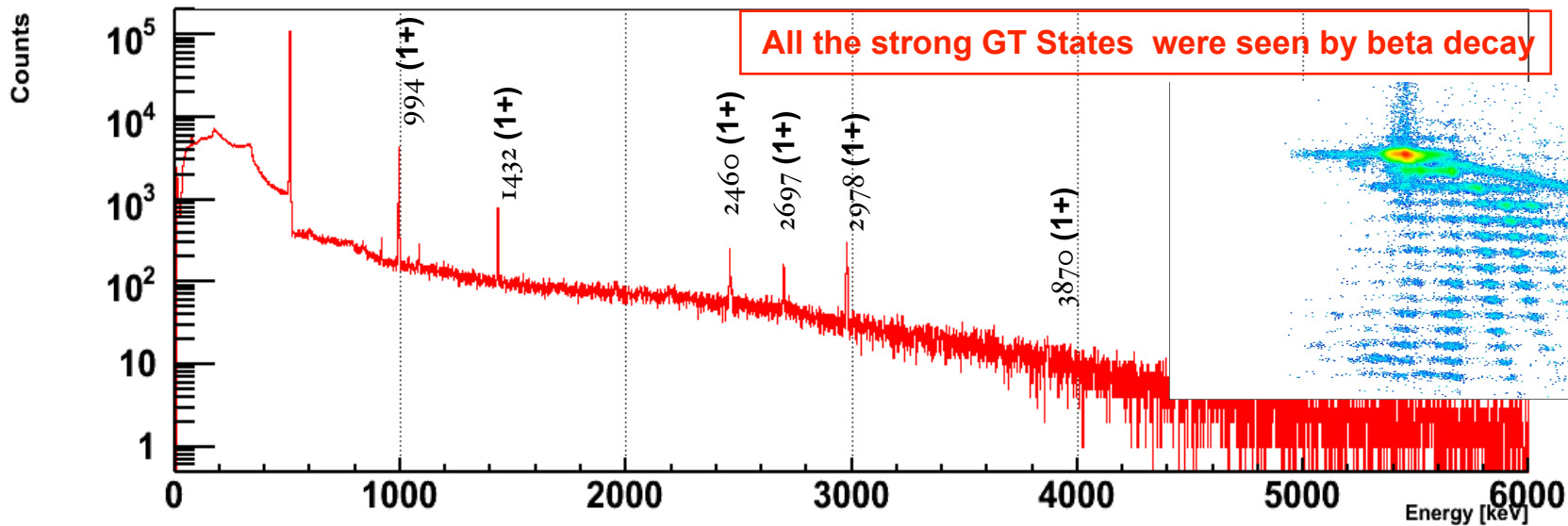
Beta-decay studies  
@ GSI-Rising

Tz=+1  $^{46}\text{Ti}(3\text{He,t})^{46}\text{V}$  Experiment Results

**A=46, T=1**



Tz=-1  $^{46}\text{Cr} \rightarrow ^{46}\text{V}$   $\beta$  Decay Experiment. RISING Gamma Spectrum



# Results: preliminary $B_{GT}$ values from beta decay

<b>A=54</b>	<b>B(GT) decay</b>	<b>B(GT) CE</b>
937 keV	0.471(55)	0.493(62)
3378 keV	0.074(14)	0.079(11)
3889 keV	0.064(17)	0.103(14)
4544 keV	0.075(27)	0.147(20)
<b>A=50</b>		
652 keV	0.547(90)	0.510(14)
2404 keV	0.126(23)	0.151(40)
2685 keV	0.090(19)	0.106(28)
3380 keV	0.281(55)	0.350(93)
<b>A=46</b>		
994 keV	0.330(329)	0.368(44)
1433 keV	0.107(107)	0.122(15)
2462 keV	0.146(146)	0.201(24)
2698 keV	0.111(111)	0.205(25)
2978 keV	0.479(478)	0.625(75)
3870 keV	0.105(119)	0.117(14)

Isospin symmetry works in general (full strength) but some differences appear at high excitation energy, which should be understood

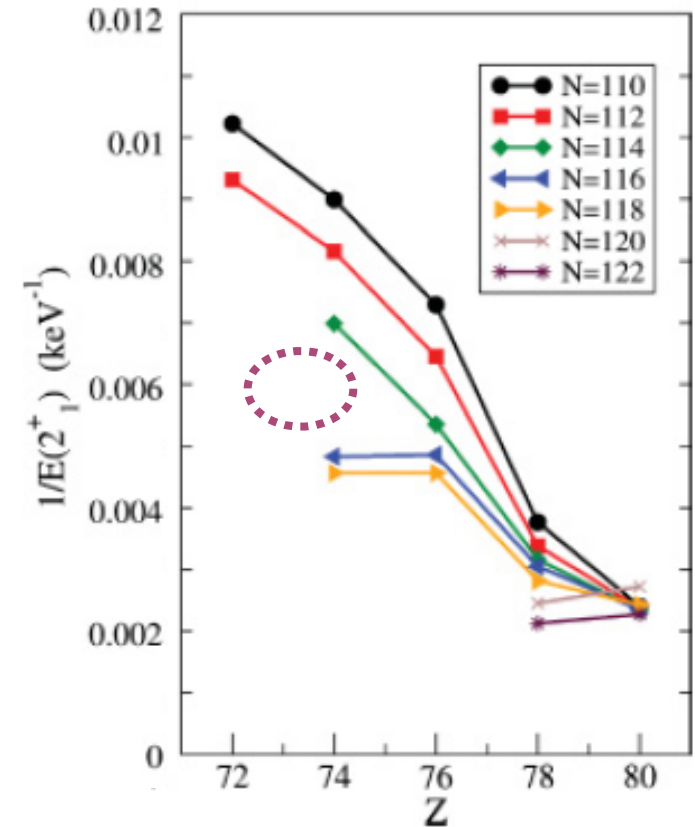
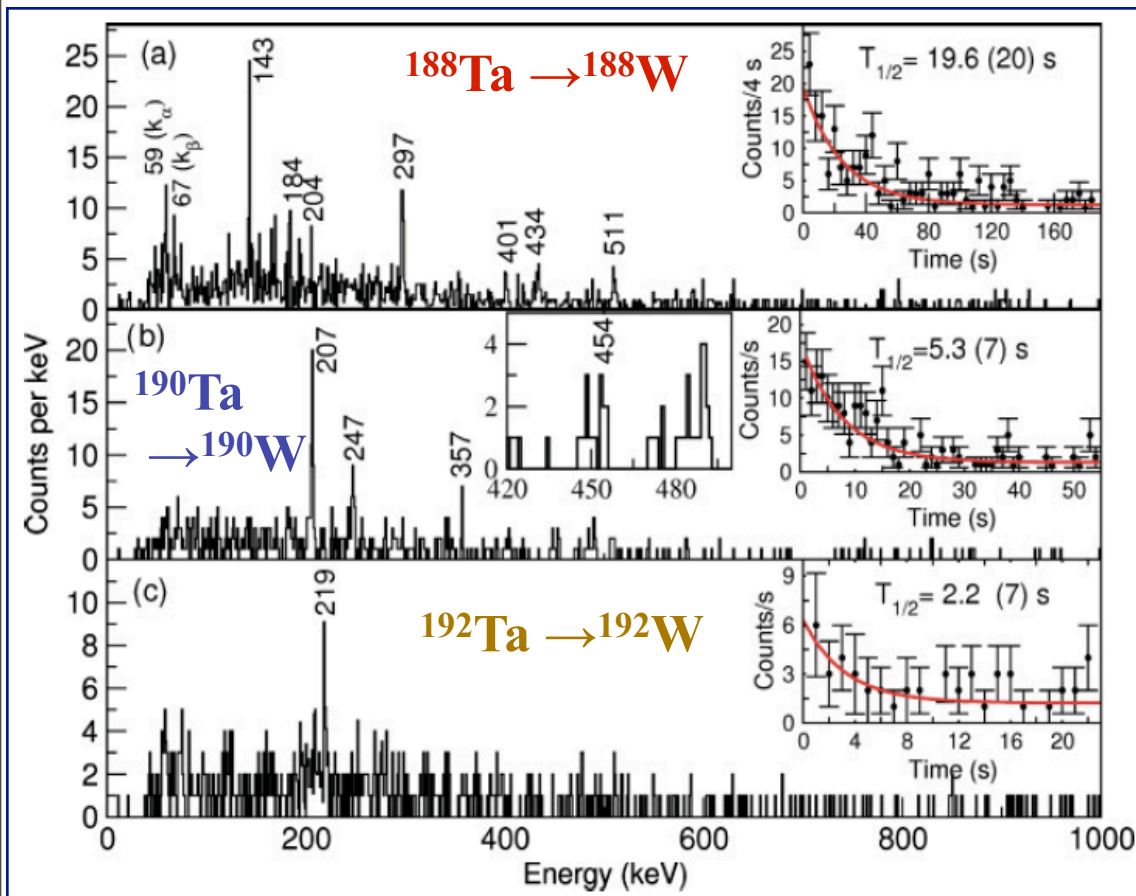
This is the first experimental test of  $B_{GT}$  gs symmetry in the f shell.

Francisco Molina et al., analysis, in progress IFIC (Valencia)

*Rubio, Fujita, Gelletly et al.,*

## $\beta^-$ -delayed spectroscopy of neutron-rich tantalum nuclei: Shape evolution in neutron-rich tungsten isotopes

N. Alkhomashi,<sup>1,\*</sup> P. H. Regan,<sup>1</sup> Zs. Podolyák,<sup>1</sup> S. Pietri,<sup>1</sup> A. B. Garnsworthy,<sup>1</sup> S. J. Steer,<sup>1</sup> J. Benlliure,<sup>2</sup> E. Caserejos,<sup>2</sup> R. F. Casten,<sup>3</sup> J. Gerl,<sup>4</sup> H. J. Wollersheim,<sup>4</sup> J. Grebosz,<sup>5</sup> G. Farrelly,<sup>1</sup> M. Górska,<sup>4</sup> I. Kojouharov,<sup>4</sup> H. Schaffner,<sup>4</sup> A. Algora,<sup>6,7</sup> G. Benzoni,<sup>8</sup> A. Blazhev,<sup>9</sup> P. Boutachkov,<sup>4</sup> A. M. Bruce,<sup>10</sup> A. M. Denis Bacelar,<sup>10</sup> I. J. Cullen,<sup>1</sup> L. Cáceres,<sup>4</sup> P. Doornenbal,<sup>4</sup> M. E. Estevez,<sup>2</sup> Y. Fujita,<sup>11</sup> W. Gelletly,<sup>1</sup> R. Hoischen,<sup>4,12</sup> R. Kumar,<sup>13</sup> N. Kurz,<sup>4</sup> S. Lalkovski,<sup>10</sup> Z. Liu,<sup>14</sup> C. Mihai,<sup>15</sup> F. Molina,<sup>6</sup> A. I. Morales,<sup>2</sup> D. Múcher,<sup>9</sup> W. Prokopowicz,<sup>4</sup> B. Rubio,<sup>6</sup> Y. Shi,<sup>16</sup> A. Tamii,<sup>17</sup> S. Tashenov,<sup>4</sup> J. J. Valiente-Dobón,<sup>18</sup> P. M. Walker,<sup>1</sup> P. J. Woods,<sup>14</sup> and F. R. Xu<sup>16</sup>



## (some) of The 'Jedi Masters' needed to make it all work...

- Design group at Daresbury/Liverpool (Dave Seddon/Paul Morrall) for design of RISING holding structure.
- Peter Reiter + Koln group....use the DGF modules for gamma DAQ.
- Nick Kurz; Henning Schaffner – letting us see the signals.
- Ivan Koj. – the 'shepherd of the detectors'
- Jurek Greb. – with Cracow we could 'see where we were going'
- W. Prokopowicz – making it all fit together
- Rakesh Kumar – testing the DSSSDs
- Stephane Pietri – keeping it all together, making it work.
- Hans-Juergen – keeping it moving forward...taking the 'bullets' when needed.

Future....PreSpec –DECAY & DESPEC to look forward to,

Future....PreSpec –DECAY & DESPEC to look forward to,

(some) of the PhD / Masters Theses....

1. Adam Garnsworthy (Surrey – PhD 2007)
2. Steven Steer (Surrey – PhD 2008)
3. Nasser Alkhomashi (Surrey – PhD 2010)
4. Greg Farrelly (Surrey - 2010)
5. Nawras Al-Dahan (Surrey - 2010)
6. Mike Bunce (Surrey -2012)
7. Mike Bowry (Surrey -2012)
8. Lucia Caceres (Madrid/GSI – PhD 2008)
9. Robert Hoischen (Lund/GSI)
10. Christophe Hinke (TU Munich)
11. Katrin Eppinger (TU Munich)
12. Farheen Naqvi (GSI/Koln)
13. Namita Goel (GSI/Koln)
14. Anna Denis-Bacelar (Brighton)
15. Maria Domcel (Salamaca)
16. Roberto Nicolini (Milano)
17. Andrea Gottadro (Padova)
18. Tom Brook (York)
19. Norbert Braun (Koln)
- 20.....



<b><u>Experiment</u></b>	<b><u>Spokespersons</u></b>	<b><u>Dates</u></b>	<b><u>Publication</u></b>
1. S244: $^{107}\text{Ag}$ beam; N=Z isomers	Regan	25 Feb –1 Mar 06	A.B. Garnsworthy et al., PL <b>B660</b> (2008) 326 A.B. Garnsworthy et al., PR <b>C80</b> (2009) 064303
2. S299; $^{208}\text{Pb}$ beam N~126 isomers	Podolyak	2 Mar – 8 Mar 06	S.J. Steer et al., PR <b>C78</b> (2008) 061302(R); Zs. Podolyak et al., PR <b>C79</b> (2009) 031305(R); Zs. Podolyak et al., PR <b>C79</b> (2009) 031305 (R) E.C. Simpson PR <b>C80</b> (2009) 064608 Zs. Podolyak et al., EPJ <b>A42</b> (2009) 489 S.J.Steer et al., IJMP <b>E18</b> (2009) 1002
3. S244: $^{58}\text{Ni}$ beam; A=54 mirrors	Rudolph	9 Mar –12 Mar 06	D. Rudolph et al., PR <b>C78</b> (2008) 021301(R) ; Rudolph et al., EPJ <b>A36</b> (2008) 131.
4. S305: $^{136}\text{Xe}$ beam. N~82 isomers	Jungclaus	26 Jun –9 July 06	A. Jungclaus et al. PRL <b>99</b> (2007) 132501
5. S244: $^{238}\text{U}$ beam. Isomers at N~82	Pfutzner / Gorska	10 Jul – 7 Jul 06	L. Caceres et al., PR <b>C79</b> (2009) 011301 (R); M. Gorska et al., PL <b>B672</b> (2009) 313.
6. S300; $^{238}\text{U}$ beam: A~110 isomers	Bruce	11 Dec – 7 Dec 06	
7. S313: $^{208}\text{Pb}$ beam active.; N→126	Regan / Benlliure	8 Mar -18 Mar 07	Zs. Podolyak et al., PL <b>B672</b> (2009) 116; N. Alkhomashi et al., PR <b>C80</b> (2009) 064308
8. S313: $^{208}\text{Pb}$ beam active. N →126	Benlliure / Regan	8 Jul –17 July 07	P.H. Regan et al., IJMP <b>E17</b> (2008) 8; A.I. Morales et al., Acta Phys. <b>B40</b> (2009) 867
9. S326: $^{78}\text{Kr}$ beam, GT in A=62	Gadea / Algora	18 Jul –25 Jul 07	
10. S316: $^{58}\text{Ni}$ beam; GT A=46:50:54	Fujita / Gelletly / Rubio	27 July –1 Aug 07	
11.S330: $^{124}\text{Xe}$ beam: $^{100}\text{Sn}$ + SIMBA	Faestermann / Gorska	5 Mar –26 Mar 08	
12. S347: $^{238}\text{U}$ beam; Z<82; N>126	Podolyak	27 Apr –3 May 08	N.Al-Dahan et al., PR <b>C80</b> (2009) 061302 (R)
13. S352: $^{124}\text{Xe}$ beam; $^{96,8}\text{Pd}$	Blazhev / Wadsworth / Liu / Boutachkov	5 Jun – 13 Jun 08	R Wadsworth et al., Acta Phys <b>B40</b> (2009) 611
14. S361: $^{238}\text{U}$ beam, $^{104,6}\text{Zr}$	Bruce	17 Sep -20 Sep 09	<b>16 successful experiments)</b>
15. S337: $^{238}\text{U}$ beam, $^{132}\text{Cd}$ decay	Gadea	21 Sep–24 Sep 09	